



ISSN 0002-3078

АЗӘРБАЙЧАН ССР ЕЛМЛӨР АНАДЕМИЯСЫ
АНАДЕМИЯ НАУК АЗЕРБАЙДЖАНСКОЙ ССР

МӘРУЗӘЛӘР ДОКЛАДЫ

том XL чилд

1934 • 2

ИКБ

ДАН Азерб. ССР публикует краткие сообщения об оригинальных, нигде не печатанных ранее, результатах научных исследований, представленные академиками АН Азерб. ССР, которые тем самым берут на себя ответственность за научные достоинства представляющей статьи.

В «Докладах» не публикуются крупные статьи, механически разделенные на ряд отдельных сообщений, статьи полемического характера, без новых фактических сообщений, статьи полемического характера, без новых фактических данных, статьи с описанием промежуточных опытов, без определенных выводов и обобщений, чисто методические статьи, если предлагаемый метод не является принципиально новым, а также статьи по систематике растений и животных (за исключением описания особо интересных для науки находок).

Будучи органом ерочной информации, журнал «ДАН Азерб. ССР» принимает и отбирает к печати статьи, объем которых допускает их публикацию в установленные решением Президиума АН Азерб. ССР сроки.

В связи со всеми перечисленными ограничениями отклонение статьи редакцией «Доклады АН Азерб. ССР» означает только, что она не согласуется с требованиями и возможностями этого журнала и не исключает ее публикации в других изданиях.

ПРАВИЛА ДЛЯ АВТОРОВ

Редакция журнала «Доклады АН Азерб. ССР» просит авторов руководствоваться приведенными правилами и надеется, что авторы ознакомятся с ними прежде, чем пришлют статью в редакцию.

Статьи, присланные без соблюдения этих правил, к рассмотрению не принимаются.

1. Статьи, направляемые в редакцию, должны иметь представление члена АН СССР или академика АН Азерб. ССР, если оно требуется (см. выше).

Статьи с просьбой направить их на представление редакцией не принимаются.

2. Статья публикуется по мере поступления. Единственным поводом для внеочередной публикации является исключительная важность сообщения и соображения приоритета. Для этого необходимо специальное решение редколлегии.

3. Как правило, редакция направляет предоставленные статьи на рецензию.

4. «Доклады» помещают не более трех статей одного автора в год. Это правило не распространяется на членов АН СССР, академиков Академии наук Азерб. ССР.

5. Авторы должны определить раздел, в который следует поместить статью, а также дать индекс статьи по Универсальной десятичной классификации (УДК). К статье прилагается отпечатанный на машинке реферат в двух экземплярах, предназначенный для передачи в один из реферативных журналов ВИНИТИ.

6. В конце статьи нужно указать полное название учреждения, в котором выполнено исследование, фамилии всех авторов а также полный почтовый адрес и номер телефона (служебный и домашний) каждого соавтора.

Кроме того, авторский коллектив должен указать лицо, с которым редакция будет вести переговоры и переписку.

7. Возвращение рукописи автору на доработку не означает, что статья принята к печати. После получения доработанного текста рукопись вновь рассматривается редколлегией. Доработанный текст автор должен вернуть вместе с первоначальным экземпляром статьи, а также ответом на все замечания. Датой поступления считается день получения редакцией окончательного варианта статьи.

8. В «Докладах» публикуются статьи, занимающие не более $\frac{1}{4}$ авторского листа (6 страниц машинописи). В этот объем входят текст, таблицы, библиография (не больше 15 источников) и рисунки, число которых не должно превышать четырех, включая и обозначения «а», «б» и т. д. в том числе вклейки на мелованной бумаге. Вклейки даются только для микрофотографий большого увеличения. Штриховые рисунки (карты, схемы и т. п.) на вклейках не печатаются, а даются на кальке. Текст и графический материал представляются в двух экземплярах. Повторение одних и тех же данных в тексте, таблицах и графиках недопустимо. Рисунки должны быть выполнены четко, в формате, обеспечивающем ясность передачи всех деталей. Фотографии представляются на глянцевой бумаге. Подписи к рисункам должны быть напечатаны в 2-х экземплярах через два интервала на отдельной странице. На обороте рисунков мягким карандашом указываются фамилии авторов, название статьи и номер рисунка.

(Продолжение на третьей странице обложки)

АЗЭРБАЙЧАН ССР ЕЛМЛЭР АКАДЕМИЈАСЫ
АКАДЕМИЯ НАУК АЗЕРБАЙДЖАНСКОЙ ССР

МЭРҮЗЭЛЭР

ДОКЛАДЫ

ТОМ XL

№ 2

Писать разборчиво

d

ЕЛМ НЭШРИЙЛТИ-ИЗДАТЕЛЬСТВО „ЭЛМ“
БАКУ-1984-БАКУ



РЕДАКЦИОННАЯ КОЛЛЕГИЯ:

Э. Ю. Салаев (главный редактор), Г. Б. Абдуллаев, М. Т. Абасов,
 Ал. А. Ализаде (зам. главного редактора), В. С. Алиев, Г. А. Алиев,
 Дж. А. Алиев, И. Г. Алиев, Дж. Б. Гулиев, Н. А. Гулиев,
 М. З. Джафаров, Ф. Г. Максудов, А. А. Надиров,
 Ю. М. Сейдов (зам. главного редактора),
 М. А. Усейнов, Г. Г. Зейналов (ответств. секретарь).

УДК 517.946

МАТЕМАТИКА

К. Я. ЛЕОНОВ, З. А. ГУСЕЙНОВ

**РАЗРЕШИМОСТЬ В ЦЕЛОМ ПЕРВОЙ НАЧАЛЬНО-КРАЕВОЙ
 ЗАДАЧИ ДЛЯ ОДНОГО КЛАССА КВАЗИЛИНЕЙНЫХ
 ГИПЕРБОЛИЧЕСКИХ УРАВНЕНИЙ**

(Представлено академиком АН Азербайджанской ССР И. И. Ибрагимовым)

Рассмотрим начально-краевую задачу для уравнения

$$A(x, t, u) u_{tt} - \sum_{ij=1}^n \frac{\partial}{\partial x_i} (a_{ij}(x) u_{x_j}) + B(x, u, u_t) + C(x, u) = 0 \quad (1)$$

с начальными данными

$$u|_{t=0} = \varphi(x), \quad u_t|_{t=0} = \psi(x), \quad (2)$$

и граничным условием

$$u|_{\partial\Omega} = 0 \quad (3)$$

Ω —ограниченное, открытое, связное множество точек n -мерного евклидова пространства R^n , $\partial\Omega$ —его граница, $x = (x_1, \dots, x_n)$ —точка Ω .

Уравнения типа (1) возникают при изучении динамики упругих систем, когда приходится считаться с нелинейностью сил инерции, нелинейностью диссипативных сил и воздействием потенциальных полей, имеющих сложное строение [1]. Публикация работ, касающихся данной тематики, несмотря на ее актуальность, весьма бедна. Изучению начально-краевой задачи для уравнений, близких к рассматриваемым в данной статье, посвящена работа [2].

Относительно функций, входящих в уравнение (1), сделаем следующие предположения.

Пусть $a_{ij}(x) \in L^\infty(\Omega)$,

$$a_{ij}(x) = a_{ji}(x), \quad \forall i, j \leq n, \quad \sum_{ij=1}^n a_{ij}(x) \xi_i \xi_j \leq \mu_1^{-2}, \quad \forall \xi \in R^n, \quad (4)$$

$$\forall r \text{ and } \sup |a_{ijx}(x)| \leq \mu_1. \quad (5)$$

Пусть $A(x, t, u)$, $A_t(x, t, u)$, $A_{tt}(x, t, u)$ заданы на $\{\Omega \times [0, T] \times R^1\}$, $B(x, u, u_t)$, $B_u(x, u, u_t)$, $B_{ut}(x, u, u_t)$ заданы на $\{\Omega \times R^1 \times R^1\}$, $C(v, u)$, $G_u(x, u)$ заданы на $\{\Omega \times R^1\}$ и удовлетворяют условиям Каратеодори. Для каждого фиксированного $x \in \Omega$

$$A(x, t, u) \in C^{1,1}([0, T] \times R^1), \quad B(x, u, u_t) \in C^{1,1}(R^1 \times R^1), \\ C(x, u) \in C^1(R^1).$$

Предположим, что

$$A(x, t, u) \geq a > 0, \quad |A(x, t, u)| \leq A_0 + A_1 |u|^r, \quad (6)$$

где A_0 и A_1 —положительные постоянные, а r —любое конечное положительное число при $n=1; 2$, $0 \leq r < \frac{n}{n-2}$ при $n=3; 4$ и $0 \leq r < \frac{4}{n-2}$ при $n \geq 5$.

$$|B(x, u, u_t)| \leq B_0 + B_1 |u|^m + B_2 |u_t|^l, \quad (7)$$

где B_0, B_1, B_2 —положительные постоянные, а m и l —любые положительные числа при $n=1; 2$, $0 \leq m \leq 3$ при $n=3$ и $0 \leq m < \frac{n}{n-2}$ при

$n \geq 4$, $0 \leq e \leq \frac{n}{n-2}$ при $n \geq 3$;

$$|B_u(x, u, u_t)| \leq B_3 + B_4 |u|^{m-1} + B_5 |u_t|^k, \quad (8)$$

B_3, B_4, B_5 —положительные числа, а $k \leq \frac{2}{n}$;

$$|C(x, u)| \leq C_0 + C_1 |u|^s, \quad (9)$$

где C_0, C_1 —положительные постоянные, s —любое положительное число при $n=1; 2$ и $0 \leq s \leq \frac{n}{n-2}$ при $n \geq 3$;

$$|C_u(x, u)| \leq C_2 + C_3 |u|^{s-1}, \quad (10)$$

$C_2, C_3 > 0$.

Предположим также, что существуют такие положительные числа $\lambda_0, M, N, K, D_1, D_2$ и α ($0 \leq \alpha \leq 1$), что при всех $\lambda \geq \lambda_0$ выполняются неравенства

$$\frac{\alpha B(x, u, u_t)}{u_t} - A_t(x, t, u) - A_u(x, t, u)u_t + \lambda A(x, t, u) + D_1 \geq 0, \quad (11)$$

$$[(1-\alpha)B(x, u, u_t) + C(x, u)]u_t + Mu_t^2 + Nu^2 + K \geq 0, \quad (12)$$

$$2B_{u_t}(x, u, u_t) + A_t(x, t, u) + A_u(x, t, u)u_t + \lambda A(x, t, u) + D_2 \geq 0. \quad (13)$$

Что касается начальных данных, то пусть

$$\varphi(x) \in W_2^2(\Omega) \cap \dot{W}_2^1(\Omega), \psi(x) \in \dot{W}_2^1(\Omega). \quad (14)$$

Определение. Решением задачи (1)–(3) будем называть функцию $u(x, t) \in L^\infty[0, T; W_2^2(\Omega) \cap \dot{W}_2^1(\Omega)]$, имеющую производные $u_{tt}(x, t) \in L^\infty[0, T; L_2(\Omega)]$, $u_t(x, t) \in L^\infty[0, T; \dot{W}_2^1(\Omega)]$ и удовлетворяющую тождеству

$$\int_{\Omega} \left[A(x, t, u)u_{tt}\eta(x, t) + \sum_{ij=1}^n a_{ij}(x)u_{x_j}\eta_{x_i}(x, t) + B(x, u, u_t)\eta(x, t) + C(x, u)\eta(x, t) \right] dx dt = 0 \quad (15)$$

для любой функции $\eta(x, t) \in L^2[0, T; W_2^2(\Omega) \cap \dot{W}_2^1(\Omega)]$.

Теорема. Пусть выполняются все перечисленные условия относительно гладкости функций, входящих в уравнение (1), пусть выполняются условия (4)–(14), тогда смешанная задача (1)–(3) разрешима на любом интервале $[0, T]$.

Доказательство проводится методом Галеркина.

Используя условия теоремы, удается получить априорные оценки первых и вторых производных для приближенных решений, а затем осуществить предельный переход.

Литература

1. Болотин В. В. Динамическая устойчивость упругих систем. ГИТТЛ. М., 1956.
2. Ларькин Н. А. ДАН СССР, т. 244, № 1, 1979.

Институт математики и механики

Поступило 7. VII 1928

К. Я. Леонов, З. А. Гусейнов

БИР СИНИФ КВАЗИХЭТТИ ҮНПЕРБОЛИК ТӘНЛИКЛӘР ҮЧҮН ГАРЫШЫГ МӘСӘЛӘНИН ГЛОБАЛ ҺЭЛЛИ

Мәғаләдә

$$A(x, t, u)u_{tt} - \sum_{ij=1}^n \frac{\partial}{\partial x_i} (a_{ij}(x)u_{x_j}) + B(x, u, u_t) + C(x, u) = 0$$

квазиҳэтти үнперболик тәнлиji үчүн гарышыг мәсәләjә бахылыр. Тәнлиjә дахил олан геjри-хэтти фунциjалар үзэрине гоjулмуш мүэjjән шәртләр дахилинидә мәсәләнин глобал һэлли исбат олуур.

К. Ya. Leonov, Z. A. Guseinov

GLOBAL RESOLVABILITY OF THE FIRST BEGINNING-BOUNDARY VALUE PROBLEM FOR QUASI-LINEAR HYPERBOLIC EQUATIONS OF THE SAME CLASS

The mixed problem for quasi-linear hyperbolic equations is investigated in this article.

$$A(x, t, u)u_{tt} - \sum_{ij=1}^n \frac{\partial}{\partial x_i} (a_{ij}(x)u_{x_j}) + B(x, u, u_t) + C(x, u) = 0.$$

The global resolvability of this problem is proved under definite conditions on non-linear functions, which are included in the equation.

М. А. САДЫГОВ

О НЕКОТОРЫХ НЕОБХОДИМЫХ И ДОСТАТОЧНЫХ УСЛОВИЯХ МИНИМУМА ДЛЯ ДИФФЕРЕНЦИАЛЬНЫХ ВКЛЮЧЕНИЙ

(Представлено академиком АН Азербайджанской ССР Ф. Г. Максудовым)

В [1] определены динамические семейства отображений (д. с. о.), с помощью которых изучалась выпуклая динамическая экстремальная задача с терминальным линейным целевым функционалом. Ее исследование основано на понятии характеристики [1, 2]. В [3] приводятся необходимые и достаточные условия для стационарных задач в виде принципа максимума. Эти условия получены переходом к дискретным задачам. Представляет интерес сравнить два указанных выше подхода. В настоящей работе дается это сравнение. Приводятся необходимые и достаточные условия для дифференциальных включений в виде теоремы о характеристике и показано, что в случае, когда характеристика абсолютно непрерывна, эти условия могут быть записаны в форме принципа максимума.

1. Выпуклый случай

Примем обозначения: $X = \mathbb{R}^n$ — n -мерное пространство, $E = [0, T]$, 2^X — множество всех подмножеств X ; $S(x_0; r)$ — замкнутый шар в X с центром в точке x_0 . Пусть $a: E \times X \rightarrow 2^X$, причем множества $a(t, x)$ компактны при всех t, x . Рассмотрим дифференциальное включение

$$\dot{x}(t) \in a(t, x(t)) \quad (1)$$

Решением или траекторией включения (1) называется абсолютно непрерывное отображение $x \rightarrow a(t, x)$, удовлетворяющее включению $\dot{x}(t) \in a(t, x(t))$ для почти всех $t \in E$.

В этом пункте предполагается, что отображения $x \rightarrow a(t, x)$ вогнуты [1, 2] почти при всех t . Это равносильно выпуклости графика этих отображений.

Задача А. Требуется найти необходимые и достаточные условия для траектории, которая среди всех траекторий, удовлетворяющих начальному условию

$$x(0) = x_0 \quad (2)$$

минимизирует величину $q(x(T))$, где q — собственная выпуклая функция. Построим по отображению $a(t, x)$ д. с. о. $(a_{\tau, t})_E$ [1]. Нетрудно проверить, что если $a(t, \cdot)$ вогнуто почти всех t , то $a_{\tau, t}$ вогнуто. Семейство $\bar{x} = (\bar{x}_t)_{t \in E}$ называется траекторией д. с. о. $(a_{\tau, t})_E$, если $\bar{x}_t \in a_{\tau, t}(x_t)$ при всех $t, \tau \in E, \tau > t$.

Лемма 1. Пусть отображение $t \rightarrow a(t, x)$ измеримо на E , отображение $x \rightarrow a(t, x)$ замкнуто [1] и вогнуто почти при всех t . Пусть существует такая суммируемая функция $\lambda(t)$, что

$\|a(t, x)\| \leq \lambda(t)(1 + \|x\|) \quad \forall x \in \text{dom } a_t = \{x : a(t, x) \neq \emptyset\}$ и существует решение $y(t)$ задачи (1), (2), которое принадлежит $\text{dom } a_t$ вместе с некоторой ε - трубкой, т. е.

$$\{x : \|y(t) - x\| \leq \varepsilon\} \subset \text{dom } a_t.$$

Тогда 1) существует такое $\delta > 0$, что $y(t) \in \text{Int } a_{t, 0}(S(y(0), \delta)) \subset \text{Int } a_{t, 0}(X)$ при всех $t > 0, t \in E$.

2) существует такое $\delta_t \geq \delta_0 > 0$, что $\forall x \in S(y(t), \delta_t)$ существует решение задачи $\dot{x}(s) \in a(s, x(s)), x(t) = x$ определенное на $[t, T]$ и удовлетворяющее неравенству $\|y(s) - x(s)\| < \varepsilon$ на отрезке $[t, T]$.

Наряду с задачей А рассмотрим следующую задачу.

Задача Б. Требуется найти необходимые и достаточные условия для траектории $\bar{x} = (\bar{x}_t)_{t \in E}, \bar{x}_0 = x_0$, которая среди всех траекторий семейства $(a_{\tau, t})_E$, начинающих из точки x_0 , минимизирует $q(\bar{x}_t)$, где q — функция, фигурирующая в задаче А.

Оптимальная траектория в исходной задаче останется оптимальной и при новом пучке траекторий. Таким образом, исследование задачи А сводится к изучению задачи Б.

Определение. Пусть $\bar{x} = (\bar{x}_t)_{t \in E}$ — траектория д. с. о. $(a_{\tau, t})_E$. Семейство $\bar{\varphi} = (\bar{\varphi}_t)_{t \in E}$, где $\bar{\varphi}_t \in X, \bar{\varphi}_t \neq \emptyset$ называется характеристикой траектории $\bar{x} = (\bar{x}_t)_{t \in E}$, если при всех $\tau, t \in E, \tau > t, x \in \text{dom } a_{\tau, t}$ $y \in a_{\tau, t}(x)$ выполняется неравенство $\langle x_t, \bar{\varphi}_t \rangle - \langle x, \bar{\varphi}_t \rangle \geq \langle x_\tau, \bar{\varphi}_t \rangle - \langle y, \bar{\varphi}_t \rangle$.

Теорема 1. Для того, чтобы траектория $(\bar{x}_t)_{t \in E}$ была решением задачи Б, достаточно существование такой характеристики $\bar{\varphi} = (\bar{\varphi}_t)_{t \in E}$ траектории $(\bar{x}_t)_{t \in E}$, что $\bar{\varphi}_t \in \text{dq}(\bar{x}_t)$, где $\text{dq}(\bar{x}_t) = \{x^* : q(x) - q(\bar{x}_t) \geq \langle x - \bar{x}_t, x^* \rangle, \forall x \in X\}$.

Теорема 2. Рассмотрим задачу Б. Пусть удовлетворяются условия леммы 1 и $\bar{x} = (\bar{x}_t)_{t \in E}$ — оптимальная траектория, исходящая из x_0 .

Тогда 1) или $0 \in \text{dq}(\bar{x}_T)$

2) или \bar{x} допускает такую характеристику $\bar{\varphi} = (\bar{\varphi}_t)_{t \in E}$, что $\bar{\varphi}_T \in \text{dq}(\bar{x}_T)$.

Теорема 3. Существование абсолютно непрерывной характеристики эквивалентно существованию решения задачи

$$-\left(\bar{\varphi}_t, \bar{\lambda}_t\right)^{\wedge} \in \hat{a}^*(t, (\bar{\varphi}_t, \bar{\lambda}_t)); (\bar{\varphi}_T, \bar{\lambda}_T) = (f_T, \lambda_T); \langle (\bar{x}_s, 1), (f_s, \lambda_s) \rangle + + \langle (\bar{x}_s, 0), (\bar{f}_s, \bar{\lambda}_s) \rangle = 0, \quad (3)$$

где \hat{a} — суперлинейное расширение отображения a [2], \hat{a}^* — сопряженное отображение \hat{a} [3], $f_T \in \text{dq}(\bar{x}_T)$, λ_T — любое заданное число.

Соотношение (3) может быть записано в виде принципа максимума [3], т. е. $-\bar{\varphi}_t \in \hat{a}_t^*(\bar{\varphi}_t; (\bar{x}(t), \dot{\bar{x}}(t)))$, $\bar{f}_T = f_T$.

Из леммы 3.3, гл. V [3] вытекает, что $\langle \bar{x}(t), f_t \rangle = \min_{y \in a(t, \bar{x}(t))} \langle y, f_t \rangle$.

2. Невыпуклый случай

Рассмотрим задачу

$$\dot{x}(t) \in \Gamma(t, x(t)), x(0) = x_0, \quad (4)$$

где Γ — выпуклоизначно, т. е. $\Gamma(t, x)$ — выпуклое множество; множества $\Gamma(t, x)$ замкнуто при всех t, x .

Задача В. Требуется найти необходимые условия для траектории, которая среди всех траекторий $x(t)$, удовлетворяющих (4), минимизирует $\psi(x(T))$.

Определение 1. Функция $h(x)$ называется верхней выпуклой аппроксимацией (в дальнейшем — в. в. а.) функции $\psi(x)$ в точке $x_0 \in \text{dom } \psi = \{x : |\psi(x)| < +\infty\}$, если существует такое $\delta > 0$, что 1) $h(x_0) = \psi(x_0)$; 2) $h(x)$ — выпуклая собственная функция; 3) $h(x) \geq \psi(x)$ для $x \in S(x_0, \delta)$.

Определение 2. Если $h(x)$ есть в. в. а. для ψ в точке x_0 , то множество

$$\partial h(x_0) = \{x^* \in X^* : h(x) - h(x_0) \geq \langle x - x_0, x^* \rangle, x \in X\}$$

называется субдифференциалом функции ψ в точке x_0 и обозначается $\partial\psi(x_0)$.

Замечание. Для наших целей это определение удобней определения в. в. а., данного Б. Н. Пшеничным [3].

Через $\bar{x}(t)$ обозначим решение поставленной задачи оптимизации, которая лежит в $\text{dom } \Gamma$, вместе с некоторой ϵ - трубкой.

Предположим, что функционал ψ допускает в. в. а. $h(x)$ в точке $\bar{x}(T)$.

Лемма 2. Пусть Γ — измеримо по t и полуунепрерывно сверху по x почти при всех t ; существует такая измеримая скалярная функция $r(t) > 0$, что $\text{gr } \Gamma_t \cap S((\bar{x}(t), \dot{\bar{x}}(t)), r(t))$ выпукло почти при всех t и существует такая суммируемая функция $\lambda(t)$, что для $x \in S(\bar{x}(t), r(t)) \cap \Gamma(t, x) \leq \lambda(t)(1 + \|x\|)$.

Тогда отображение $t \rightarrow a(t, x)$, определенное формулой $\text{gra}(t, \cdot) = \text{gr } \Gamma_t \cap S((\bar{x}(t), \dot{\bar{x}}(t)), r(t))$ измеримо на E ; отображение $x \rightarrow a(t, x)$ вогнуто и полуунепрерывно сверху почти при всех t ; $\|a(t, x)\| \leq \lambda(t)(1 + \|x\|)$.

Рассмотрим задачу

$$\dot{x}(t) \in a(t, x(t)), x(0) = x_0 \quad (5)$$

Ясно, что $\bar{x}(t)$ удовлетворяет (5) и минимизирует $h(x)$ среди всех траекторий, удовлетворяющих (5).

Теорема 4. Пусть при $r(t) \geq \lambda > 0$ выполнены условия леммы 2 и 0 не принадлежит множеству $\partial\psi(\bar{x}(T))$. Если $\bar{x}(t)$ оптимальное решение задачи В, то существует такая $f_T \in \partial\psi(\bar{x}(T)) = \partial h(\bar{x}(T))$, что $\bar{x}(t)$ как решение задачи (5) допускает характеристику $\phi = (f_t)_{t \in E}$, для которой $f_T = f_t$.

Так как $a_t^*(\bar{f}_t; (\bar{x}(t), \dot{\bar{x}}(t))) = \Gamma_t^*(\bar{f}_t; (\bar{x}(t), \dot{\bar{x}}(t)))$, где Γ_t^* определено в [3], то из абсолютной непрерывности характеристики вытекает, что эти условия могут быть записаны в форме принципа максимума.

Работа выполнена под руководством А. М. Рубинова, которому выражают свою глубокую благодарность.

Литература

1. Рубинов А. М. Суперлинейные многозначные отображения и их приложения к экономико-математическим задачам, 167. «Наука». Л., 1980.
2. Макаров В. Л., Рубинов А. М. Математическая теория экономической динамики и равновесие. «Наука», М., 1973.
3. Пшеничный Б. Н. Выпуклый анализ и экстремальные задачи. «Наука». М., 1980.
4. Мухсинов А. М. ДАН СССР, т. 217, № 4, 1974.
5. Благодатский В. И. Summer School on Ordinary Differential Equations, Brno, part 1, 29—67, 1975.
6. Филиппов А. Ф. Вестник МГУ, серия матем. и мех., № 3, 1967.
7. Благодатский В. И. Теория дифференциальных включений, т. 1, М., 1979.
8. Демьянов В. Ф., Рубинов А. М. Приближенные методы решения экстремальных задач, 178, Изд. ЛГУ. Л., 1968.

Поступило 4. 1. 1982

Институт математики и механики

М. А. Садыгов

ДИФЕРЕНСИАЛ ДАХИЛОЛМАНЫН МИНИМУМУ ҮЧҮН БИР СЫРА
ЗЭРҮРИ ВЭ КАФИ ШЭРТЛЭР

Мэгэлэдэ диференциал дахилолманнын минимуму үчүн характеристика айлајышы васитосилэ зэрүри вэ кафи шэртээр алымыш вэ характеристика мутлэг кэсилмээ олдугда алымыш шэртээрин максимум принципи шэклиниэ кэтирилэ билемэс көстэрнлүүшидир.

M. A. Sadigov

ON SOME NECESSARY AND SUFFICIENT CONDITIONS FOR THE DIFFERENTIAL INCLUDINGS

In this paper necessary and sufficient conditions for differential includings are given as a theorem of characteristics. It is shown that a theorem of characteristics is absolutely continuous, and these conditions can be written in the form of maximum principle.

Т. А. ШАРИФОВ

ИССЛЕДОВАНИЕ ОБОБЩЕННОГО РЕШЕНИЯ ОДНОМЕРНОЙ КРАЕВОЙ ЗАДАЧИ В КОНЕЧНОЙ ОБЛАСТИ ДЛЯ ОДНОГО КЛАССА ДИФФЕРЕНЦИАЛЬНЫХ УРАВНЕНИЙ В ЧАСТНЫХ ПРОИЗВОДНЫХ ТРЕТЬЕГО ПОРЯДКА С НЕЛИНЕЙНОЙ ОПЕРАТОРНОЙ ПРАВОЙ ЧАСТЬЮ

(Представлено академиком АН Азёрбайджанской ССР Ф. Г. Максудовым)

Работа посвящена исследованию следующей задачи:

$$U_{tt} - \alpha U_{tx} = F(U(t, x)) \quad (0 \leq t \leq T, 0 \leq x \leq l), \quad (1)$$

$$U(0, x) = \varphi(x), \quad U_t(0, x) = \psi(x) \quad (0 \leq x \leq l), \quad (2)$$

$$U(t, 0) = U(t, l) = 0 \quad (0 \leq t \leq T), \quad (3)$$

где $0 < T$, $l < +\infty$, $\alpha > 0$ —фиксированное число; φ , ψ —заданные функции, F —заданный, вообще говоря, нелинейный оператор, а $U(t, x)$ —искомая функция.

С целью исследования задачи (1)–(3) вводятся следующие базисные пространства. Обозначим через $B_{\beta_0, \dots, \beta_s, T}$ совокупность всех функций вида $U(t, x) = \sum_{n=1}^{\infty} U_n(t) \sin \frac{n\pi}{l} x$, рассматриваемых в области $Q_T = [0, T] \times [0, l]$, где функции $U_n(t)$ n раз непрерывно дифференцируемы на отрезке $[0, T]$ и $\sum_{n=1}^{\infty} \{n^{\alpha_i} \max_{0 \leq t \leq T} |U_n^{(i)}(t)|\}^{\beta_i} < +\infty$ ($i = \overline{0, s}$), причем $s \geq 0$ —целое число $\alpha_i \geq 0$, $1 \leq \beta_i \leq 2$ ($i = \overline{0, s}$)—фиксированные числа. Норму в этом множестве определим так

$$\|U(t, x)\|_{B_{\beta_0, \dots, \beta_s, T}} = \sum_{i=0}^s \left\{ \sum_{n=1}^{\infty} (n^{\alpha_i} \max_{0 \leq t \leq T} |U_n^{(i)}(t)|)^{\beta_i} \right\}^{\frac{1}{\beta_i}}.$$

В дальнейшем для удобства будем пользоваться следующими обозначениями

$$\|U(t, x)\|_{B_{\beta_0, \dots, \beta_s, t}} = \sum_{i=0}^s \left\{ \sum_{n=1}^{\infty} (n^{\alpha_i} \max_{0 \leq t \leq t} |U_n^{(i)}(\tau)|)^{\beta_i} \right\}^{\frac{1}{\beta_i}}, \quad t \in [0, T]. \quad (4)$$

В работе установлены теоремы единственности, существования и единственного обобщенного решения задачи (1)–(3), причем под обобщенным решением задачи (1)–(3) понимается следующее.

Определение. Обобщенным решением задачи (1)–(3) назовем функцию $U(t, x)$, принадлежащую пространству $B_{2,2,T}^{2,1}$, принимающую начальные значения (2) в обычном смысле и удовлетворяющую интегральному тождеству

$$\begin{aligned} & \int_0^T \int_0^l U_{tt}(t, x) \cdot V_t(t, x) - \alpha U_{tx}(t, x) V_x(t, x) + \\ & + F(U(t, x)) V(t, x) \} dx dt - \alpha \int_0^l \varphi''(x) V(0, x) dx + \\ & + \int_0^l \psi(x) V(0, x) dx = 0. \end{aligned} \quad (5)$$

для всех функций $V(t, x)$, обладающих свойствами: $V(T, x) = 0$ для почти всех $x \in [0, l]$, $V(0, x) \in L_2(0, l)$, $V(t, x) \in L_2([0, T])$, $\|V_t(t, x)\|_{L_2(0,l)} \in L(0, T)$ и интегральному тождеству

$$\begin{aligned} & \int_0^T \int_0^l [U_{tt}(t, x) V_t(t, x) - \alpha U_{tx}(t, x) V_x(t, x) + F(U(t, x)) V(t, x)] dx dt + \\ & + \int_0^l \psi(x) V(0, x) dx = 0, \end{aligned} \quad (6)$$

для всех функций $V(t, x)$, обладающих свойствами: $V(T, x) = 0$ для почти всех $x \in [0, l]$ $\forall t \in [0, T]$, $V(t, 0) = V(t, l) = 0$,

$$V(0, x) \in L_2(0, l), \quad V(t, x) \in L_2(Q_T), \quad V_t(t, x) \in L(Q_T).$$

Обобщенное решение задачи (1)–(3) будем искать в виде $U(t,$

$x) = \sum_{n=1}^{\infty} U_n(t) \sin \frac{n\pi}{l} x$. Тогда легко видеть, что после формального применения схемы метода Фурье нахождение функций $U_n(t)$ приводится к решению следующей счетной системы нелинейных интегро-дифференциальных уравнений типа Вольтерра второго рода:

$$\begin{aligned} U_n(t) = & \varphi_n + \frac{l^2}{\alpha n^2 \pi^2} \left[1 - e^{-\frac{\alpha n^2 \pi^2}{l^2} t} \right] \psi_n + \\ & + \frac{2l}{\alpha n^2 \pi^2} \int_0^t \int_0^l F(U(\tau, \xi)) \left[1 - e^{-\frac{\alpha n^2 \pi^2}{l^2} (t-\tau)} \right] \sin \frac{n\pi}{l} \xi d\xi d\tau, \end{aligned} \quad (7)$$

где

$$\varphi_n = \frac{2}{l} \int_0^l \varphi(x) \sin \frac{n\pi}{l} x dx, \quad \psi_n = \frac{2}{l} \int_0^l \psi(x) \sin \frac{n\pi}{l} x dx.$$

Исходя из определения обобщенного решения задачи (1)–(3) легко доказывается следующая

Лемма. Если $U(t, x)$ является обобщенным решением задачи (1)–(3), причем $F(U(t, x)) \in L(Q_T)$, то функции $U_n(t) = \frac{2}{l} \int_0^l U(t,$

$x) \sin \frac{n\pi}{l} x dx$ удовлетворяют на $[0, T]$ системе (7).

Теперь приведем некоторые из полученных нами результатов.

Теорема 1. Пусть

1. Для каждого $U(t, x) \in B_{2,2,T}^{2,1}$ $F(U(t, x)) \in L_2(Q_T)$.

2. Для любых $U(t, x), V(t, x) \in B_{2,2,T}^{2,1}$ и $\forall t \in [0, T]$:

$$\begin{aligned} \|F(U(t, x)) - F(V(t, x))\|_{L_2(0,1)} &\leq a_{1,u,v}^{(1)} \|U - V\|_{B_{2,t}^0} + \\ &+ a_{2,u,v}^{(1)} \|U - V\|_{B_{2,t}^1} + a_{3,u,v}^{(1)} \|U - V\|_{B_{2,t}^2} + \\ &+ a_{4,u,v}^{(1)} \|U - V\|_{B_{2,t}^{2,0}} + a_{5,u,v}^{(1)} \|U - V\|_{B_{2,t}^{2,1}}, \end{aligned}$$

где для каждого $t_0 \in [0, T]$ существует такое $\delta(t_0)$ ($0 < \delta(t_0) \leq T - t_0$), что

$$(t - t_0)^{\frac{3}{2}} a_{1,u,v}^{(1)}, (t - t_0) a_{2,u,v}^{(1)}, (t_0 - t_0)^{\frac{1}{2}} a_{3,u,v}^{(1)}, (t - t_0)^{\frac{1}{2}} a_{4,u,v}^{(1)},$$

$$a_{5,u,v}^{(1)} \in L_2(t_0, t_0 + \delta(t_0)).$$

Тогда задача (1)–(3) не может иметь более одного обобщенного решения.

С помощью комбинированного принципа М. А. Красносельского (см. [1], стр. 148 и [2] теорему 2) о неподвижной точке доказана следующая

Теорема 2. Пусть

1. а) $\varphi(x) \in C^{(1)}[0, l]$, $\varphi'(x) \in L_2(0, l)$ и $\varphi(0) = \varphi(l) = 0$;
- б) $\psi(x) \in C[0, l]$, $\psi'(x) \in L_2(0, l)$ и $\psi(0) = \psi(l) = 0$.

2. $F = F_1 + F_2$, причем

а) оператор F_1 действует из шара K_1 ($\|U\|_{B_{2,T}^1} \leq R$) в $L_2(Q_T)$

непрерывно, где $R > \|W(t, x)\|_{B_{2,2,T}^{2,1}}$, а функция $W(t, x)$ определена соотношением

$$W(t, x) = \sum_{n=1}^{\infty} \left[\varphi_n + \frac{t^2}{\alpha n^2 \pi^2} \left[1 - e^{-\frac{\alpha n^2 \pi^2}{l^2} t} \right] \psi_n \right] \sin \frac{n \pi}{l} x; \quad (8)$$

б) оператор F_2 действует из шара K_2 ($\|U\|_{B_{2,T}^{2,1}} \leq R$) в $L_2(Q_T)$ и в этом шаре удовлетворяет условию Липшица

$$\begin{aligned} \|F_2(U) - F_2(V)\|_{L_2(Q_T)} &\leq q \cdot \|U - V\|_{B_{2,2,T}^{2,1}}, \text{ где } \frac{l \sqrt{2lT} + \pi \sqrt{\alpha l}}{\alpha \pi^2} \times \\ &\times q = q_0 < 1. \end{aligned}$$

3.

$$\|W(t, x)\|_{B_{2,T}^{2,1}} + \frac{l \sqrt{2lT} + \pi \sqrt{\alpha l}}{\alpha \pi} \sup_{U \in K_2} \|F(U)\|_{L_2(Q_T)} \leq R.$$

Тогда задача (1)–(3) имеет обобщенное решение.

С помощью принципа ненулевого вращения (см. [3], стр. 205) доказана.

Теорема 3. Пусть

1. Выполнено условие 1 теоремы 2.

2. $F = F_1 + F_2 + F_3$, причем:

$$\begin{aligned} \text{а) оператор } F_1 \text{ действует из } B_{2,T}^1 \text{ в } L_2(Q_T) \text{ непрерывно и} \\ \forall U \in B_{2,T}^1, t \in [0, T] \|F_1(U(t, x))\|_{L_2(0,1)} \leq a_1(t) + a_2(t) \|U\|_{B_{2,T}^1} + \\ + a_3(t) \|U\|_{B_{2,t}^1}, \end{aligned}$$

где $a_i(t) \in L_2(0, T)$ ($i = 1, 3$) и $0 < \gamma < 1$;

б) Оператор F_2 действует из некоторого шара K^* ($\|U\|_{B_{2,T}^1} \leq C$) пространства $B_{2,T}^1$ в $L_2(Q_T)$ непрерывно, где

$$C > C_0 \max \{y : y^2 \leq (A_1 + A_2 |y|^2) A_3\}, A_1 = 2 \|W\|_{B_{2,2,T}^{2,1}}^2 +$$

$$+ \frac{6(l \sqrt{2lT} + \pi \sqrt{\alpha l})^2}{\alpha^2 \pi^4} \|a_1(t)\|_{L_2(0,T)}^2,$$

$$A_2 = \frac{6(l \sqrt{2lT} + \pi \sqrt{\alpha l})^2}{\alpha^2 \pi^4} \|a_2(t)\|_{L_2(0,T)}^2, A_3 =$$

$$= \exp \left\{ \frac{6(l \sqrt{2lT} + \pi \sqrt{\alpha l})^2}{\alpha^2 \pi^4} \|a_3(t)\|_{L_2(0,T)}^2 \right\},$$

а функция $W(t, x)$ определена соотношением (8);

в) $\inf_{U \in S} (\|U - Q_1(U)\|_{B_{2,2,T}^{2,1}} - \|Q_2(U)\|_{B_{2,2,T}^{2,1}}) > 0$, где S —граница шара

$K(\|U\|_{B_{2,2,T}^{2,1}} \leq C)$, $Q_1(U) = W + PF_1(U)$, $Q_2(U) = PF_2(U)$, а оператор P определен следующим образом:

$$\begin{aligned} P(U(t, x)) = \sum_{n=1}^{\infty} \frac{2l}{\alpha n^2 \pi^2} \int_0^t \int_0^1 U(\tau, \xi) \left[1 - e^{-\frac{\alpha n^2 \pi^2}{l^2}(t-\tau)} \right] \sin \frac{n \pi}{l} \xi d\xi d\tau \times \\ \times \sin \frac{n \pi}{l} x; \end{aligned} \quad (9)$$

г) Оператор F_3 действует из шара K_p ($\|U\|_{B_{2,2,T}^{2,1}} \leq p$) в $L_2(Q_T)$ и

для любых $U, V \in K_p$:

$$\|F_3(U) - F_3(V)\|_{L_2(Q_T)} \leq q \cdot \|U - V\|_{B_{2,2,T}^{2,1}}, \text{ где } p \geq C,$$

$$p \geq p_0 = \sup_{U \in K_p} \{ \|Q_1(U) + Q_2(U)\|_{B_{2,2,T}^{2,1}} \},$$

$$\frac{l \sqrt{2lT} + \pi \sqrt{\alpha l}}{\alpha \pi^2} q = q_0 \leq 1 - \frac{p_0}{p}, q_0 < 1;$$

д) $\inf_{U \in S} (\|U - Q_1(U) - Q_3(U)\|_{B_{2,2,T}^{2,1}} - \|Q_3(U)\|_{B_{2,2,T}^{2,1}}) > 0$, где $Q_3(U) =$

$= PF_3(U)$;

е) $F_3(0) = 0$.

Тогда задача (1)–(3) имеет обобщенное решение.

Теорема 4. Пусть

1. Выполнено условие 1 теоремы 2.

2. Оператор F действует из $B_{2,2,T}^{2,1}$ в $L_2(Q_T)$ и $\forall U \in B_{2,2,T}^{2,1}, t \in [0, T]$

$$\|F(U(t, x))\|_{L_2(0,1)} \leq a(t) + b(t) \cdot \|U\|_{B_{2,2,T}^{2,1}}, \text{ где } a(t), b(t) \in L_1[0, T].$$

3. для любых $U, V \in K_0 (\|U\|_{B_{2,2,T}^{2,1}} \leq C_0)$ и $t \in [0, T]$

$$\|\tilde{F}(U(t, x)) - \tilde{F}(V(t, x))\|_{L_2(0,1)} \leq C(t) \|U - V\|_{B_{2,2,T}^{2,1}}, \text{ где } C(t) \in L_2(0, T),$$

$$C_0 \equiv \left[2 \|W(t, x)\| + 4 \left(\frac{l\sqrt{2lT} + \pi\sqrt{\alpha l}}{\alpha\pi^2} \right)^2 \cdot \|a(t)\|_{L_2(0,T)}^2 \times \right. \\ \left. \times \exp \left[4 \left(\frac{l\sqrt{2lT} + \pi\sqrt{\alpha l}}{\alpha\pi^2} \right)^2 \cdot \|b(t)\|_{L_2(0,T)}^2 \right] \right]^{\frac{1}{2}}, \quad (10)$$

а функция $W(t, x)$ определена соотношением (8).

Тогда задача (1)–(3) имеет единственное обобщенное решение $U(t, x)$, которое может быть найдено методом последовательных приближений, причем скорость сходимости последовательных приближений $U_k(t, x)$ к $U(t, x)$ характеризуется так:

$$\|U_k(t, x) - U(t, x)\|_{B_{2,2,T}^{2,1}} \leq C_0 \cdot \frac{\left[\frac{l\sqrt{2lT} + \pi\sqrt{\alpha l}}{\alpha\pi^2} \cdot \|C(t)\|_{L_2(0,T)} \right]^k}{\sqrt{k!}} \times \\ \times (k = 0, 1, 2, \dots). \quad (11)$$

Комбинированием метода последовательных приближений с принципом Шаудера доказана следующая

Теорема 5. Пусть

1. Выполнено условие 1 теоремы 4.

2. $\tilde{F}(U) = \tilde{F}(U, U)$, причем

а) оператор $\tilde{F}(U, V)$ действует из $B_{2,T}^1 \times B_{2,2,T}^{2,1}$ в $L_2(\mathbb{C}_T)$, для любых $U \in B_{2,T}^1, V \in B_{2,2,T}^{2,1}$ и $t \in [0, T]$

$$\|\tilde{F}(U(t, x), V(t, x))\|_{L_2(0,1)} \leq a_1(t) + a_2(t) \cdot \|U\|_{B_{2,T}^1} + a_3(t) \|U\|_{B_{2,1}^1} + \\ + a_4(t) \cdot \|V\|_{B_{2,2,T}^{2,1}} + a_5(t) \|V\|_{B_{2,2,T}^{2,1}}, \text{ где } a_i(t) \in L_2(0, T) (i = 1, 5), \\ 0 < \tau < 1;$$

где

б) для любых $U \in K_0 (\|U\|_{B_{2,T}^1} \leq C_0), V_1, V_2 \in B_{2,2,T}^{2,1}$ и $t \in [0, T]$

$$\|\tilde{F}(U(t, x), V_1(t, x)) - \tilde{F}(U(t, x), V_2(t, x))\|_{L_2(0,1)} \leq \\ \leq b(t) \|V_1 - V_2\|_{B_{2,2,T}^{2,1}}, \text{ где } b(t) \in L_2(0, T),$$

$$C_0 = \max \{y : y^2 \leq (A_1 + A_2 |y|^{2\tau}) A_3\}, A_1 \equiv 2 \|W\|_{B_{2,2,T}^{2,1}}^2 + \\ + \frac{10(l\sqrt{2lT} + \pi\sqrt{\alpha l})^2}{\alpha^2\pi^4} \times \|a_1(t)\|_{L_2(0,T)}^2, A_2 \equiv \frac{10(l\sqrt{2lT} + \pi\sqrt{\alpha l})^2}{\alpha^2\pi^4} \times \\ \times [\|a_2(t)\|_{L_2(0,T)}^2 + \|a_4(t)\|_{L_2(0,T)}^2],$$

$$A_3 \equiv \frac{10(l\sqrt{2lT} + \pi\sqrt{\alpha l})^2}{\alpha^2\pi^4} \cdot [\|a_3(t)\|_{L_2(0,T)}^2 + \|a_5(t)\|_{L_2(0,T)}^2],$$

а функция $W(t, x)$ определена равенством (8);

в) Для каждого фиксированного $V \in K (\|V\|_{B_{2,2,T}^{2,1}} \leq C)$ оператор $\tilde{F}(U, V)$ действует из шара $K_0 (\|U\|_{B_{2,T}^1} \leq C_0)$ в $L_2(\mathbb{C}_T)$ непрерывно, где

$$C = \min \{C_1, C_2\}, C_1 \equiv \left[2 \|W(t, x)\|_{B_{2,2,T}^{2,1}}^2 + 8 \times \right.$$

$$\left. \times \frac{(l\sqrt{2lT} + \pi\sqrt{\alpha l})^2}{\alpha^2\pi^4} \cdot (\|a_1(t)\|_{L_2(0,T)}^2 + \|a_2(t)\|_{L_2(0,T)}^2 \cdot C_0^2 + \|a_3(t)\|_{L_2(0,T)}^2 \cdot C_0^2) \right] \times \\ \times \exp \left[8 \frac{(l\sqrt{2lT} + \pi\sqrt{\alpha l})^2}{\alpha^2\pi^4} \cdot \|b(t)\|_{L_2(0,T)}^2 \right]^{\frac{1}{2}},$$

$$C_2 \equiv \max \{y : y^2 \leq (\tilde{A}_1 + \tilde{A}_2 |y|^{2\tau}) \tilde{A}_3\}, \tilde{A}_1 \equiv 2 \|W(t, x)\|_{B_{2,2,T}^{2,1}}^2 +$$

$$+ \frac{10(l\sqrt{2lT} + \pi\sqrt{\alpha l})^2}{\alpha^2\pi^4} \cdot [\|a_1(t)\|_{L_2(0,T)}^2 + \|a_2(t)\|_{L_2(0,T)}^2 \cdot C_0^2 + \\ + \|a_3(t)\|_{L_2(0,T)}^2 \cdot C_0^2],$$

$$\tilde{A}_2 \equiv \frac{10(l\sqrt{2lT} + \pi\sqrt{\alpha l})^2}{\alpha^2\pi^4} \|a_4(t)\|_{L_2(0,T)}^2,$$

$$\tilde{A}_3 \equiv \exp \left[\frac{10(l\sqrt{2lT} + \pi\sqrt{\alpha l})^2}{\alpha^2\pi^4} \|a_5(t)\|_{L_2(0,T)}^2 \right].$$

Тогда задача (1)–(3) имеет обобщенное решение.

В заключение отметим, что задачи подобного рода, когда $F(U(t, x)) = U_{xx}(t, x)$, встречаются при рассмотрении стационарных волн в линейно-вязко-упругих средах. Кроме того, следует отметить, что в работах [4–6] для простейших частных случаев уравнения (1), представляющих одну из наиболее простых математических моделей нервных аксонов (нейронов), изучена предельная краевая задача на полуоси $x \geq 0$.

Литература

- Красносельский М. А. Топологические методы в теории нелинейных интегральных уравнений. ГИТТЛ, М., 1956.
- Забрейко П. П., Красносельский М. А. ДАН СССР, 176, № 6, 1233–1235, 1967.
- Справочная математическая библиотека. Функциональный анализ. Изд-во "Наука", М., 1964.
- Proceedings of the 1 RE, SO (10), 1962, 2061–2070.
- Reiko Arima and Yojiro Hasegawa. Proc. Japan Acad., 1963, 39, № 10, 721–725.
- Jamaguti Masaya. Proc. Japan Acad., 1963, 39, № 10, 726–730.

Поступило 4. I 1982

АзИСН

БИР СИНİФ ГЕJРИ-ХЭTTИ УЧУНЧУ ТЭРТИБ ХУСУСИ ТӨРЭMЭЛİ
ДИФФЕРЕНЦИАЛ ТӘНЛИКЛӘР УЧУН СОНЛУ ОБЛАСТДА ГОJУЛМУШ
БИРӨЛЧҮЛУ СЭРНЭД МЭСЭЛЭСИНИН УМУМИЛӘШМИШ ҺЭЛЛИНИН ТӘДГИГИ

Мәгәләдә (1)-(3) мэсэлэснин умумиләшмиш һэллинии јеканэлиji вэ варлыгы нагында бир нечэ теорем исбат едилмишdir.

T. A. Sharifov

RESEARCH OF A GENERALIZED SOLUTION OF ONE-DIMENSIONAL
BOUNDARY VALUE PROBLEM FOR ONE CLASS OF NON-LINEAR
PARTIAL DIFFERENTIAL EQUATIONS OF THE THIRD ORDER

Theorems of the uniqueness and existence of the generalized solutions of the problems (1)-(3) are proved in this paper.

УДК 517.91

МАТЕМАТИКА

A. Р. МАГОМЕДОВ, Г. М. НАБИЕВ

ПРИНЦИП УСРЕДНЕНИЯ ДЛЯ ДИФФЕРЕНЦИАЛЬНЫХ
УРАВНЕНИЙ С МАКСИМУМАМИ

(Представлено академиком АН Азербайджанской ССР Г. Ф. Султановым)

Пусть $F(t, x, y)$ обозначает n -мерную вектор-функцию, определенную для всех неотрицательных значений t и для $x, y = \max_{t \in [t-h, t]} x(t)$ из некоторой ограниченной области D пространства E^n . Предполагается, что при каждом значениях $x, y \in D$ существует среднее по времени

$$\lim_{T \rightarrow \infty} \frac{1}{T} \int_0^T F(t, x, y) dt = F_0(x, y). \quad (1)$$

Рассматриваются два обыкновенных дифференциальных уравнения

$$\dot{x} = e F(t, x, y) \quad (2)$$

и

$$\dot{y} = e F_0(x, y) \quad (3)$$

при одинаковых начальных условиях

$$x(0) = y(0) = x_0, \quad (4)$$

Принцип усреднения заключается в том, что решение уравнения (2) приближенно заменяют решением уравнения (3).

Обоснование принципа усреднения было дано еще Л. И. Мандельштамом и Н. Д. Папалекси [3] для случая, когда функции $F(t, x, y)$ периодические по t и когда выполнены дополнительные жесткие ограничения для обыкновенных дифференциальных уравнений. При весьма широких предположениях обоснование принципа усреднения дал Н. Н. Боголюбов [4].

В данной работе устанавливаются некоторые результаты, связанные с обоснованием метода усреднения для систем дифференциальных уравнений с максимумами.

Теорема. Пусть функция $F(t, x, y)$ ограничена для $t \in [0; +\infty)$ и удовлетворяет условию (1) при $x, y \in D$ и, кроме того, для любого $\epsilon_1 > 0$ существует $\delta(\epsilon_1) > 0$ такое, что если $|x' - x''| < \delta(\epsilon_1)$, $|y' - y''| < \delta(\epsilon_1)$, то $|F(t, x', y') - F(t, x'', y'')| < \epsilon_1$, $|F_0(x', y') - F_0(x'', y'')| < \epsilon_1$. (5)

Допустим еще, что система (3) имеет единственное решение, удовлетворяющее условию (4). Тогда если $x(t, \epsilon)$ произвольное решение системы (2), для которого $x(0, \epsilon) = x_0$, а $y(t, \epsilon)$ есть решение системы (3) с начальным условием $y(0, \epsilon) = y_0$, то для любых $T > 0$ и $\epsilon_1 > 0$ существует $\epsilon_0 > 0$ такое, что при $0 < \epsilon < \epsilon_0$ имеем $|x(t, \epsilon) - y(t, \epsilon)| < \epsilon_1$ для всех $t \in [0, \frac{T}{\epsilon}]$.

При доказательстве теоремы воспользуемся следующими леммами, доказательства которых можно найти из [3, 4].

Лемма 1. Если $F(t, x, y)$ удовлетворяет условию (I) для любых $x, y \in D$, то для любой пары кусочно-постоянных функций $\bar{x}(t), \bar{y}(t)$ имеет место соотношение

$$\lim_{\epsilon \rightarrow 0} \int_0^{t_1} F\left(\frac{t_1}{\epsilon}, \bar{x}(t_1), \bar{y}(t_1)\right) dt_1 = \int_0^{t_1} F_0(\bar{x}(t_1), \bar{y}(t_1)) dt_1. \quad (6)$$

Лемма 2. Если функция $F(t, x, y)$ ограничена при $t \in [0, +\infty)$, $x, y \in D$ и $x_n(t)$ решение системы

$$\dot{x}_n(t) = \epsilon_n F(t, x(t), y(t)), \quad (7)$$

то из соотношения $\lim_{n \rightarrow \infty} \epsilon_n = 0$ и $\lim_{n \rightarrow \infty} x_n\left(\frac{t}{\epsilon_n}\right) = y(t)$ следует

$$\lim_{n \rightarrow \infty} y_n(t) = \lim_{n \rightarrow \infty} \max_{\epsilon \in \left[\frac{t_1}{\epsilon_n}, t_1, \frac{t_1}{\epsilon_n}\right]} x_n(\tau) = y(t). \quad (8)$$

Лемма 3. Если $\lim_{n \rightarrow \infty} \epsilon_n = 0$ и $\lim_{n \rightarrow \infty} x_n\left(\frac{t}{\epsilon_n}\right) = y(t)$ равномерно по $t \in [0, T]$, то

$$\lim_{n \rightarrow \infty} \int_0^{t_1} F\left(\frac{t_1}{\epsilon_n}, x_n\left(\frac{t_1}{\epsilon_n}\right), \max_{\epsilon \in \left[\frac{t_1}{\epsilon_n}, t_1, \frac{t_1}{\epsilon_n}\right]} x_n(\tau)\right) dt_1 = \int_0^{t_1} F_0(y(t), y(t)) dt. \quad (9)$$

Доказательство. Имеем

$$x(t, \epsilon) = x_0 + \epsilon \int_0^t F(s, x(s), y(s)) ds.$$

При $t = \frac{t_1}{\epsilon}$ получаем

$$x\left(\frac{t_1}{\epsilon}, \epsilon\right) = x_0 + \int_0^{t_1} F\left(\frac{u}{\epsilon}, x\left(\frac{u}{\epsilon}\right), y\left(\frac{u}{\epsilon}\right)\right) du.$$

Сделаем в интеграле подстановку $u = \epsilon s$.

Тогда

$$x\left(\frac{t_1}{\epsilon}, \epsilon\right) = x_0 + \int_0^{t_1} F\left(\frac{u}{\epsilon}, x\left(\frac{u}{\epsilon}\right), y\left(\frac{u}{\epsilon}\right)\right) du.$$

Из неравенства $|F(t, x, y)| < M$ следует, что при $0 \leq t_1 \leq T$ семейство $\{x\left(\frac{t_1}{\epsilon}, \epsilon\right)\}$ равномерно ограничено и имеет равномерно ограниченные производные, следовательно, является равностепенно непрерывным. Если это так, тогда семейство $\{x\left(\frac{t_1}{\epsilon}, \epsilon\right)\}$ компактно, и для любой последовательности $\{\epsilon_n\}$ такой, что $\lim_{n \rightarrow \infty} \epsilon_n = 0$, можно найти предпоследовательность $\{\epsilon_{n_k}\}$, для которой

$$\lim_{k \rightarrow \infty} x_{n_k}\left(\frac{t_1}{\epsilon_{n_k}}, \epsilon_{n_k}\right) = y(t_1),$$

причём сходимость равномерна на $[0, T]$.

Тогда $y(0) = x_0$ и из

$$x_{n_k}\left(\frac{t_1}{\epsilon_{n_k}}, \epsilon_{n_k}\right) = x_0 + \int_0^{t_1} F\left(\frac{u}{\epsilon_{n_k}}, x\left(\frac{u}{\epsilon_{n_k}}\right), y\left(\frac{u}{\epsilon_{n_k}}\right)\right) du$$

на основе леммы 3, получаем

$$y(t_1) = x_0 + \int_0^{t_1} F_0(y(u), y(u)) du.$$

Отсюда вытекает, что $y(t_1)$ — решение системы (3). Так как это решение по предположению единствено, заключаем, что для любой последовательности $\epsilon_n \rightarrow 0$ существует подпоследовательность $\{\epsilon_{n_k}\}$ такая, что

$$\lim_{k \rightarrow \infty} x_{n_k}\left(\frac{t_1}{\epsilon_{n_k}}, \epsilon_{n_k}\right) = y(t_1).$$

Но это означает, что $\lim_{\epsilon \rightarrow 0} x\left(\frac{t_1}{\epsilon}, \epsilon\right) = y(t_1)$ и, следовательно, для любо-

го $\epsilon_1 > 0$ существует $\epsilon_0 > 0$ такое, что если $0 < \epsilon < \epsilon_0$, то

$$|x\left(\frac{t_1}{\epsilon}, \epsilon\right) - y(t_1)| < \epsilon \text{ для } t_1 \in [0, T].$$

Пусть $t = \frac{t_1}{\epsilon}$. Имеем $|x(t, \epsilon) - y(\epsilon t)| < \epsilon_1$. Обозначим $y(\epsilon t) = y(t, \epsilon)$.

Тогда $\dot{y}(t, \epsilon) = \dot{y}(\epsilon t) = \epsilon \frac{d}{dt} y(\epsilon t) = \epsilon F_0(y(\epsilon t), y(\epsilon t)) = \epsilon F_0(y(t, \epsilon), y(t, \epsilon))$, т. е. $y(t, \epsilon)$ — решение системы (3) и $y(0, \epsilon) = y(0) = x_0$. Итак, теорема доказана.

Литература

1. Магомедов А. Р. Изв. АН Азерб. ССР, серия физ.-техн. и матем. наук. № 1, с. 104—108, 1977.
2. Магомедов А. Р., Рябов Ю. А. Изв. АН Азерб. ССР, серия физ.-техн. и матем. наук. № 2, с. 76—83, 1975.
3. Мандельштам Л. И., Папалекси Н. Д. ЖЭТФ, IV, с. 112—117, 1934.
4. Боголюбов Н. Н. О некоторых статических методах в матем. физике. Изд-во АН УССР, 1945.

Ә. Р. Мәһәммәдов, Г. М. Нәбиев

МАКСИМУМЛУ ДИФЕРЕНСИАЛ ТӘНЛИКЛӘР ҮЧҮН ОРТАЛАШДЫРМА
ПРИНСИПИ

Мәгәләдә ejni башланғыч шәртләрә малик олган максимумлу диференсиал тәнликләр системине бахылыр вә орталашдырма принципи илэ багыл олган бә'зи иетичеләр алыныр.

Исбат олунур ки, тәнликләр системинин јеканә һәлли вардыр.

A. R. Magomedov, G. M. Nabiiev

AVERAGING PRINCIPLE FOR THE DIFFERENTIAL EQUATIONS
WITH MAXIMUMS

In this paper the systems of differential equations with maximums at equal initial conditions are considered and some results connected with the proof of averaging principle are established.

It is also proved that the equations system has the unique solution.

АЗӘРБАЙЧАН ССР ЕЛМЛӘР АКАДЕМИЯСЫНЫН МӘРУЗӘЛӘРИ

ДОКЛАДЫ АКАДЕМИИ НАУК АЗЕРБАЙДЖАНСКОЙ ССР

ТОМ XL ЧИЛД

№ 2

1984

УДК 546.732.723

ФИЗИКА ПОЛУПРОВОДНИКОВ

Д. А. ГУСЕЙНОВ, чл.-корр. И. Г. КЕРИМОВ, Р. К. ВЕЛИЕВ,
Р. З. САДЫХОВ, М. А. АЛДЖАНОВ

ТЕПЛОВЫЕ И УПРУГИЕ СВОЙСТВА $CdIn_2S_4$

Получение и исследование полупроводниковых соединений, среди которых определенное место занимают многокомпонентные материалы, представляет большой интерес для исследователей не только особенностю механизма электропроводности, но и разнообразием их кристаллических структур и химического состава. Одним из представителей сложных полупроводниковых соединений является $CdIn_2S_4$, интерес к которому вызван широкими возможностями его применения в нелинейной оптике, в светоуправляемых переключающих устройствах, в электронографии и т. д.

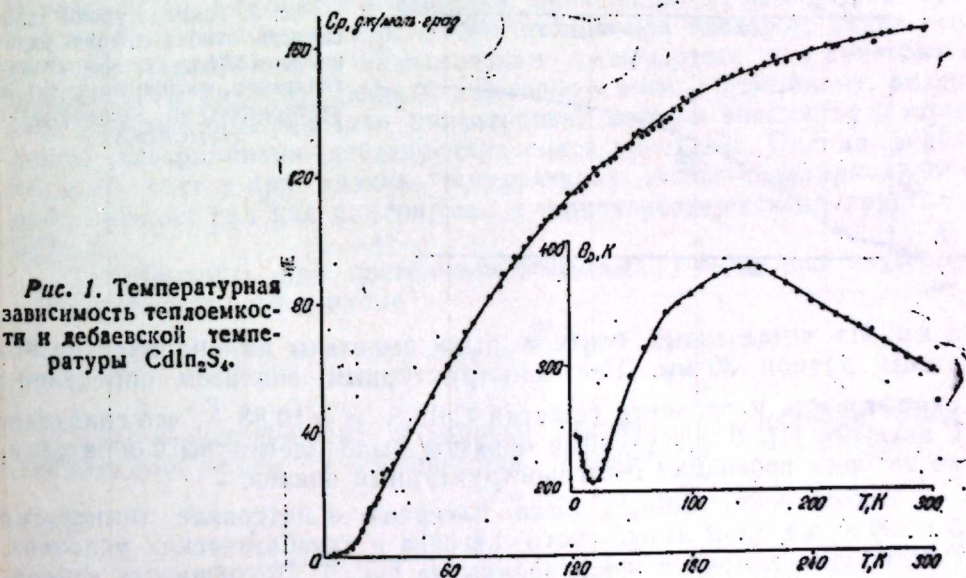


Рис. 1. Температурная зависимость теплоемкости и дебаевской температуры $CdIn_2S_4$.

В работах [1—5] исследованы структурные, электрические, фотоэлектрические и оптические свойства, а в [6] с помощью теоретико-группового анализа изучена динамика кристаллической решетки $CdIn_2S_4$. Однако тепловые и упругие свойства шпинели $CdIn_2S_4$ исследованы недостаточно.

В настоящей работе проведены измерения теплоемкости (C_p), коэффициента линейного теплового расширения (α) и изотермической сжимаемости (x_t) $CdIn_2S_4$.

Соединение CdIn_2S_4 синтезировалось в предварительно откаченных и запаянных кварцевых ампулах методом двухтемпературного синтеза. Затем поликристаллические образцы подвергались термической обработке в течение трех суток при 450°C . Чтобы получить плотные и непористые образцы для исследования теплового расширения и изотермической сжимаемости полученные продукты синтеза измельчались до порошкообразного вида и вновь запаивались в эвакуированную кварцевую ампулу, внутренний диаметр которой составлял

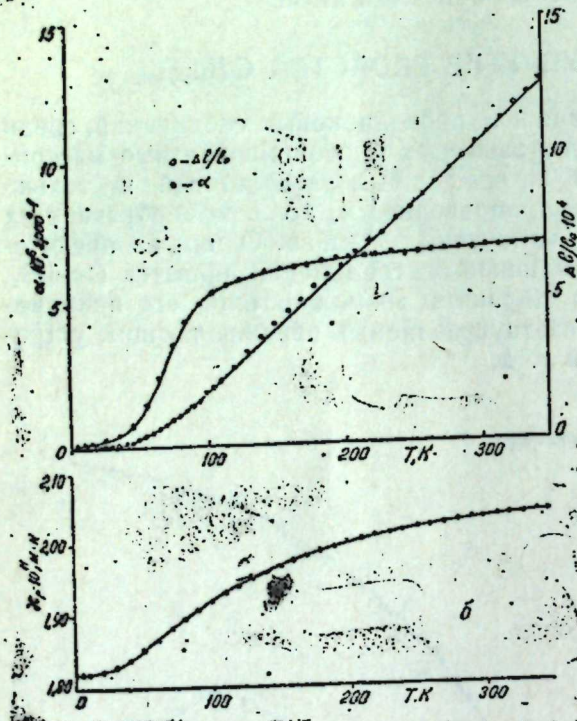


Рис. 2. Температурная зависимость относительного удлинения ($\Delta l/l_0$), коэффициента теплового расширения (α) и изотермической сжимаемости (χ_r) CdIn_2S_4 .

5 мм. Из сплавленных слитков были вырезаны цилиндрические образцы длиной 30 мм. Рентгеноструктурным анализом определены однофазность и параметр решетки CdIn_2S_4 , $a = 10,83 \text{ \AA}$, что совпадает с данными [1]. Все изученные образцы были идентичны с образцами, на которых проводили рентгеноструктурный анализ.

Теплоемкость CdIn_2S_4 была измерена в интервале температур $5 \div 300 \text{ K}$ методом импульсного нагрева в адиабатических условиях. Результаты измерения представлены на рис. 1. Погрешность измерений ниже 10 K составляла 2 %, выше $T > 10 \text{ K}$ — 0,3 %.

Экспериментальные данные показывают, что для CdIn_2S_4 ниже $\sim 7 \text{ K}$ выполняется кубический закон теплоемкости

$$C_V = 463,6 n_0 \left(\frac{T}{\theta_D} \right)^3,$$

где n_0 — число атомов в молекуле исследуемого кристалла, θ_D — дебаевская температура при $T \rightarrow 0 \text{ K}$. Из зависимости $\theta_D(T)$, которая приведена также на рис. 1, найдено, что для $\theta_D = (245 \pm 3) \text{ K}$.

Исследования линейного теплового расширения и изотермической сжимаемости CdIn_2S_4 проводили в кварцевом дилатометре, описанном в [7], в интервале температур $5 \div 350 \text{ K}$. Относительная погрешность составляла 3 %. Результаты измерения теплового расширения и изотермической сжимаемости приведены на рис. 2, a, b. Как видно, характер изменения коэффициентов линейного теплового расширения и изотермической сжимаемости с температурой для CdIn_2S_4 одинаков. Значительный рост α при низких температурах ($10 \div 85 \text{ K}$) с повышением ее слабеет. Начиная с $T > 150 \text{ K}$ коэффициент теплового расширения CdIn_2S_4 изменяется слабо, что приводит практически к линейной зависимости относительного удлинения ($\Delta l/l_0$) от температуры. При 300 K $\alpha = 6,58 \cdot 10^{-6} \text{ град}^{-1}$.

Известно, что тепловое расширение любого твердого тела определяется характером сил взаимодействия между атомами, из которых это тело состоит. Так как шпинель CdIn_2S_4 содержит атомы трех сортов, то характер $\alpha(T)$ будет зависеть от упорядочения этих атомов по тетраэдрическим и октаэдрическим позициям кристаллической решетки и от вида химической связи. Результаты исследования ЭПРезонанса в CdIn_2S_4 [8,9] показали, что это соединение имеет частично обращенную шпинельную структуру, в которой часть катионов Cd из тетра-позиций переходит в окта-позиции, причем соответствующие количества ионов In^3+ занимают тетра-позиции: $\begin{matrix} \text{Cd}_1 & \text{In}_1 & [\text{Cd}_1 \text{In}_3] & \text{S}_4 \\ \frac{1}{2} & \frac{1}{2} & \frac{1}{2} & \frac{1}{2} \end{matrix}$.

Согласно [10], в процессе обращения шпинели, когда происходит переход части катионов из тетра-в окта-позиции или наоборот, длина ребра элементарной ячейки незначительно уменьшается, что приводит к искажению кубической решетки. В связи с этим, по-видимому, возникает кристаллографическая анизотропия, которая способствует появлению ангармонизма действующих сил в кристалле. Видимо, значительный рост α при низких температурах связан с ангармонизмом действующих сил как внутри, так и между подрешетками кристалла CdIn_2S_4 .

Теплоемкость при постоянном объеме (C_V) вычислена из термодинамического соотношения

$$C_p - C_V = \frac{\beta^2}{\chi_r} VT,$$

где $\beta = 3\alpha$ — коэффициент объемного теплового расширения, V — молекулярный объем, T — абсолютная температура, C_p — теплоемкость

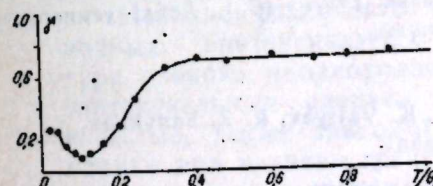


Рис. 3. Зависимость $\gamma = f(T/\theta_D)$ для CdIn_2S_4 .

при постоянном давлении. При определении V использовано его значение при 300 K и данные по $\beta(T)$. Вычисленные значения $C_V(T)$ позволили установить зависимость $\theta_D(T)$ для CdIn_2S_4 , представленную на рис. 1.

На основе экспериментальных данных вычислен также параметр Грюнайзена (γ) для $CdIn_2S_4$, являющийся мерой ангармоничности сил, действующих в кристалле [11]:

$$\gamma = \frac{\beta \cdot V}{C_v \cdot x_T}$$

Температурная зависимость параметра Грюнайзена приведена на рис. 3, характер изменения его от температуры $\gamma = f\left(\frac{T}{\theta_D}\right)$ для $CdIn_2S_4$ показал, что в области $0,1 \theta_D < T < 0,35 \theta_D$ резко возрастает с увеличением температуры, а выше $T > 0,35 \theta_D$ слабо зависит от нее. При $T < 0,04 \theta_D$ ($T < 10$ К) параметр Грюнайзена можно считать не зависящим от температуры, что свидетельствует о справедливости приближения Грюнайзена. Следовательно, в этой области температур как теплоемкость, так и коэффициент теплового расширения для $CdIn_2S_4$ пропорциональны $\sim T^2$. Из зависимости $\theta_D(T)$ видно, что начиная с $T = 150$ К θ_D уменьшается с повышением температуры. Такой ход θ_D при высоких температурах, по-видимому, связан с ангармоническим вкладом в теплоемкость. Отметим, что зависимость параметра Грюнайзена от температуры также свидетельствует о существовании ангармонизма действующих сил в кристаллической решетке $CdIn_2S_4$.

Литература

1. Hahn H., Klinger W. Zs. anorg. allg. Chem., 263, 177, 1950.
2. Абдуллаев Г. Б., Антонов В. Б., Гусейнов Д. Т., Нани Р. Х., Салаев Э. Ю. ФТП, 2, 1048, 1968.
3. Аллахвердиев К. Р., Алиева Л. Н. Изв. АН Азерб. ССР, серия физ.-тех. и матем. наук, 3, 115, 1970.
4. Аллахвердиев К. Р., Антонов В. Б., Нани Р. Х., Салаев Э. Ю. ФТП, 5, 2370, 1971.
5. Абдуллаев Г. Б., Гусейнов Д. А., Керимова Т. Г., Нани Р. Х. ФТП, 8, 1210, 1974.
6. Рустамов К. А. Канд. дисс. Ит. физики. Баку, 1977.
7. Гусейнов Д. А. Канд. дисс. (C):sol. stat. phys., 3, 1323, 1970.
8. Brown M. R., Roots K. G., Shand W. A. J. phys. J. phys. (C):sol. st. phys., 3, 1329, 1970.
9. Brown M. R., Martin M. D., Shand W. A. Rev., 98, 391, 1955.
10. Goedelouq J. B., Loeb A. L. Phys. M., 1974.
11. Новикова С. И. Тепловое расширение твердых тел. «Наука», 1974.

Институт физики

Ч. Э. Гусейнов, И. К. Керимов, Р. Г. Велиев, Р. З. Садыков, М. Э. Алчанов

$CdIn_2S_4$ БИРЛЭШМЭСИННИН ИСТИЛИК ВЭ ЕЛАСТИКИ ХАССЭЛЭРИ

$CdIn_2S_4$ бирлэшмэсинний ашагы температурда истилик тутуму (C_p), истидэн хэтгэвшилжлэнээ эмсалы (a) вэ изотермик сыхылмасы (x_T) өлчүүлүмүшдүр. Тэчүүбэдэн албаны истигчилгээрээ эсасен сабж нэчмдэ истилик тутуму (C_V), Дебај температуру (θ_D) вэ Грюнайзен параметри (γ) исслабланышдыр.

D. Guseinov, I. K. Kerimov, R. K. Veliyev, R. Z. Sadykov,
M. A. Aldjanov

THERMIC AND ELASTIC PROPERTIES OF $CdIn_2S_4$

Thermic capacity (C_p), linear thermal expansion coefficient (a) and isothermal compressibility coefficient (x_T) of compound $CdIn_2S_4$ were measured at low temperature. Heat capacity at constant volume (C_V), Debye temperature (θ_D) [and parameter (γ) were calculated on the basis of experimental results.

Акад. М. И. АЛИЕВ, А. З. ДАИБОВ, И. Г. ОГАНОВА

ПОПЕРЕЧНЫЙ ЭФФЕКТ НЕРНСТА-ЭТТИНГСГАУЗЕНА В ЭПИТАКСИАЛЬНЫХ ПЛЕНКАХ АНТИМОНИДА ИНДИЯ

Исследования термо-ЭДС и термомагнитных эффектов в эпитаксиальных пленках антимонида индия, легированных оловом, проведенные ранее [1], выявили ряд особенностей в поведении продольного и поперечного эффектов Нернста-Эттинггаузена (Н-Э) в пленках в зависимости от температуры в сравнении с аналогичными зависимостями для соответствующих массивных кристаллов. Указанные особенности были приписаны влиянию дополнительного механизма рассеяния носителей заряда в пленках, обусловленного наличием в них значительного количества различных дефектов. Известно, однако, что неоднородности материала образца могут оказываться на величине кинетических эффектов в них, не оказывая влияния на механизм рассеяния носителей заряда [2].

В работах [2, 3] теоретически было исследовано влияние случайных неоднородностей, в частности, флуктуаций концентрации носителей заряда в полупроводнике на кинетические эффекты. В них показано, что поперечный эффект Н-Э в неоднородных полупроводниках имеет некоторую добавку, обусловленную неоднородностям $Q_{\text{неод}}$ к физическому эффекту Н-Э. Она связывается с возникновением вихревых токов в неоднородном образце, взаимодействие которых с магнитным полем приводит к вторичному эффекту Холла,

пропорциональному $\frac{R_{ab}}{R_B}$, где R — постоянная эффекта Холла, a_B — маг-

нитотермоэдс и R_B — магнитосопротивление в исследуемом материале [4], что обуславливает отрицательный знак эффекта.

Большое количество работ посвящено исследованию влияния неоднородностей на поперечный эффект Н-Э в объемных кристаллах антимонида индия [4—7].

Наличие различного типа неоднородностей очевидно и для плоских эпитаксиальных структур. Это дислокации в структуре пленок, неоднородное распределение примеси, свойственная эпитаксиальным пленкам слоистая неоднородность. Последняя, как известно, также приводит к появлению вихревых токов в плоскости пленки при наличии градиента температуры [8].

На рис. 1 приведены зависимости Q^\perp от магнитного поля ряда исследованных образцов для некоторых температурных точек. В исследованном температурном интервале Q^\perp отрицателен. Абсолютная величина эффекта, как уже указывалось [1], значительно превышает $Q_{\text{физ}}^\perp$, рассчитанный для массивных образцов при данной концентра-

ции носителей заряда. Поперечный эффект Н-Э в полупроводниках в сильных магнитных полях в области примесной проводимости должен быть в обратно квадратичной зависимости от магнитного поля [9]. Величина же показателя степени при B для приведенных зависимостей меняется в пределах от -0,6 до -0,9.

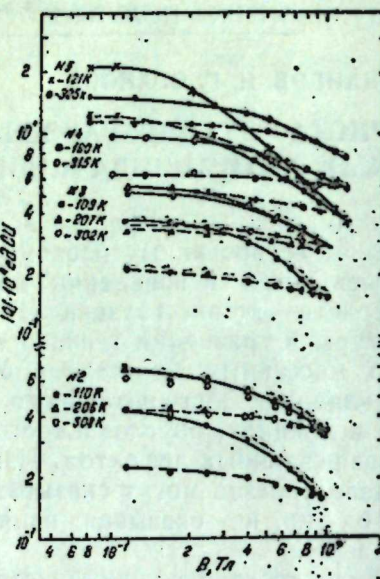


Рис. 1. Зависимость поперечного эффекта Нериста-Эттинггаузена от магнитного поля.

Образцы: № 2 $n=2,7 \cdot 10^{17} \text{ см}^{-3}$,
 $\mu=2,00 \frac{\text{м}^2}{\text{В} \cdot \text{с}}, d=9,2 \text{ мкм};$

№ 3 $n=3 \cdot 10^{17} \text{ см}^{-3}$, $\mu=1,78 \frac{\text{м}^2}{\text{В} \cdot \text{с}}, d=14 \text{ мкм};$

№ 4 $n=7,3 \cdot 10^{16} \text{ см}^{-3}$, $\mu=2,40 \frac{\text{м}^2}{\text{В} \cdot \text{с}},$
 $d=6,2 \text{ мкм};$

№ 5 $n=1,1 \cdot 10^{16} \text{ см}^{-3}$, $\mu=4,40 \frac{\text{м}^2}{\text{В} \cdot \text{с}},$
 $d=16,6 \text{ мкм}.$

Сплошные линии—экспериментальные данные, пунктирующие—расчетные значения $Q_{\text{неод.}}^{\perp}$.

Согласно [3,10], эти факты являются следствием влияния неоднородностей на поперечный эффект Н-Э. Нами было проведено отделение физического эффекта Н-Э от эффекта неоднородностей с учетом зависимости $Q_{\text{неод.}}^{\perp}$ от магнитного поля, согласно [6].

Пунктирными линиями на рис. 1 даны зависимости $\frac{R \alpha_B}{R_B}$ от магнитного поля. Физический эффект Н-Э определялся как разность между $Q_{\text{изм.}}^{\perp}$ — $Q_{\text{неод.}}^{\perp}$ во всем температурном интервале. При этом полагалось, что эффект, обусловленный биполярной проводимостью $Q_{\text{бп.}}^{\perp}$ имеет более слабую зависимость от магнитного поля [5], чем $Q_{\text{неод.}}^{\perp}$ исследованных образцов. Расчет физического эффекта проведен в предположении, что в области достижаемых нами сильных полей ($\mu B > 1$) эффект определяется неоднородностями. Такое предположение оправдывается для обр. № 5, для которого экспериментальная зависимость Q^{\perp} от B в области сильных магнитных полей совпадает с зависимостью $\frac{R \alpha_B}{R_B}$ от B . В остальных образцах зависимость $Q_{\text{неод.}}$

от B лишь приближается к экспериментальным кривым. Вследствие этого рассчитанный физический эффект $Q_{\text{физ.}}^{\perp}$ для этих образцов, видимо, несколько занижен. На рис. 2 сплошными линиями представлены экспериментальные зависимости Q^{\perp} от температуры для исследованных пленок. Пунктирные линии—расчетные величины физического эффекта. На рисунке также приведена теоретическая кривая для поперечного эффекта с учетом рассеяния на ионах примеси и акусти-

ческих фононах из работы [11] для образца с концентрацией $n=2 \cdot 10^{17} \text{ см}^{-3}$. Физический эффект $Q_{\text{физ.}}^{\perp}$ для исследованных пленок с близкой концентрацией носителей заряда почти совпадает с этой кривой, особенно в области низких температур. Определим величину эффективного параметра рассеяния носителей заряда в пленках. Известно, что изменение термоэдс в сильном магнитном поле $\Delta \alpha_{\infty}$ определяе-

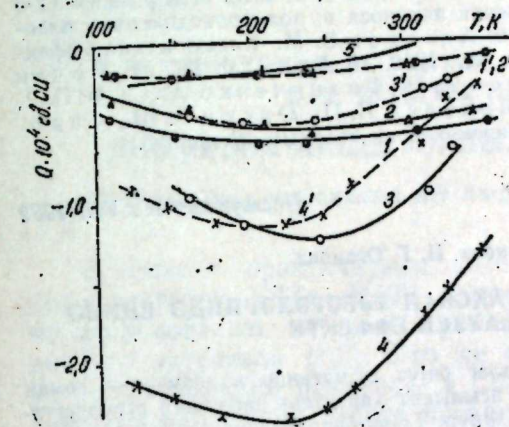


Рис. 2. Зависимость поперечного эффекта Нериста-Эттинггаузена от температуры: кр. 1, 2, 3, 4—экспериментальные данные; 1', 2', 3', 4'—расчетные значения $Q_{\text{фаз.}}^{\perp}$ для образцов 2, 3, 4, 5 соответственно; 5—теоретическая кривая [11].

тся лишь механизмом рассеяния в полупроводнике. Согласно теоретическим представлениям [3], подтвержденным экспериментально [10], неоднородности структуры образца не должны влиять на точность определения $\Delta \alpha_{\infty}$. Для образцов 2 и 3 изменение термоэдс в сильном магнитном поле определялось графическим методом, согласно формуле

$$\Delta \alpha = \Delta \alpha_{\infty} \frac{(\mu B)^2}{1 + (\mu B)^2}$$

Параметр рассеяния для них оценивался из выражения [9]

$$\Delta \alpha_{\infty} = \frac{k_0}{e} \frac{\pi^2}{3} \left(\frac{k_0 T}{\zeta} \right) \left(r - \frac{1}{2} - \gamma \right),$$

где k_0 —постоянная Больцмана, e —заряд электрона, $\frac{k_0 T}{\zeta}$ —приведенный параметр, зависящий от граничной энергии Ферми ζ , γ —параметр не параболичности.

Для интервала температур 100—200 К r составил 1,35—1,37. Сравнение этих значений с эффективными параметрами рассеяния для объемных кристаллов антимонида индия [12] говорит о преобладании в пленках ионного рассеяния, обусловленного дефектностью их структуры.

Таким образом, на поперечный эффект Н-Э в эпитаксиальных пленках InSb влияют неоднородности, которые обусловливают как возникновение вихревых токов в них, так и дополнительный механизм рассеяния носителей заряда.

Авторы выражают благодарность В. Т. Игуменову за предоставленные образцы.

Литература

1. Алиев М. И., Даибов А. З., Оганова И. Г. ДАН Азерб. ССР, № 2, 18, 1982. 2. Herring C. J. Appl. Phys., 31, 11, 1939, 1961. 3. Кудинов В. А., Мойжес Б. Я. ФТП, 7, 8, 2309, 1965. 4. Агаев Я., Мосанов О., Исмаилов О. ФТП, 1, 8, 1169, 1967. 5. Агаев Я., Мосанов О., Исмаилов О. ФТП, 1, 6, 855, 1967. 6. Агаев Я., Мосанов О., Исмаилов О., Егениазаров Е. Изв. АН Туркм. ССР, серия. физ.-техн., хим. и геол. наук, № 5, 17, 1975. 7. Агаев Я., Мосанов О., Исмаилов О., Егениазаров Е. Изв. АН Туркм. ССР, серия. физ.-техн., хим. и геол. наук, № 1, 3, 1976. 8. Кравченко А. Ф., Митин В. В., Сок Э. М. Явления переноса в полупроводниковых пленках. Изд-во "Наука", Новосибирск, 1979. 9. Аскеров Б. М. Кинетические эффекты в полупроводниках. Изд-во "Наука". Л., 1970. 10. Дричко И. Л., Мочан И. В. ФТП, 7, 11, 3260, 1965. 11. Наследов Д. Н., Филиппенко А. С., ФТП, 1, 2, 221, 1967. 12. Емельяненко О. В., Молодян И. П., Овсяк З. Ш., Сидоров В. Г. В сб.: "Полупроводниковые соединения и их твердые растворы". Изд-во "Штицца", Кишинев, 81, 1970.

Институт физики

Поступило 31. VIII 1982

М. И. Элиев, А. З. Даивов, И. Г. Оганова

ИНДИУМ АНТИМОНИДИНИН ЕПИТАКСИАЛ ТӘБӘГӘЛӘРИНДӘ ЕНИНӘ НЕРНСТ—ЕТТИНГЕНАУЗЕН ЕФФЕКТИ

Нернст—Еттингенгаузен еффектинин мұтлғыл бејук гијметинин ва һәмчинин һәмин еффектин температур вә магнит саһәснәндән асылылық характеристи тәбәгәнин гурулушундақы гејри-бирчиңислиji тә'сири илә изән олунар. Гејри-бирчиңисликләри тә'сири мүәжіјән едилмиш вә көстәрілмишdir ки, Нернст—Еттингенгаузен әмсалынын гијметләри нәзәријә илә уйғундур.

M. I. Aliev, A. Z. Daibov, I. G. Oganova

THE TRANSVERSE NERNST—ETTINGSHAUSEN EFFECT IN EPITAXIAL FILMS OF INDIUM ANTIMONIDE

It is assumed that the high absolute value as well as the nature of the dependence of the transverse Nernst—Ettingshausen (N—E) effect on the temperature and magnetic field are associated with the effect exerted on it by the inhomogeneities of the film structures. The contribution of inhomogeneities is singled out, and it is shown that the values obtained for the N—E effect are close to the theoretical values.

АЗӘРБАЙЧАН ССР ЕЛМЛӘР АКАДЕМИЈАСЫНЫН МӘРҮЗӘЛӘРИ

ДОКЛАДЫ АКАДЕМИИ НАУК АЗЕРБАЙДЖАНСКОЙ ССР

ТОМ XL ЧИЛД

№ 2

1984

УДК 621.315.592

ФИЗИКА ПОЛУПРОВОДНИКОВ

А. В. ГОРШКОВ, Ф. А. ЗАИТОВ, Ф. К. ИСАЕВ, Г. М. ШАЛЯПИНА,
С. Б. ШАНГИН, И. С. АСАТУРОВА

ДИФФУЗИЯ АКЦЕПТОРНЫХ ПРИМЕСЕЙ В $Cd_{0.2}Hg_{0.8}Te$

(Представлено академиком АН Азербайджанской ССР Э. Ю. Салаевым)

В связи с практическим интересом к полупроводниковому твердому раствору CdTe—HgTe в последнее время появился ряд работ по исследованию влияния примесей на электрофизические свойства данного материала [1,2]. В то же время литературные данные о параметрах диффузии примесей в $Cd_xHg_{1-x}Te$ крайне немногочисленны. Поэтому настоящая работа посвящена изучению процессов диффузии меди, серебра, золота в монокристаллических образцах $Cd_{0.2}Hg_{0.8}Te$.

С этой целью методом радиоактивных индикаторов исследованы зависимости коэффициентов диффузии и поверхностной концентрации примесей от давления пара ртути и температуры. Методика подготовки образцов, проведения преддиффузионного отжига, необходимого для получения равновесной структуры точечных дефектов, и диффузионного отжига подробно описана в [3]. Продолжительность преддиффузионного отжига составляла 100 ч, диффузионного изменялась от 3 до 45 ч. Диффузионными источниками являлись напыленные на поверхность образцов радиоактивные изотопы меди ^{64}Cu , серебра ^{110}Ag , золота ^{198}Au , для регистрации излучения которых использовался счетчик с кристаллом NaJ. Концентрационный профиль распределения примесей определялся методом последовательного снятия слоев, концентрация примесей—эталонным методом. Однородность распределения диффузантов контролировалась послойной авторадиографией. Коэффициенты диффузии примесей рассчитывались методом линеаризации egf -функции.

Обнаружено, что концентрационный профиль распределения примесей может быть экстраполирован двумя egf -функциями, что указывает на диффузионный перенос с быстрой и медленной составляющими. Впервые этот эффект, применительно к системе $Cd_{0.2}Hg_{0.8}Te—Ag$, наблюдался в работах [4,5]. Послойная авторадиография, как правило, показывала однородное распределение изотопов меди, серебра, золота в образцах $Cd_{0.2}Hg_{0.8}Te$. Зависимости коэффициентов быстрой диффузии примесей от продолжительности отжига, характерной для диффузии по дислокациям [6], в эксперименте не наблюдалось. В связи с этим можно предположить, что быстрая и медленная диффузия примесей обусловлены действием различных механизмов миграции с участием точечных дефектов. Аналогичное явление наблюдалось при самодиффузии ртути в $Cd_{0.2}Hg_{0.8}Te$ [6] и при диффузии индия в $Cd_{0.2}Hg_{0.8}Te$ [4].

Зависимости коэффициентов диффузии и поверхностных концентраций, соответствующих быстрой (D^b , N^b) и медленной (D^m , N^m) составляющим диффузионного потока от температуры при максимальном давлении пара ртути представлены в таблице. Поверхностная концентрация меди не зависит от температуры и равняется $(4 \pm 1) \cdot 10^{24} \text{ м}^{-3}$, $(5,5 \pm 2,0) \cdot 10^{25} \text{ м}^{-3}$ для быстрой и медленной диффузии, соответственно.

Зависимость коэффициентов диффузии и поверхностной концентрации примесей от температуры при максимальном давлении пара ртути:

$$D = D_0 \exp\left(-\frac{E}{kT}\right); N = N_0 \exp\left(-\frac{H}{kT}\right).$$

Примесь	Температурный интервал, °C	D_0 , $\text{м}^2\text{с}^{-1}$	E , эВ	N_0 , м^{-3}	H , эВ
Золото	$200-400$	$2,5 \cdot 10^{-12}$	0,45	$2,4 \cdot 10^{27}$	0,30
		$1,0 \cdot 10^{-5}$	0,72	$1,0 \cdot 10^{25}$	0,25
Серебро	$200-450$	$1,1 \cdot 10^{-11}$	0,45	$7,7 \cdot 10^{26}$	0,20
		$3,1 \cdot 10^{-5}$	0,75	$1,7 \cdot 10^{25}$	0,15
Медь	$250-400$	$1,1 \cdot 10^{-10}$	0,55		
		$9,1 \cdot 10^{-6}$	0,70		

Зависимости коэффициентов диффузии и поверхностных концентраций серебра и золота от давления пара ртути при $T = 300^\circ\text{C}$ представлены на рис. 1, 2, соответственно. По мере уменьшения давления

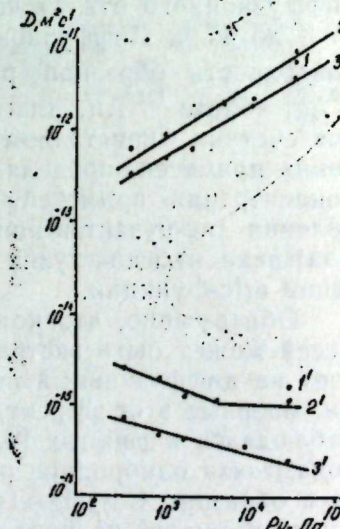


Рис. 1. Зависимость коэффициентов диффузии меди (1, 1'), серебра (2, 2'), золота (3, 3') от давления пара ртути при $T = 300^\circ\text{C}$ (1, 12, 3—быстрая диффузия; 1', 2', 3'—медленная диффузия).

пара ртути коэффициенты медленной диффузии золота и серебра имеют тенденцию к возрастанию, а коэффициенты быстрой диффузии при этом достаточно резко уменьшаются $D^b \sim P_{\text{Hg}}^\gamma$ ($\gamma = 0,55 \div 0,65$) (рис. 1). Поверхностная концентрация исследованных примесей при уменьшении давления пара растет $N^m \sim P_{\text{Hg}}^\alpha$ ($\alpha = -0,2 \div -$

$-0,3$) (рис. 2). Сопоставление значений поверхностных концентраций исследованных примесей (рис. 2) свидетельствует об уменьшении величины N в ряду медь—серебро—золото. Особенно сильно этот эффект проявляется для быстрой составляющей диффузионного потока. Так, например, при $T = 300^\circ\text{C}$ $N_{\text{Cu}}^b = 3 \cdot 10^{24} \text{ м}^{-3}$, $N_{\text{Ag}}^b = 9 \cdot 10^{23} \text{ м}^{-3}$, $N_{\text{Au}}^b = 6 \cdot 10^{22} \text{ м}^{-3}$ (рис. 2). В то же время значения коэффициентов быстрой диффузии данных примесей очень близки (рис. 1).

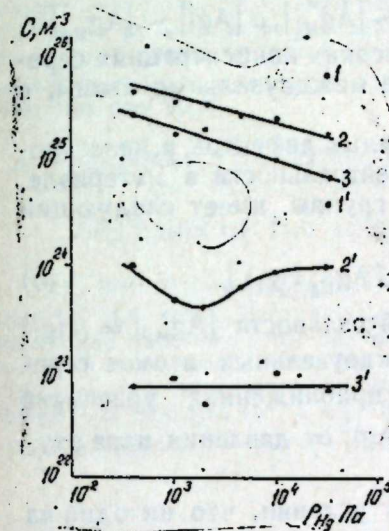
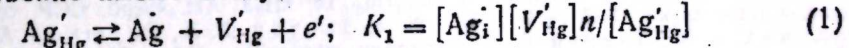
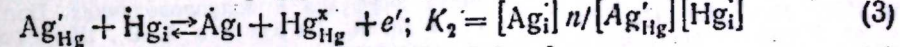


Рис. 2. Зависимость поверхностной концентрации меди (1, 1'), серебра (2, 2'), золота (3, 3') от давления пара ртути при $T = 300^\circ\text{C}$ (1, 2, 3—медленная диффузия, 1', 2', 3'—быстрая диффузия).

Для идентификации механизмов миграции примесей необходимо сравнить найденные в работе значения энергии активации диффузии с энергией активации самодиффузии по междоузельному (E_i) и вакансационному (E_v) механизмам миграции, а также сопоставить зависимости от давления пара ртути коэффициентов диффузии примесей и дефектов, участвующих в диффузионном переносе. Согласно данным работы [7], величина E_i равна $0,3 \div 0,5$ эВ, а $E_v = 1,4$ эВ. Величины энергии активации медленной диффузии меди, серебра, золота близки к значению E_i . Однако мы считаем, что эти примеси являются примесями замещения, вследствие чего прямой междоузельный механизм в данном случае невозможен. Поэтому представляется целесообразным рассмотреть диссоциативный и "эстафетный" механизмы миграции, при которых основной вклад в растворимость дают узельные, а в диффузию—междоузельные атомы примеси. Применительно к серебру квазихимические реакции, описывающие данные механизмы, соответственно имеют следующий вид:



$$[\text{Ag}_i] = K_1 [\text{Ag}'_{\text{Hg}}] / [V_{\text{Hg}}] n \quad (2)$$



$$[\text{Ag}_i] = K_2 [\text{Ag}'_{\text{Hg}}] [\text{Hg}_i] / n \quad (4)$$

Поскольку $[\text{Hg}_i][V_{\text{Hg}}] = K_F'$ (где K_F' —константа Френкеля), то из уравнений (2, 4) следует, что для обоих механизмов миграции зависимости

концентрации междуузельных атомов примеси, определяющих диффузионный перенос, от давления пара ртути, полностью идентичны. Поэтому на основании анализа зависимости $D(P_{Hg})$ различить указанные механизмы миграции не представляется возможным.

При записи уравнений (1,3) предполагалось, что междуузельные атомы серебра не являются нейтральными Ag_i^0 , а имеют положительный заряд Ag_i^+ . Это обусловлено более резкой концентрационной зависимостью Ag_i^+ по сравнению с Ag_i^0 . (Например, при уравнении электронейтральности $[Ag'_{Hg}] = [Hg_i] - [Ag_i^0] \sim [Ag'_{Hg}]$, а $[Ag_i^0] \sim [Ag'_{Hg}]^3$). Поэтому можно предположить, что при высоких концентрациях серебра преобладающими являются заряженные междуузельные атомы, а при низких — нейтральные.

Согласно данным о концентрации точечных дефектов в нелегированном $Cd_{0.2}Hg_{0.8}Te$ [7] уравнение электронейтральности в материале, легированном акцепторными примесями 1 группы, имеет следующий вид:

$$[Ag'_{Hg}] = [Hg_i] + 2[Hg_i^-] = [(Ag_{Hg} Hg_i)^+]. \quad (5)$$

При приближенном уравнении электронейтральности $[Ag'_{Hg}] = [Hg_i]$ концентрация однократно заряженных междуузельных атомов серебра пропорциональна P_{Hg}^{-1} , при остальных приближениях уравнений ($[Ag'_{Hg}] = 2[Hg_i^-]$; $[Ag'_{Hg}] = [(Ag_{Hg} Hg_i)^+]$) $[Ag_i^0]$ от давления пара ртути не зависит.

Точный вид зависимости $[Ag_i^0](P_{Hg})$ при условии, что ни один из членов уравнения 5 не является преобладающим, установить невозможно. Однако величина $[Ag_i^0]$ будет при этом возрастать с уменьшением давления пара ртути, что соответствует экспериментально наблюдаемой зависимости (рис. 1).

Таким образом, наблюдаемые в эксперименте зависимости коэффициентов медленной диффузии меди, серебра, золота от давления пар-рутти и температуры могут быть объяснены с позиции диссоциативного или эстафетного механизмов миграции.

Литература

- Johnson S., Schmidt J. L. Doping Properties of Selected Impurities in $Hg_{1-x} Cd_x Te$. J. Electr. Mater., 1977, v. 6, № 1, p. 23. 2. Саррет Р. The Behaviour of Selected Impurities in $Cd_x Hg_{1-x} Te$. J. Cryst. Growth, 1982, v. 57, № 2, p. 280.
- Зайтов Ф. А., Горшков А. В., Шаляпина Г. М. Самодиффузия ртути и структура дефектов в теллуриде ртути. ФТТ, 1978, т. 20, № 6, с. 1601. 4. Горшков А. В., Зайтов Ф. А., Исаев Ф. К., Шаляпина Г. М. Двухточечный механизм миграции индия и серебра в $Cd_{0.2}Hg_{0.8}Te$. «Изв. АН Азерб. ССР, серия физ. мат. и техн. наук», 1982, № 6, с. 97—99. 5. Зайтов Ф. А., Горшков А. В., Шаляпина Г. М., Шанги С. Б. Диффузия серебра в $Cd_{0.2}Hg_{0.8}Te$. Тез. докл. V Всесоюзн. конф. по физ.-хим. основам легирования полупроводниковых материалов. Металлургия, М., 1982, с. 85. 6. Атомная диффузия в полупроводниках. Под. ред. Б. Шоу. Мир. М., 1975, 684. 7. Зайтов Ф. А., Горшков А. В., Шаляпина Г. М. Модель дефектной структуры полупроводникового твердого раствора CdTe — HgTe. ФТТ, 1979, т. 21, с. 192.

АМИ им. Н. Нариманова

Поступило 29. IX 1983

А. В. Горшков, Ф. А. Зайтов, Ф. К. Исаев, Г. М. Шаляпина,
С. Б. Шанкин, И. С. Асатурова

$Cd_{0.2}Hg_{0.8}Te$ ІАРЫМКЕЧИРИЧИСИНДЭ АКСЕПТОР АШГАРЛАРЫНЫН ДИФФУЗИЯСЫ

Мөгаләдә мис, күмүш вә гызыл ашгарларынын $Cd_{0.2}Hg_{0.8}Te$ монокристаллик нүмәнәләрнән диффузияси профиле иккеге-функциясы илә тәсвир едиләр ки, бу да диффузијаның сүр'әгли вә тәдричән баш берән иессәләрдән ибәрәт олдугуны көстәрәр. Ишдә диффузия вә ашгарларын сөткө концентрацијасынын чиә бухарынын тәэзигинең вә температурдан асылылыгы алымыншыдыр. Сүбүт едилмиши диффузијасы йөрләнишмәнни (миграцијаның диссоциатив вә яхуд естафет механизм ләри үзәре баш иерир.

A. V. Gorshkov, F. A. Zaitov, F. K. Isayev, G. M. Shalyapina, S. B. Shangin,
I. S. Asaturova

DIFFUSION OF THE ACCEPTOR ADMIXTURES IN $Cd_{0.2}Hg_{0.8}Te$

The diffusion of copper, silver and gold in $Cd_{0.2}Hg_{0.8}Te$ single crystals is studied by the radioactive indicator method. The concentration profile of admixture distribution is described by use of two erfc-functions. It shows the diffusion with rapid and slow components. The dependences of diffusion coefficients and surface admixture concentrations upon the mercury vapour pressure and temperature are obtained. It is shown that a slow diffusion of copper, silver and gold in $Cd_{0.2}Hg_{0.8}Te$ occurs with the dissociative or relay-race mechanism of migration.

НЕФТЕПРОМЫСЛОВАЯ МЕХАНИКА

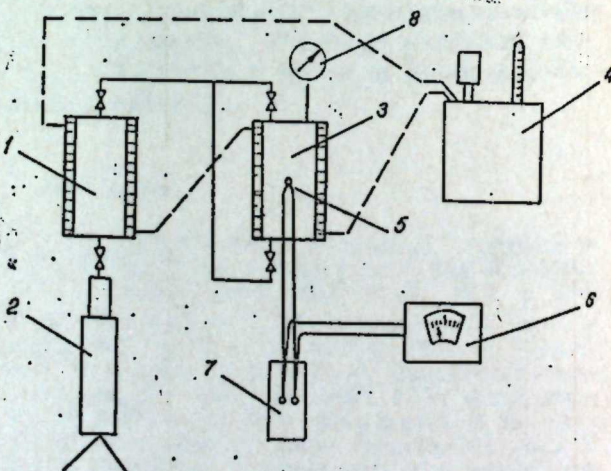
Ф. Г. ВЕЛИЕВ

ЭКСПЕРИМЕНТАЛЬНОЕ ИССЛЕДОВАНИЕ КИНЕТИКИ
ФАЗОВОГО ПЕРЕХОДА*

(Представлено академиком АН Азербайджанской ССР А. Х. Мирзаджанзаде)

Исходя из кинетической теории фазовых превращений и модели гетерофазных флюктуаций Я. И. Френкеля [1], еще до начала фазового перехода $a \rightarrow b$, фаза a уже содержит зародыши фазы b в виде пузырьков пара или капелек жидкости и т. д. Обнаружение этих зародышей и следовательно доказательство возможности гетерофазных флюктуаций в термодинамически устойчивой фазе в непосредственной близости от точки перехода связано с определенными экспериментальными трудностями ввиду относительно малого количества образующихся зародышевых центров. Однако по Я. И. Френкелю, возникновение зародышей новой фазы в пределах существующей, вблизи критической точки перехода можно доказать и косвенным путем, на основе так называемых "предпереходных" явлений. Так, в непосредственной близости от критической точки, по мере приближения к ней возможно аномальное увеличение теплоемкости и коэффициента термического расширения.

Рис. 1. Схема экспериментальной установки.



Проведена экспериментальная работа по обнаружению "предпереходных" явлений в газожидкостных системах вблизи критической точки, соответствующей давлению насыщения.

* Работа выполнена под руководством А. Х. Мирзаджанзаде.

Основные элементы экспериментальной установки показаны на рис. 1, где, 1—бомба РВТ, 2—система ручного и автоматических гидравлических прессов, 3—контейнер для исследуемой системы, 4—термостат типа СЖМЛ-16/2,5, 5—термодатчик системы хромель—копель, 6—потенциометр типа Р-361/1 с классом точности 0,001, состоящего из фотоэлектрического усилителя, автокомпенсатора и стабилизатора напряжения; 7—образцовый манометр с классом точности 0,2. Температура холодных спаев поддерживалась постоянной (0°C), для чего места спая погружались в пробирки с маслом, которые в свою очередь помещались в сосуд Дьюара [8] с тающим льдом.

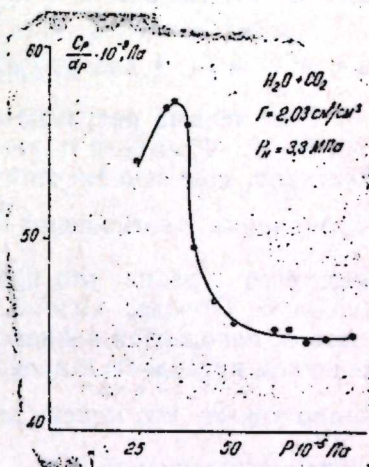


Рис. 2. Зависимость отношения удельной изобарной теплоемкости и коэффициента термического расширения от давления для газожидкостной системы вода+углекислый газ.

По известной методике производилась комбинированная газожидкостных систем с различными значениями давления насыщения P_n . Были рассмотрены системы нефть+природный газ и вода+углекислый газ.

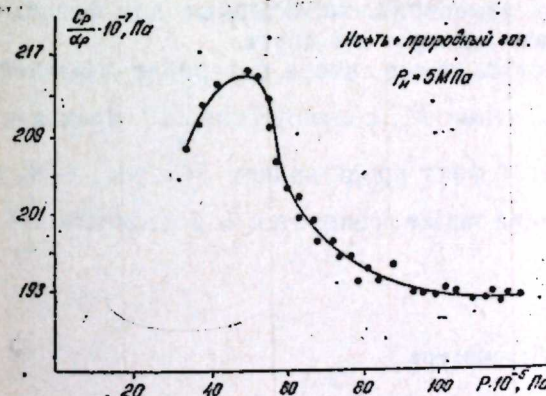


Рис. 3. Зависимость отношения удельной изобарной теплоемкости и коэффициента термического расширения от давления для газожидкостной системы нефть+природный газ.

Начиная с некоторого значения давления P (намного выше P_n) производился быстрый ступенчатый спуск давления ΔP (шаг ΔP —не более 0,5 МПа), в темпе обеспечивающего аднабатичность процесса [2] и при этом измерялось соответствующее изменение температуры $T - T_0$.

Для обратимых адиабатических процессов известно следующее термодинамическое соотношение [3]:

$$\alpha T = T \frac{\alpha_p}{C_p} dP, \quad (1)$$

где $\alpha_p = \frac{1}{V} \left(\frac{\partial V}{\partial T} \right)_p$ — коэффициент теплового расширения; C_p — удельная объемная изобарная теплоемкость.

Зная dP и dT , исходя из выражения (1), определялось соотношение $\frac{C_p}{\alpha_p}$. На рис. 2, 3 приводятся полученные характерные зависимости $\frac{C_p}{\alpha_p} = f(P)$ для рассмотренных газожидкостных систем.

Полученные результаты согласуются с основными выводами теории Я. И. Френкеля о гетерофазных флуктуациях. Как видно из рисунков, еще при значениях давления, существенно превышающих P_n значение соотношения $\frac{C_p}{\alpha_p}$ начинает возрастать, причем до определенного уровня это происходит по кривой, близкой к экспоненциальному. Отсюда, видимо, можно предположить, что распределение газовых зародышей в жидкой фазе в зависимости от давления в определенном интервале P происходит согласно распределению Больцмана. Видно также, что максимальное значение $\frac{C_p}{\alpha_p}$ соответствует значению давления насыщения P_n .

Очевидно, что в полученных фазовых переходах, наряду с изменением плотности, которое характерно для фазового перехода I рода, происходит также изменение C_p , α_p , что соответствует фазовому переходу II рода. Это говорит о том, что в гетерогенных, многокомпонентных системах, в отличие от моноуглеводородов, возможны переходные процессы, при которых изменения, характерные для фазовых переходов I и II рода накладываются друг на друга.

Из рис. 2, 3 нетрудно заметить также, что в интервале давлений, существенно превышающих значения P_n , соотношение $\frac{C_p}{\alpha_p}$ практически остается постоянными. Этот факт представляет интерес, т. к. в известном законе Э. Грюнайзена также говорится о постоянстве $\frac{C_p}{\alpha_p}$, но только для металлов.

Литература

1. Френкель Я. И. Кинетическая теория жидкостей, 592, „Наука“, Л., 1975.
2. Велиев Ф. Г., Ибишов Б. Г. „ДАН Азер. ССР“, т. XXXVI, 11, 31, 1980. 3. Базаров И. П. Термодинамика, 447, М., 1976.

Ф. Г. Велиев

ФАЗА КЕЧИДИ КИНЕТИКАСЫНЫН ЕКСПЕРИМЕНТАЛ ТӘДГИГИ

Тәчүрүби оларaq мүөйжөн едилмишdir ки, газ-маје системаларинде тәзигини гијмати дојма тәзигине жаһынлашдыгча хүсуси изобар истилик тутумунун термик кенишләнмә эмсалына иисбәти тәдричән артыр вә дојма тәзигинде максимум гијмате чатыр.

F. G. Veliev

THE EXPERIMENTAL STUDY OF THE KINETICS OF THE PHASE CONVERSION

The work adduces the results of experimental studies of the specific heat at constant pressure-thermal expansion coefficient ratio $\frac{C_p}{\alpha_p}$ dependence of pressure, for the gas-liquid mixture, near the maximum vapour pressure.

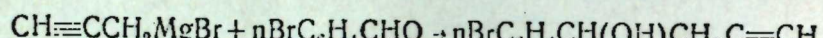
ХАБИБ РАХМАН ТУХИ, С. Ф. КАРАЕВ, Ш. О. ГУСЕЙНОВ, чл.-корр.
М. М. МОВСУМЗАДЕ

1-*n*-БРОМФЕНИЛ-3-БУТИН-1-ОЛ И ЕГО ПРОИЗВОДНЫЕ

Спирты, содержащие ацетиленовую связь в β -положении к гидроксильной группе и их некоторые производные нередко обнаруживают широкий спектр фармакологической активности [1–5]. Поэтому поиск и нахождение путей получения, а также изучение химического поведения неизвестных ранее терминальных β -ацетиленовых спиртов является необходимым этапом направленного синтеза веществ с регулируемыми полезными свойствами.

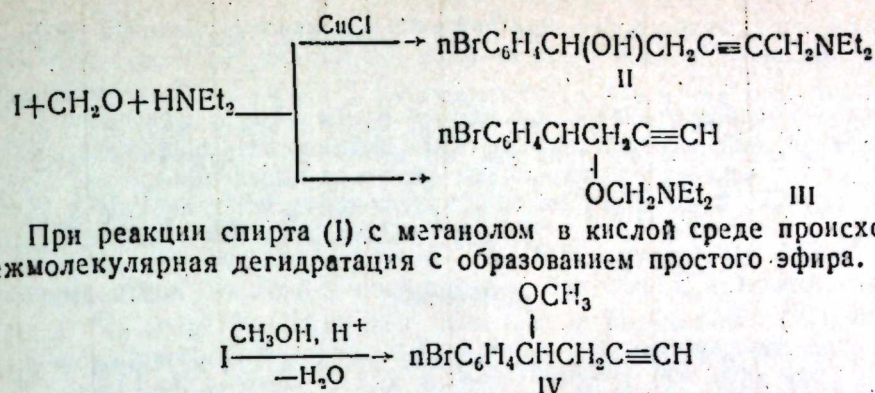
В настоящем сообщении приводятся результаты синтеза и превращений 1-*n*-бромфенил-3-бутина-1-ола (I).

Спирт (I) получен с выходом 46 % взаимодействием реагента Гриньяра из пропаргилбромида с *n*-бромбензальдегидом в сухом диэтиловом эфире.

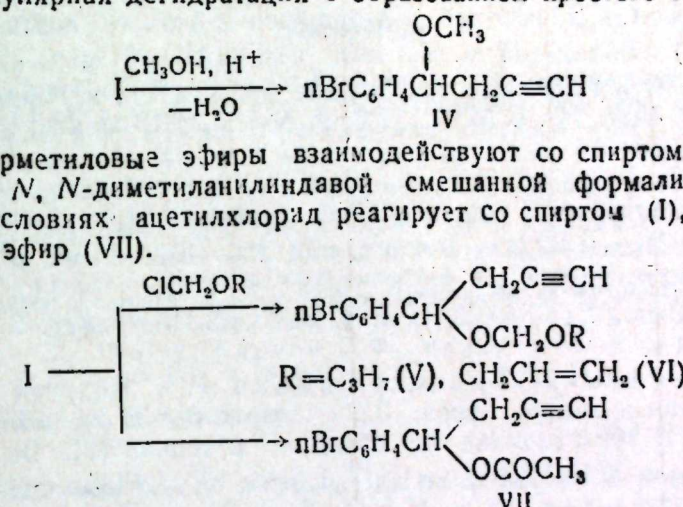


Строение синтезированного соединения доказано спектральными данными и подтверждено элементным анализом. В ИК-спектре спирта (I) имеются интенсивные полосы поглощения этинильной (2135 и 3302 см^{-1}) и гидроксильной (3400 – 3520 см^{-1} широкая) групп, а также 1,4-дизамещенного бензольного кольца (3030 , 1586 , 1082 , 1025 , 845 , 1880 см^{-1}). Спектр ПМР соединения (I) состоит из пяти групп сигналов. Триплет с химическим сдвигом при $\delta = 1,8 \text{ м. д.}$ вместе с квартетами при $2,33$ и $4,33 \text{ м. д.}$, в соответствии с имеющимися корреляциями [6], характерен для фрагмента $\text{CH} \equiv \text{CCH}_2\text{CH}$ —вторичных пропаргилкарбинолов. Сигнал гидроксильного протона проявляется в виде четкого сингнела с химическим сдвигом при $3,37 \text{ м. д.}$, а протоны ароматического кольца образуют в спектре мультиплет с центром при $7,0 \text{ м. д.}$ Интегральная интенсивность сигналов протонов (1:2:1:1:4) находится в согласии с выполненным отнесением их.

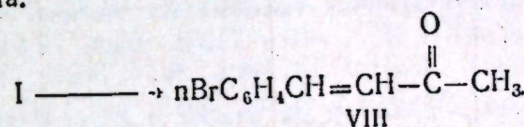
Химическое поведение спирта (I) изучено нами в реакциях замещения ацетиленового и гидроксильного атомов водорода, в также в реакциях присоединения к тройной связи. Установлено, что в растворе диоксана взаимодействие спирта (I) с аминометилирующей „парой“ параформ-диэтанамин протекает с участием ацетиленового атома водорода, в случае проведения реакции в присутствии катализического количества CuCl , и с участием Н-атома гидроксильной группы—в отсутствие катализатора.



При реакции спирта (I) с метанолом в кислой среде происходит межмолекулярная дегидратация с образованием простого эфира.



Гидратация спирта (I) в присутствии окиси ртути и серной кислоты приводит к образованию продукта перегруппировки- α , β -непредельного кетона.



Подобное явление наблюдалось в этих условиях ранее [7], при изучении процесса кислотно-каталитической гидратации аналога спирта (I) 1-*n*-метоксифенил-3-бутина-1-ола. Есть основание [8] предполагать, что такая перегруппировка протекает через альтернативно-последовательные акты дегидратации—гидратации.

ЭКСПЕРИМЕНТАЛЬНАЯ ЧАСТЬ

ИК-спектры веществ в микрослое сняты на спектрометре UR=20. Спектр ПМР 20%-ных растворов соединений в CCl_4 записаны на приборе Варian T-60. Внутренний стандарт—тетраметилсиликан.

1-*n*-Бромфенил-3-бутина-1-ол (I). К охлажденному (0 – 5°C) и перемешиваемому бромистому пропаргилмагнию (полученному из 24 г магния и 119 г пропаргилбромида в 300 мл абсолютного эфира в присутствии следов суплемы) добавляли 130 г *n*-бромбензальдегида. Смесь кипятили 2 ч и разлагали подкисленной водой. После обычной обработки, перегонкой в вакууме выделено 65 г (41 %) вещества (I) с т. кип. 121 – 123° (2 мм) d_4^{20} 1,4282, n_D^{20} 1,5826, M_R 50, 99, выч. 51,85,

найд., %: С 53,04, Н 3,92, Br 35,13. $C_{10}H_9OBr$. Выч., %: С 53,36, Н 4,03, Br 35,50.

1-*p*-бромфенил-4-диэтиламино-3-пенти-1-ол (II). Получен из 9 г спирта (I), 1,8 г параформа, 3,5 г диэтиламина, 0,4 г полихлористой меди и 80 мл диоксана по методу [5]. Выход 6,5 г (52 %), т. кип. 170–172° (2 мм), d_4^{20} 1,3072, n_D^{20} 1,5615, MR_D 76,94, выч. 77,96, найд., %: С 57,97, Н 6,01, Br 4,05. $C_{15}H_{20}OBrN$. Выч., %: С 58,07, Н 6,49, Н 4,51. ИК-спектр: 2240 см⁻¹ (C≡C). Аналогично (в отсутствие катализатора CuCl) получен 4-*p*-бромфенил-5-окса-6-диэтиламино-1-гексин (III). Выход—45 %. Т. кип. 139–141° (2 мм), d_4^{20} 1,3067, n_D^{20} 1,5780, MR_D 78,79, выч. 79,15. Найдено, %: С 57,92, Н 6,04, Н 4,11. $C_{15}H_{20}OBrN$. Выч., %: С 58,07, Н 6,49, Н 4,51. ИК-спектр: 2140, 3305 см⁻¹ (C≡CH).

4-*p*-бромфенил-5-окса-1-гексин (IV). Получен из 5 г спирта (I), 1,3 г метанола и 2 мл 20 %-ного раствора H_2SO_4 в условиях метода [10]. Выход—3,2 г (60 %), т. кип. 120–121° (3 мм), d_4^{20} 1,4034, n_D^{20} 1,5730, MR_D 56,16, выч. 56,76. Найд., %: С 55,02, Н 4,23, Br 33,13; $C_{11}H_{11}OBr$. Выч., %: С 55,23, Н 4,64, Br 33,40. ИК-спектр: 2140, 3310 см⁻¹ (C≡CH).

4-*p*-бромфенил-5,7-диокса-1-декин (V). Получен из 1,68 г α -хлорметилпропилового эфира, 3,5 г спирта (I), 35 мл абсолютного эфира и 1,5 г триэтиламина по обычной методике [9]. Выход—3 г (64 %), т. кип. 124–126° (1 мм), d_4^{20} 1,3185, n_D^{20} 1,5488, MR_D 71,69, выч. 72,49. Найд. %: С 56,28, Н 5,43, Br 26,39. $C_{14}H_{11}O_2Br$. Выч., %: С 56,58, Н 5,76, Br 26,89. ИК-спектр: 2140, 3310 см⁻¹ (C≡CH), 1040–1160 см⁻¹ (C—O—C—O—C). Аналогично получены: 4-*p*-бромфенил-5,7-диокса-9-ен-1-декин (VI). Выход—40 %. Т. кип. 118–120° (3 мм), d_4^{20} 1,3398, n_D^{20} 1,5583, MR_D 71,05. Выч. 72,01. Найд., %: С 56,75, Н 4,96, Br 26,89. $C_{14}H_{15}O_2Br$. Выч., %: С 56,97, Н 5,12, Br 27,07. ИК-спектр: 1650 см⁻¹ (C=C), 2140, 3315 см⁻¹ (C≡CH) 4-*p*-бромфенил-5-окса-6-оксо-1-гептин (VII). Выход—56 %. Т. кип. 122–124° (1 мм), d_4^{20} 1,3907, n_D^{20} 1,5570, MR_D 61,83, выч. 61,38. Найд., %: С 53,66, Н 4,05, Br 29,79. $C_{12}H_{11}O_2Br$. Выч., %: 53,96, Н 4,15, Br 29,91. ИК-спектр: 1740 см⁻¹ (—C—O—).

О

4-*p*-бромфенил-3-бути-2-он (VIII). Получен в условиях метода [7] из 0,65 г красной окиси ртути, 1 мл концентрированной H_2SO_4 , 24 мл воды и 10 г спирта (I). Выход—4,5 г (45 %). Т. кип. 134–136° (2 мм), d_4^{20} 1,4369, n_D^{20} 1,5850, MR_D 52,49, выч. 51,95. Найд., %: С 53,18, Н 3,88, Br 35,20. $C_{10}H_9OBr$. Выч., %: С 53,36, Н 4,03, Br 35,50. ИК-спектр: 1660 и 1628 см⁻¹ (C=C—C=O).

Выводы

1. Взаимодействие пропаргилмагнийбромида с *p*-бромбензальдегидом приводит к образованию неизвестного ранее 1-*p*-бромфенил-3-бутина-1-ола (I).

2. Под влиянием серной кислоты из спирта (I) и метанола в результате межмолекулярной дегидратации образуется простой эфир.

3. В растворе диоксана в присутствии CuCl спирт (I) C_{sp} -амино-метилируется, в отсутствии же соли меди—происходит О-аминометилирование.

4. Реагенты с подвижным атомом хлора (ацетилхлорид, α -хлорэфиры) реагируют со спиртом (I) в присутствии аминов, давая продукты замещения атома водорода гидроксильной группы.

5. В условиях кислотно-кatalитической гидратации спирт (I) перегруппированывается в изомерный α , β -енон.

Литература

1. Schulte K. E., Rücker G. Fortschritte der Arzneimittelforschung. 1970, 14, S. 387. 2. Ehrhart G. E., Ruschig H. Arzneimittel Weinheim Verl. Chemie, 1972, v. 2, S. 87. 3. Карапев С. Ф., Вихляев Ю. Н., Клыгуль Г. А., Шихиев И. А. «Азерб. мед. ж.», 1971, № 5, с. 19. 4. Карапев С. Ф., Вихляев Ю. И., Гусейнов Д. Я. «Азерб. мед. ж.», 1973, № 5, с. 16. 5. Карапев С. Ф., Мовсумзаде М. М., Агамирзоев Н. А. «Азерб. хим. ж.», 1975, № 4, с. 42. 6. Карапев С. Ф. «ДАН Азерб. ССР», 1977, 33, № 4, с. 43. 7. Карапев С. Ф., Мовсумзаде М. М., Агамирзоев Н. А. ЖОРХ, 1975, с. 11, № 3, с. 654. 8. Карапев С. Ф., Сафаров Р. Г. Всесоюз. конф. памяти А. Е. Фаворского «Развитие органического синтеза на основе изучения общих закономерностей и механизмов реакций органической химии». Тез. докл., 1980, с. 3. 9. Поклонова Ю. В. Галоидэфиры. Химия, М.—Л., 1966. 10. Карапев С. Ф., Алиев А. К., Джафаров Д. С., Аскеров М. Э. ЖОРХ, 1982, т. 18, вып. 4, с. 807.

АзИНЕФТЕХИМ им. М. Азизбекова

Поступило 1. VII 1982

Иабиб Рәһман Тухи, С. Ф. Гараев, Ш. Ә. Җүсейнов, М. М. Мөвсүмзадә

1-*p*-БРОМФЕНИЛ-3-БУТИН-1-ОЛ ВӘ ОНЫН ТӨРӘМӘЛӘРИ

Пропаркилмагнезиумбромидлә *p*-бромуензальдегиддин гарыштыглы төсүри, эввэллэр мәлүм олмајан 1-*p*-бромуенил-3-бути-1-олун алымасына кәтириб чыхарыр. Алыныш асетилен спирттиниң реакция мәркәзләринин иштиракы илә бир сырға чөврилмәләр апарылышыдыр.

Habib Rahman Tokhi, S. F. Karaev, Sh. O. Guseinov, M. M. Movsumzadeh

1-*p*-BROMOPHENYL-3-BUTIN-1-OL AND ITS DERIVATIVES

By interacting of propargyl magnesium bromide with *p*-bromobenzaldehyde, 1-*p*-bromophenyl-3-butin-1-ol, previously unknown, was obtained. Some conversions involving the reactive centres of this acetyl alcohol were conducted.

УДК 553. 66 (479.24)

П. С. ГАВРИЛЮК, А. А. МАГРИБИ, А. М. АГАКИШИЕВ

О СЕЛЕНО- И ТЕЛЛУРОНОСНОСТИ ХАЛЬКОПИРИТА В МЕДНЫХ РУДАХ КЫЗЫЛБУЛАГСКОГО МЕСТОРОЖДЕНИЯ (МАЛЫЙ КАВКАЗ)

(Представлено академиком АН Азербайджанской ССР Г. Б. Абдуллаевым)

Широкое внедрение редких элементов в современную технику как в индивидуальном виде, так и в сочетании с другими элементами ставит принципиально новые задачи перед геологическими исследованиями в связи с необходимостью изучения закономерностей образования и распределения этих элементов с целью поисков их новых источников.

Промышленно важными элементами, практическое применение которых постоянно расширяется, являются селен и теллур, получившие особенно широкое применение в полупроводниковой электронике. Исследования азербайджанских ученых, возглавляемых Г. Б. Абдуллаевым, совместно с другими научными центрами СССР, позволили выявить уникальные особенности селенового полупроводника и широкие возможности применения селена в ряде других областей науки и техники, в частности в биологии и медицине [1].

Характерным для селена и теллура является нахождение их преимущественно в виде изоморфной примеси в сульфидных минералах различных типов месторождений, которые служат одним из основных источников получения этих элементов. Значительное распространение имеют месторождения сульфидных руд в пределах азербайджанской части Малого Кавказа, однако степень изученности селено- и теллуроносности этих, в общем довольно детально изученных месторождений, далеко не достаточная. В результате прежних исследований были получены данные о наличии селена и теллура в рудах и минералах отдельных месторождений [4, 7, 8, 12, 13]. Наиболее детально вопросы геохимии этих элементов затронуты в серноколчеданных месторождениях северо-восточной части Малого Кавказа в работах Г. Х. Эффendiева и др. [12, 13], в которых рассматривается распределение селена и теллура в зависимости от последовательности минералообразования.

При минералого-геохимических исследованиях некоторых сульфидных месторождений и рудопроявлений Сомхито-Агдамской и Севано-Карабахской структурно-формационных зон нами впервые установлено аномально высокое содержание селена в халькопирите из медных руд Кызылбулагского месторождения, которое на современной стадии изученности является как по масштабам, так и по качественной характеристике наиболее интересным среди других меднорудных проявлений Малого Кавказа.

Структурное положение месторождения определяется приуроченностью его к северо-западной части Мартунинского синклиниория в системе Севано-Карабахской структурно-формационной зоны. Рудовмещаю-

щими породами являются верхнебайосские лавово-пирокластические образования липарит-дацитового и дацитового состава, прорванные дайками андезито-базальтов. Оруденение контролируется разломом меридионального направления, ограничивающим его с запада, и приурочено к блоку сильно раздробленных пород.

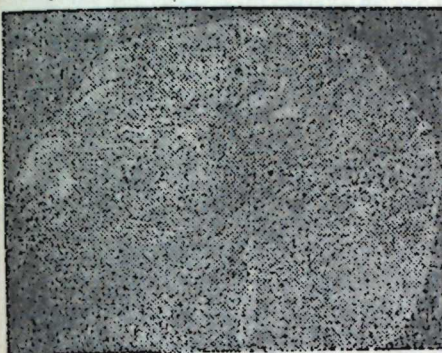


Рис. 1. Медноколчеданная руда вкрапленного типа с прожилком кварца (темно-серое) и гнездами кальцита (белое). Полированный штук 1605. Натуральная величина.

Рудные залежи месторождения представлены неправильными по форме телами и сравнительно мелкими линзами, не имеющими резких границ с боковыми породами. Наблюдается обычно постепенный переход от рудных тел к слабоминерализованным породам. Оруденение представлено преимущественно вкрапленной и прожилково-вкрапленной минерализацией, характеризующейся неравномерным распределением руд-

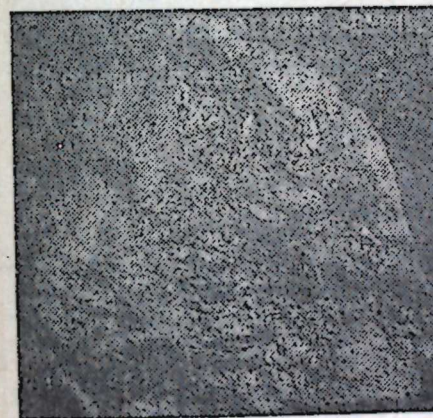


Рис. 2. Прожилково-гнездообразные скопления медноколчеданной руды (светло-серое). Штук 321. Натуральная величина.

ных минералов во вмещающих породах (рис. 1). Значительное развитие имеют гнездообразные скопления руд, возникающие в местах раздувов трещин или в узлах пересечения прожилков различного направления (рис. 2). Встречаются участки брекчированного кварцита, скементированного скоплениями сульфидов.

Руды месторождения являются существенно медно-колчеданного состава. Минералогические исследования позволяют выделить четыре основные парагенетические минеральные ассоциации (в порядке последовательности их отложения): 1) кварц-пиритовую, 2) кварц-пирит-халькопиритовую, 3) кварц-сфалерит-галенитовую, 4) кварц-карбонатную. Основной продуктивной минеральной ассоциацией является вторая кварц-пирит-халькопиритовая стадия. Рудные минералы составляют до

70—75% от общего объема руды. Превалирующим в составе руд является халькопирит, составляющий основу рудной массы. Содержание его по данным подсчета площадей отдельных минералов под микроскопом колеблется от 5—10 до 70—75%, составляя в среднем 28,9%. Среди халькопирита неравномерно распределены сфалерит, галенит, блеклая руда, борнит.

Пробы для исследований отбирались по подземным горным выработкам на двух горизонтах и буровым скважинам пунктиро-бороздовым способом. Определение селена и теллура проводилось в ИМГРЭ МГ СССР, АН СССР флуориметрическим методом с 2,3-диаминонафталином.

Полученные результаты показывают, что селен и теллур рассеяны во всех рудообразующих минералах этого месторождения, однако концентрации их изменчивы для минералов различных стадий рудообразования. Геохимической особенностью Кызылбулагского месторождения является сравнительно высокая концентрация селена в халькопирите продуктивной кварц-пирит-халькопиритовой стадии и резкое преобладание его над теллуром. Результаты анализов 32 мономинеральных проб халькопирита выявили содержание в нем селена в пределах от 50 до 360 г/т. При этом резко преобладают пробы (72% от общего их количества) с содержанием в них селена от 125 до 360 г/т. Среднее содержание селена в халькопирите Кызылбулагского месторождения составляет 172 г/т. Содержание в нем теллура колеблется от 7 до 60 г/т, преобладают пробы (78% от общего их количества) с содержанием теллура 5—25 г/т. Среднее содержание теллура составляет 21 г/т, отношение Se/Te колеблется в пределах 3—16.

На графике зависимости содержания селена и теллура (рис. 3) фигуративные точки халькопирита образуют зону, вытянутую в направле-

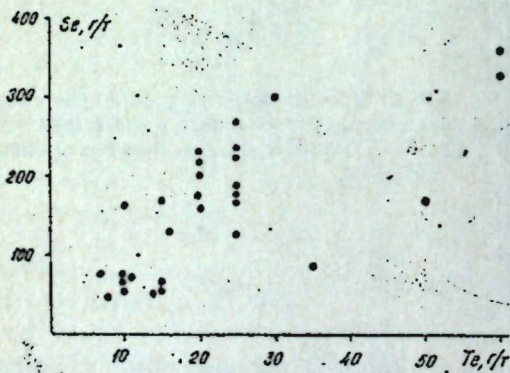


Рис. 3. Зависимость содержания селена и теллура в халькопирите Кызылбулагского месторождения.

нии увеличения селена. На рис. 4 показано изменение содержания этих элементов в халькопирите по простиранию рудного тела на горизонте штольни № 4.

Анализ литературных данных показывает, что кларки селена и теллура в земной коре в настоящее время не являются твердо установленными. Оценки же средних содержаний селена в халькопирите месторождений различных типов в литературе до последнего времени отсутствуют или же по отдельным регионам не вполне надежны, что обусловлено недостаточным количеством анализов. По сравнению с кларковыми значениями селена и теллура в земной коре, по А. П. Виноградову [2], пределы

концентраций этих элементов в халькопирите Кызылбулагского месторождения составляют соответственно 1 000—7 200 и 5 000—60 000.

Сопоставление результатов наших исследований с литературными данными по распределению селена и теллура в халькопирите медно-колчеданных месторождений других районов СССР показывает, что по содержанию селена они не выходят за рамки средних содержаний этого элемента в халькопирите большинства медно-колчеданных месторождений Урала, Закавказья, Северного Кавказа и Болгарии [6, 10], а по содержанию теллура близко стоят к месторождениям Закавказья и Северного Кавказа [6].

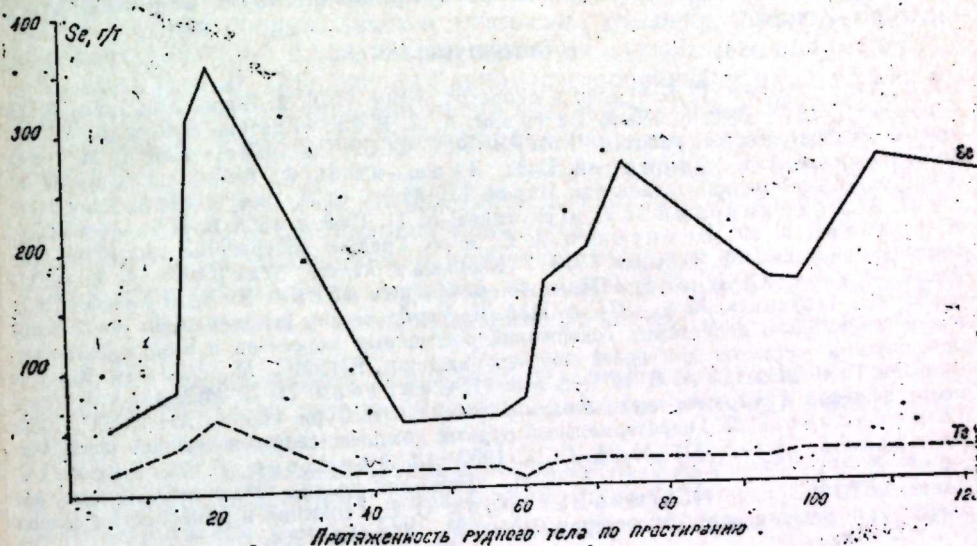


Рис. 4. Распределение содержания селена и теллура в халькопирите рудного тела на горизонте штольни № 4.

По сравнению с методическими рекомендациями по минимально допустимым содержаниям рассеянных элементов в комплексных рудах цветных металлов Министерства геологии СССР [9] минимально технологически допустимые содержания в халькопирите медного производства для Кавказа составляют: селена — 4,6 г/т, теллура — 2,7 г/т, что ниже средних содержаний этих элементов в халькопирите медных руд Кызылбулагского месторождения соответственно в 37,4 и 4,7 раза.

Полученные данные о содержании селена и теллура в халькопирите и увязка их с геологическим положением изученных образцов позволяют сделать вывод, что обогащенность медных руд Кызылбулагского месторождения, особенно селеном, связана не только с общностью кристаллохимических свойств селена, теллура и их аналога — серы [11], но и с общегеологическими особенностями формирования этого месторождения. Важным фактором, оказывающим влияние на поведение селена и теллура в гидротермальном процессе, как показывают имеющиеся данные, является окислительно-восстановительный потенциал, что подтверждается также исследованиями по другим районам СССР [3, 5, 14].

Действительно, аномальные содержания селена установлены в халькопирите второй продуктивной стадии, охватывающей интервал мине-

ралообразования, характеризующийся изменением окислительного потенциала среды в сторону его увеличения и понижением температуры и давления поступающих растворов. Этому предшествовала активизация тектонических подвижек, обусловившая благоприятную структурную обстановку с трещинами-полостями и пережимами. Этот интервал рудообразующего процесса, по-видимому, и является наиболее благоприятным для образования в основном селена и в меньшей степени теллура.

Таким образом, руды Кызылбулагского месторождения, характеризующиеся наряду с другими цennыми компонентами высоким содержанием селена, можно рассматривать как комплексное сырье. При наличии рациональной технологии извлечения оно может явиться сырьевой базой селена, что значительно повышает промышленную ценность этого месторождения.

Литература

1. Абдуллаев Г. Б. Селен в биологии. Баку, 1976.
2. Виноградов А. П. «Геохимия», № 7, 1962, с. 560.
3. Гармаш А. А. В кн.: «Краткие сообщения по научно-исследовательским работам ИМГРЭ АН СССР за 1959 г.», вып. 1, М., 1960.
4. Гейдаров А. С., Эфендисев Г. Х., Лапшина Н. Ф., Абдуллаева Р. С. В кн.: «Геохимия редких элементов». Изд-во АН Азерб. ССР, 1966, с. 56.
5. Дьячкова И. Б., Ходаковский И. Л. «Геохимия», № 11, 1968, с. 1358.
6. Иванов В. В., Белевитин Л. Ф., Борисенко А. С. и др. Средние содержания элементов-примесей в минералах. М., «Недра», 1973.
7. Кашкай М. А., Магриби А. А. «ДАН Азерб. ССР», т. XXXII, № 5, 1976, с. 48.
8. Мартirosyan P. A., Зульфугарлы N. D. «Геохимия», № 8, 1974, с. 1155.
9. Методические рекомендации по обоснованию минимально допустимых содержаний рассеянных элементов в комплексных рудах цветных металлов для целей подсчета запасов. ВИЭМС, М., 1981.
10. Муталов М. Г. «Геохимия», № 5, 1977, с. 748.
11. Синдеева Н. Д. Минералогия, типы месторождений и основные черты геохимии селена и теллура. Изд-во АН СССР, 1959.
12. Эфендисев Г. Х. Гидротермальный рудный комплекс северо-восточной части Большого Кавказа. Изд-во АН Азерб. ССР, 1957.
13. Эфендисев Г. Х., Кислякова Л. Е., Зульфугарлы Н. Д. В сб.: «Геохимия редких элементов», Изд-во АН Азерб. ССР, 1966, с. 9.
14. Юшко-Захарова О. Е. Геохимия и минералогия селена и теллура в медно-никелевых месторождениях. М., «Наука», 1964.

Институт неорганической и физической химии

Поступило 19. V. 1983

П. С. Гаврилюк, Э. А. Магриби, А. М. Агакишиев

ГЫЗЫЛБУЛАГ МИС ЖАТАГЫ ФИЛИЗИНДӘКИ ХАЛҚОПИРИТИН СЕЛЕН ВӘ ТЕЛЛУРЛУЛУФУ (КИЧИК ГАФГАЗ)

Гызылбулаг мис жатагы филизинде апарылан минераложи вә қеокимјәви тәдгигаттар иетичесинде мүэллиләр тәрәфиндән илк дәфә оларaq мүәјҗән едилмишидир ки, бу филизин эсасыны тәшкил едән халкопирит минералының тәркибиндә сәнаје әһәмиәттеги селен вардыр. Жатагы филизинде бир чох гијматлы компонентләрни варлығы илә жанаши, селенин дә јүксәк фанздә олмасы бу жатага комплекс филиз мәнбәси кими бағытта имкан верир.

P. S. Gavriluk, A. A. Magriby, A. M. Agakishiev

ON SELENIUM-TELLURIUM OF CHALCOPYRITE IN COPPER ORES OF KYZYLBULAG DEPOSIT (THE MINOR CAUCASUS)

As a result of mineralogical-geochemical investigations the industrial content of selenium in chalcopyrite from copper ores of Kyzylbulag deposit is ascertained (Azerbaijan part of the Minor Caucasus).

Deposits of ores characterized side by side with the other valuable components with high content of selenium can be considered as complex raw material. In the presence of rational technology of extraction it can be the source of raw material of

АЗЭРБАЙЖАН ССР ЕЛМЛӘР АКАДЕМИЈАСЫНЫН МӘРҮЗӘЛӘРИ

ДОКЛАДЫ АКАДЕМИИ НАУК АЗЕРБАЙДЖАНСКОЙ ССР

ТОМ XL ЧИЛД

№ 2

1984

УДК 542.941.8.5:(547.592:12+547.514.1)

НЕФТЕХИМИЯ

Акад. С. Д. МЕХТИЕВ, Х. М. АЛИМАРДАНОВ, М. М. ДАМИРОВ

ОКИСЛИТЕЛЬНОЕ ДЕГИДРИРОВАНИЕ МЕТИЛЦИКЛОПЕНТАНА В ПРИСУТСТВИИ АЛЮМОМЕДНОГО КАТАЛИЗАТОРА

Катализитическое дегидрирование циклопентановых углеводородов до циклоолефинов сопровождается сильным коксообразованием, которое приводит к быстрой дезактивации активных центров используемых катализаторов [1—9]. При окислительном дегидрировании насыщенных углеводородов в присутствии кислорода активность катализаторов сохраняется в течение длительного времени. Однако сведения об окислительном дегидрировании циклопентана и его алкилпроизводных в литературе отсутствует. Имеется лишь сообщение о дегидрировании изомеров метилцикlopентана до метилцикlopентадиена [10].

Ранее нами сообщалось о получении изомеров метилцикlopентана и метилцикlopентадиена дегидрированием метилцикlopентана в присутствии природного и модифицированного клиноптиолита и кислорода воздуха [11].

В настоящей работе приведены результаты исследования реакции окислительного дегидрирования метилцикlopентана (МЦП) над алюмо-мединым катализатором.

Исходный метилцикlopентан был получен гидрированием смеси изомеров метилцикlopентана; физико-химические константы соответствовали литературным данным [12]. Методика приготовления катализатора и проведения опытов описана в [13].

Анализ жидких продуктов реакции проводили на хромотографе с пламенно-ионизационным детектором на колонках с триэтиленгликоловым эфиром норм. масляной кислоты (10 масс % на ИНЗ-600) и β, β' -оксидипропионитрилом (10 масс % на ТЗК). Газофазные продукты контролировали хромотографическим методом и на аппарате ОРСа. При окислительном дегидрировании МЦП образуются в основном изомеры метилцикlopентана (МЦПЕ) и метилцикlopентадиена (МЦПД). Побочными продуктами реакции являются углеводороды $C_1 - C_5$ и углекислый газ. Кроме того, в контактном газе содержались водород и кислород. ИК-спектроскопический анализ жидкого катализата показывает на отсутствие в нем кислородсодержащих продуктов неполного окисления МЦП.

Результаты, полученные при дегидрировании МЦП на алюмо-меди-ном катализаторе, содержащем 10—40 масс % окиси меди, приведены в табл. 1.

Сравнение количества поступающих и выходящих из реактора углеводородов показало, что часть продуктов прочно хемосорбируется на поверхности катализатора, что приводит к изменению его окраски на определенных участках. Известно, что при окислительном дегидрировании изопентанов на CuO реакция минует стадию хемосорбции исходного продукта [14]. Однако бутадиен образует прочный π-комплекс с ионом одновалентной меди [15]. Специальные опыты, проведенные нами, показали,

что на поверхности CuO—Al₂O₃ прочный комплекс образует метилцикlopентадиен.

Из табл. 1 видно, что качественный состав катализаторов примерно одинаков. С повышением температуры и уменьшением объемной скорости подачи воздуха—0,1 л/мин)

Таблица 1
Состав катализатора при окислительном дегидрировании метилцикlopентана на алюмомедном катализаторе (скорость подачи воздуха—0,1 л/мин)

Т-ра, °C	Объ. ск., ч ⁻¹	Содержание CuO в катализаторе, масс. %	Уд. поверхность, м ² /г	Выход катализатора, масс. %	Содержание продуктов превращения МЦП в катализаторе, масс. %				
					C ₅ -циклоолефины	изомеры МЦП-сна	МЦП-диены	бензол	толуол
450	0,5	10,0	186	95,0	1,7	6,6	0,5	1,0	—
480	0,5	—	—	91,2	2,4	8,8	0,8	2,7	—
510	0,5	—	—	89,6	2,4	11,9	1,2	3,6	—
540	0,5	—	—	83,7	3,7	15,0	3,1	9,0	—
570	0,5	—	—	76,0	6,8	19,3	6,3	17,5	—
600	0,5	—	—	62,5	6,4	25,6	7,1	23,4	2,9
630	0,5	—	—	48,1	6,4	18,9	7,3	40,7	6,8
450	0,5	20,0	194	93,3	1,0	6,4	0,6	1,7	—
480	0,5	—	—	88,9	2,1	9,5	0,9	2,4	—
510	0,5	—	—	80,0	3,3	14,5	2,8	3,1	—
530	0,5	—	—	80,0	4,4	20,3	5,0	7,6	0,4
570	0,5	—	—	75,5	6,2	23,6	6,7	18,6	1,7
600	0,5	—	—	57,8	8,7	22,8	8,7	29,2	5,3
630	0,5	—	—	48,9	9,6	17,4	9,5	37,1	12,3
450	0,5	40,0	200,3	93,3	0,9	6,2	0,3	1,8	—
480	0,5	—	—	88,0	1,6	10,1	0,9	2,5	—
510	0,5	—	—	82,2	2,3	14,4	2,1	2,6	—
540	0,5	—	—	79,3	3,9	22,1	4,5	6,5	—
570	0,5	—	—	74,4	6,9	25,8	7,4	15,7	1,9
600	0,5	—	—	53,3	11,6	22,1	7,7	30,5	6,0
630	0,5	—	—	44,4	8,5	14,7	6,2	44,3	10,1
570	0,75	—	—	76,7	8,6	25,1	10,3	14,9	—
570	1,0	—	—	78,5	8,4	27,8	10,1	10,7	—
570	1,1	—	—	80,0	8,4	30,0	10,9	8,8	—
570	1,25	—	—	84,0	7,7	27,7	11,1	7,4	—
570	1,5	—	—	86,4	7,9	29,1	10,8	7,6	—
570	2,0	—	—	89,3	6,3	28,0	9,7	4,7	—
570	2,3	—	—	90,7	5,8	26,7	9,4	5,5	—
570	2,8	—	—	93,3	4,8	26,2	8,7	3,8	—
600	1,0	—	—	66,7	11,1	25,8	10,7	14,4	1,0
600	1,5	—	—	71,1	9,5	27,1	10,9	9,5	0,5
600	2,0	—	—	75,5	9,3	24,8	10,6	10,0	—
600	2,8	—	—	84,4	7,0	26,4	10,3	8,0	—
630	1,0	—	—	53,3	8,4	20,0	7,8	31,9	6,4
630	1,5	—	—	60,0	10,6	26,3	10,0	23,6	3,2
630	2,0	—	—	66,7	10,1	25,8	10,0	21,7	2,3
630	2,8	—	—	80,0	10,1	25,4	9,4	15,1	1,0

сти МЦП содержание бензола и толуола в катализаторе увеличивается, а доля циклоолефинов снижается. Соотношение олефиновых и ароматических углеводородов также зависит от содержания окиси меди на катализаторе. Так, по степени превращения МЦП все образцы катализатора

обладают почти одинаковой катализитической активностью. Однако они существенно отличаются по избирательности действия. В диапазоне температуры от 450 до 570°C с повышением концентрации CuO отношение олефиновых и ароматических углеводородов увеличивается. Максимальные выходы изомеров МЦПЕ и МЦПД достигаются при 570°C и объем. ск. подачи сырья 1,25—1,5 ч⁻¹ на катализаторе, содержащем 40 масс. % CuO.

Для оценки активности катализаторов в исследуемой реакции были также проверены γ-Al₂O₃ с удельной поверхностью 180 м²/г гранулированный CuO, содержащий 10 масс. % бентонитовой глины.

При 570°C, объем. ск. МЦП 1,25 ч⁻¹ и мольном соотношении МЦП: O₂=4,3:1 конверсия исходного углеводорода в присутствии с γ-Al₂O₃ составляет 36,4% при селективности по C₆-циклоолефинам — 28,8%. CuO в начале процесса приводит к глубокому крекингу исходного МЦП, при этом окись восстанавливается до металлической меди, которая проявляет активность в реакции окислительного дегидрирования.

Окислительное дегидрирование МЦП в МЦПЕ и МЦПД над трегерными катализаторами протекает с высокой селективностью также в отсутствие кислорода (табл. 2). Так как количество водорода в газовых про-

Таблица 2
(Т-ра—570°, объем. ск.—1,25 ч⁻¹, скорость подачи гелия—0,1 л/мин)

Продолжительность опыта, мин	Конверсия МЦП, масс. %	Выход катализатора, масс. %	Состав катализатора				
			C ₅ -циклоолефины	изомеры метилцикlopентена	МЦП-диены	МЦП	бензол
10	54,6	88,6	5,7	28,8	8,5	51,2	5,8
20	46,7	89,0	4,1	25,6	7,2	59,4	3,7
30	54,2	89,2	4,9	31,0	8,6	51,3	4,2
40	51,1	90,1	5,5	28,6	7,7	54,2	4,0
50	51,6	88,9	4,3	29,1	7,9	54,5	4,2

дуктах меньше расчетного, можно считать, что образование изомеров МЦПЕ и МЦПД происходит в результате окислительного дегидрирования за счет кислорода решетки катализатора. Подтверждением такого предположения является тот факт, что дегидрирование МЦП на алюмомедном катализаторе протекает и в токе водорода. При этом конверсия его составляет 24,4%, а выход циклоолефинов — 11,6 масс. % от исходного углеводорода. Содержание МЦПД в катализаторе уменьшается от 7—8 до 2—3 масс. %, что объясняется высокой активностью Cu—Al₂O₃ катализатора в реакции гидрирования цикlopентадиеновых углеводородов до цикlopентенов [16].

Следует отметить, что хромотографический анализ катализатора не позволил нам полностью идентифицировать изомерный состав полученных МЦПЕ. Этим методом было установлено наличие в катализаторе 1,3- и 4-МЦПЕ-1, а метиленцикlopентан не был обнаружен. Однако ИК-спектры катализатора показали, что при дегидрировании этот изомер также образуется (полосы поглощения для >C=CН₂ связи находятся в области 890, 908, 983, 1620 и 3045 см⁻¹) в результате миграции двойной связи 1-МЦПЕ $\xrightarrow{\text{метилен-ЦПЕ}}$.

1411, 1977. 18. Кубасов А. А., Смирнова И. В., Топчиева К. В. Ж. физ. химии, т. X, 11, 5, 1131, 1968. 19. Maurel R., Bassery R. L. J.—E. Germain. Bull. Soc. Chem. France, № 8—9, 1688, 1962.

Институт нефтехимических процессов им. Ю. Г. Мамедалиева

Поступило 24. VI. 1981

С. Ч. Мейдиев, И. М. Элимэрданов, М. М. Дамиров
МЕТИЛСИКЛОПЕНТАНЫН МИС-АЛУМИНИУМ КАТАЛИЗАТОРУ ҮЗЭРИНДЭ
ДЕНИДРОКЕНЛЭШМЭ РЕАКЦИЯСЫНЫН ТЭДГИГИ

Мэгэлэдэ метилсиклопентанын мис-алуминиум катализатору үзэриндэ денидрокен-лэшмэ реакцијасынын нэтичэлэри верилмишдир.

Муэйжэн едилмишдир ки, реакцијанын эсас мэсулу метилсиклопентенийн вэ метил-сиклопентадиенийн изомерлэрийдир.

S. D. Mekhtiev, Kh. M. Alimardanov, M. M. Damirov

OXIDATIVE DEHYDROGENATION OF METHYLCYCLOPENTANE IN THE
PRESENCE OF ALUMINA-CUPRIC CATALYST

The reaction of oxidative dehydrogenation of methylcyclopentane over alumina-cupric catalyst was investigated. It was established that isomers of methylcyclopentane and methylcyclopentadiene at mole ratio of 2—3:1 were the main products of the reaction at temperature of 540—570°C and feed space velocity—1.25—2.8 hour⁻¹.

Результаты дегидрирования метилциклопентана на алюмомедном катализаторе в токе гелия приведены в табл. 2.

Известно, что реакция изомеризации и дегидрирования углеводородов протекает на различных центрах катализатора [17, 18]. Учитывая это, нами было исследовано влияние толщины слоя катализатора на скорость образования продуктов дегидрирования МЦП и состав катализатора. Установлено, что образование непредельных углеводородов происходит неравномерно на различных слоях катализатора. Так, в начальных слоях катализатора основным продуктом дегидрирования является 3-МЦПЕ. По мере продвижения реакционной смеси вдоль слоя катализатора количество этого изомера постепенно уменьшается, а количество 1-МЦПЕ и изомеров МЦПД увеличивается. Вероятно, первичным продуктом дегидрирования является 3-МЦПЕ (или 4-МЦПЕ), который или изомеризуется в термодинамически более стабильный 1-МЦПЕ или же дегидрируется до МЦПД. Уменьшение содержания 3-МЦПЕ в катализаторе объясняется еще тем фактором, что над начальными слоями катализатора концентрация исходного МЦП в газовой фазе выше, чем над последующими.

Следует отметить, что содержание 1-МЦПЕ и МЦПД в катализаторе очень быстро стабилизируется и в дальнейшем не зависит от количества применяемого катализатора.

Таким образом, миграция двойной связи в изомерах МЦПЕ протекает по известной схеме: 4-МЦПЕ \rightleftharpoons 3-МЦПЕ \rightleftharpoons 1-МЦПЕ \rightleftharpoons метилен-ЦПЕ [19].

Вывод

Исследована реакция окислительного дегидрирования метилсиклопентана на алюмомедном катализаторе и установлено, что основными продуктами реакции являются изомеры метилсиклопентена и метилсиклопентадиена в мольном соотношении 2—3:1.

Литература

1. Heinemann H. Ind. and Eng. Chem., v. 439, 2098, 1951.
2. Nakamura Mune Kazu, Akanuma Koichi, Otsuka Keiichi, Reichi Suzuki. Jap. Pet. Inst., 16, 7, 572, 1979.
3. Pines H. and Csicsery S. M. J. Amer. Chem. Soc., 84, 2, 292, 1962.
4. Алиев В. С., Касимова Н. П., Иманова Т. В. Сафаралиева Г. М. Азерб. нефт. хоз.-во, 11, 57, 1978.
5. Алиев В. С., Касимова Н. П., Гасанзаде А. А., Халафова Т. В., Раева С. Б. Азерб. хим. ж., 5, 3, 1966.
6. Алиев В. С., Касимова Н. П. и др. Азерб. нефт. хоз.-во, 7, 58, 1979.
7. Шуйкин Н. И., Нарышкина Т. И. Нефтехимия, 2, 4, 473, 1962.
8. Хасанов А. К., Абдувалиева М. А., Насиров П. Азерб. хим. ж., 5, 31, 1975.
9. Мусаев М. Р. и др. Азерб. нефт. хоз.-во, 3—4, 107, 1980.
10. Алиев В. С., Мехтиев С. Д., Марданов М. А., Касимова Н. П., Мусаев М. Р., Велиев К. Т., Гусейнов Н. М. Авт. свид. СССР, № 350775, Б. И. № 27, 1972.
11. Мехтиев С. Д., Алимарданов Х. М., Дамиров М. М., Магеррамов С. А. «Азерб. хим. ж.», 4, 59, 1980.
12. Физико-химические свойства индивидуальных углеводородов. Под ред. В. Н. Татевского. Гостоптехиздат. 1960, стр. 24.
13. Мехтиев С. Д., Алимарданов Х. М., Дамиров М. М., Магеррамов С. А. «ДАН Азерб. ССР», 11, 46, 1980.
14. Вовянко И. И., Горюховатский Я. Б. Сб. «Катализ и катализаторы», вып. 2. Изд-во «Наукова думка». Киев, 1966, стр. 29.
15. Олейникова А. Л., Темкин О. Н., Богданов М. И., Флид Р. М. «Нефтехимия», 10, 2, 195, 1970.
16. Taghavi M. B. These doct. Univ. Claude Bernard, Lyon, 1974, 74, РЖХ, 20Б1174, 1976.
17. Скарченко В. К. Успехи химии, т. XVI, 8,

Э. А. АГАМИРЗОЕВА, Т. А. ГУСЕИНОВА,
Г. Х. РАГИМОВА

ОКИСЛИТЕЛЬНО-ВОССТАНОВИТЕЛЬНЫЙ ПОТЕНЦИАЛ И ВОДОРОДНЫЙ ПОКАЗАТЕЛЬ НЕФТЕЙ ПЛОЩАДИ СИАЗАНЬ — НАРДАРАН

(Представлено академиком АН Азербайджанской ССР А. А. Ализаде)

Физико-химические условия нахождения нефти в природе характеризуют их окислительно-восстановительный потенциал (Eh) и водородный показатель (pH), зависящие от состава и количества смолисто-асфальтеновых веществ.

Нефти площади Сиазань — Нардаран НГДУ «Сиазаньнефть» приурочены к моноклинали, простирающейся в СЗ—ЮВ направлении. В строении моноклинали участвуют верхнемеловые и палеоген-миоценовые отложения, песчано-алевритовые и трещиновато-карbonатные породы которых являются промышленно нефтегазоносными [1].

Площадь Сиазань — Нардаран, расположенная в юго-восточной части моноклинали, ограничена двумя поперечными нарушениями — сбросами. Один из них — юго-восточный — четко разграничивает опрокинутые на данной площади пласты верхнемеловых и палеогеновых пород от нормально-залегающих (в статиграфическом порядке) тех же отложений на площади Чандагар-Зорат.

Северо-западной границей является другой поперечный сброс, в результате которого площадь Сиазань — Нардаран опущена по отношению соседней площади Саадан. Таким образом, площадь Сиазань — Нардаран представляет собой обособленный тектонический блок, в пределах которого нефтяная залежь изолирована от остальных площадей месторождения (см. рисунок).

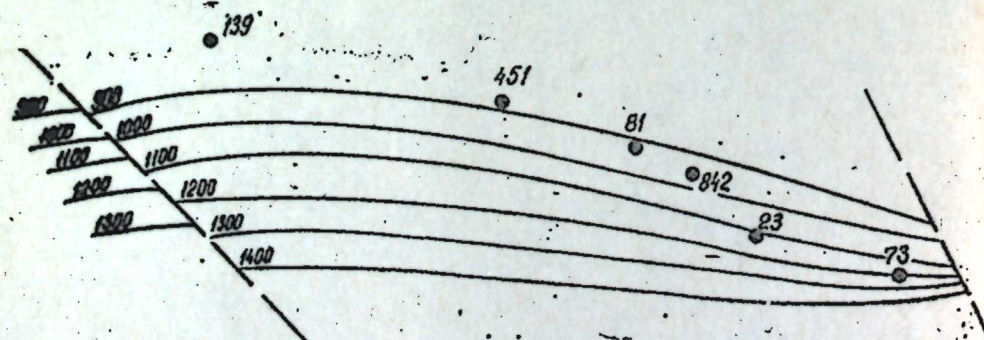


Схема расположения исследованных скважин на структуре по кровле верхнего мела на площади Сиазань-Нардаран.

Нефти площади Сиазань — Нардаран параграфинистые, высокосмолистые с удельным весом 0,86. По данным В. С. Гутыря и др. [2], Г. Г. Ашумова [3] фракционный состав этих нефтей следующий: акцизных смол — 18%, силикагелевых — 10%, твердого парафина — 12%. Отгон светлых продуктов до 300 °C — 54%. Содержание бензина при отгонке до 100°—40%. Такие фракции как бензин и лигроин отмечаются низким октановым числом.

Для исследования окислительно-восстановительного потенциала (Eh) и водородного показателя (pH) этих нефтей отобраны пробы из стратиграфических обособленных объектов (скв. № 73, 23, 139), а также из совместно эксплуатируемых свит (скв. № 81, 842, 451).

Значения pH показывают, что обычно для нефтей площади Сиазань — Нардаран характерна слабощелочная и щелочная среда ($pH = 7,7$ — $8,5$), в редких случаях нейтральная (6,9). (см. табл.). Кислая среда ($pH=5,7$) нефти коунской свиты из скв. № 139 не типична для этой площади. Повышенная концентрация водородных ионов в этой нефти, вероятно, обусловлена местными геолого-геохимическими условиями.

Дата измерения	№ скв.	Эксплуатация объект	Интервал перфорации	pH	Eh, мв
22. VIII 1980	73	КП	837—1160	7,7	330
15. VIII 1980	81	КП+и. мкр	293—1291	8,1	257
18. VIII 1980	23	и. мкр	391—760	6,9	337
22. VIII 1980	842	КП+и. мкр.	256—1892	8,5	296
22. VIII 1980	451	КП+и. мкр.	210—1780	7,9	306
19. VIII 1980	139	КП	88—204	5,7	328

Значения окислительно-восстановительных потенциалов (Eh) в исследуемых нефтях изменяются в пределах 250—340 мв, указывая на умеренные окислительные реакции. Следует отметить, что в нефтях скважин 23, 73, 139, эксплуатирующих обособленные стратиграфические объекты: коунскую или же майкопскую свиты значения потенциалов повышенны на 2—3 десятка мв. Возможно, что при смешении нефти разных свит происходит ослабление некоторых реакций, а соответственно и снижение потенциалов окислительно-восстановительных процессов.

Из изложенного можно заключить, что физико-химические свойства исследуемых нефтей обусловлены своеобразными геолого-геохимическими условиями, характерными для тектонически изолированной Сиазань-Нардаранской площади. Здесь естественные превращения нефти происходят обычно при щелочной и слабощелочной средах, когда активность анионов (кислорода, серы и азота) преобладает над активностью катионов (металлов, водорода и углеводородных радикалов). Металлы переменной валентности — железо, алюминий, медь, ванадий и др. при окислении проявляют высшую валентность.

Такие физико-химические условия благоприятствуют образованию сложных гетероорганических соединений, металлоорганических комплексов, которые в свою очередь оказывают значительное влияние на состав смол, асфальтенов и способствуют увеличению их количественного содержания. Есть основание считать, что это является одной из причин низкого содержания бензина (всего 40%) в нефтях площади Сиазань — Нардаран.

Литература

1. Салаев С. Г., Гусейнов Г. А., Соломонов Б. М. Геология и нефте-газоносность Прикаспийской третичной моноклиналии, стр. 31—33. Азернефт, 1964. 2. Гутыря В. С. и др. Нефти Азербайджана, стр. 121—125. Азнефтениздат, 1945. 3. Ашумов Г. Г. Азербайджанские нефти, стр. 205—213. Изд-во АН Азерб. ССР, 1961.

Институт геологии

Поступило 9. VI. 1981

Е. Э. Агамирзоева, Т. А. Гусейнова, И. Х. Рагимова

СИЈЭЗЭН—НАРДАРАН САҢЭСИ НЕФТЛЭРИНИН ОКСИДЛЭШМЭ-БЭРПА ПОТЕНЦИАЛЫ ВЭ ҮНДРОКЕН КӨСТЭРИЧИСИ

Үндрокен көстэричиси вэ оксидлэшмэ-бэрпа потенциалынын тэдгигинэ эсасэн мүэж-жэй олуунмушдур ки, Сијэзэн—Нардаран саңеснини нефтлэри гэлэвн шэрэгтэй вэ оксид-лэшмэ процесси илэх сэчинжэлэнир.

Үндрокен үзүүн бирлэшмэлэрийн эмэлэ өдөрнөсүүнүүдэдээ өлвэришили физики-химийн шэрэгтэй мөвчдүүлэх олмасы вэ һэмчийн гатран-асфальтын магадлэлэрийн мигдарынын артмасы наалы иштээч кими көстэрилмишдир.

E. A. Agamirzoyeva, T. A. Guseinova, G. H. Ragimova

REDUCTIVE-OXIDATIVE POTENTIAL AND HYDROGEN INDEX OF OILS OF SIAZAN-NARDARAN REGION

On the ground of analyses of reductive-oxidative potential and hydrogen index it is stated that oil of Slazan-Nardaran region is characterized by alkali properties and the potential of moderate oxidative processes. The conclusion is made of favourable physico-chemical conditions of formation of heterogeneous compounds and increase of resinous asphaltene substances.

АЗЭРБАЙЧАН ССР ЕЛМЛЭР АКАДЕМИЯСЫНЫН МЭРУЗЭЛЭРИ

ДОКЛАДЫ АКАДЕМИИ НАУК АЗЕРБАЙДЖАНСКОЙ ССР

ТОМ XL ЧИЛД

№ 2

1984

УДК 551.763

ПАЛЕОНТОЛОГИЯ И СТРАТИГРАФИЯ

Х. АЛИЮЛЛА, Ш. А. БАБАЕВ, Р. О. КОШКАРЛЫ,
С. А. ШИХЛИНСКИЙ

РАСЧЛЕНЕНИЕ РАЗРЕЗА ПАРАДАШ (НАХ. АССР)

(Представлено академиком АН Азербайджанской ССР К. А. Ализаде)

Эоценовые отложения Нахичеванской АССР издавна привлекают внимание многих исследователей. Хорошая обнаженность и большие скопления нуммулитовой фауны способствовали расчленению эоцена вплоть до мелких стратиграфических подразделений. Несмотря на многочисленность и детальность исследований до настоящего времени остается ряд дискуссионных и нерешенных вопросов в проведении некоторых границ внутри эоцена. Спор о наличии верхнего эоцена в Нахичеванской складчатой области носит аналогичный характер. Выхода самых молодых слоев эоцена в Нахичеванской АССР прослеживаются в изолированных участках и приурочены к небольшим мульдам. Одним из таких участков считается Парадаш-Шурутская мульда.

Сведения о распространении на этом участке и в прилегающих регионах глинисто-песчаной толщи эоцена с богатой нуммулитовой фауной имеются в работах Г. В. Абиха [1, 2], А. А. Флоренского, Е. К. Устинова [10], К. Н. Паффенгольца [8, 9], П. Бонне [13], Ш. А. Азизбекова [3], К. А. Ализаде, Т. А. Мамедова [4], Т. А. Мамедова [6, 7]; М. А. Багманова [5] и др.

В литературе глинисто-песчаные слои с нуммулитами и другими ископаемыми упоминаются как «Парадашская свита» или «Осадочная толща» и относятся одними к среднему и верхнему эоцену, другими — к верхнему эоцену. При этом также имеет место применение Европейского и Крымского ярусного деления.

Вопрос о расчленении эоцена Парадаш-Шурутской мульды не решился, а, по нашему мнению, стал еще наиболее дискуссионным, после того, как М. А. Багманов [5] «Парадашскую свиту» переименовал в «Парадашский ярус» в качестве второго яруса среднего эоцена. Неудачным оказались не только определение объема яруса, но и выбор стратотипа. Д. М. Халилов [11, 12] на основании микрофаунистических исследований всю «Парадашскую свиту» отнес к зоне *Globigerina turkmenica*, считая ее аналогом кумского горизонта.

В связи с выполнением работы по составлению опорных разрезов Нахичеванской АССР нами были изучены отложения, развитые в Шурут-Парадашской мульде. При этом планктонные фораминиферы были обработаны Х. Алиюлла и С. А. Шихлинским, нуммулитиды — Ш. А. Бабаевым, а нанопланктон — Р. О. Кошкарлы. Анализ палеонтологического материала позволил уточнить спорные вопросы и произвести зональное расчленение эоценового разреза в районе сел. Парадаш по изученным группам ископаемых.

Так, наиболее древние слои прослеживаются в 1,5—2 км северо-восточнее развалин Парадаш, где обнажается следующая последовательность.

Зона *Acarinina bullbrooki* представлена пачкой темно-серых, почти черных, местами желтовато-серых глин, аргиллитов, мергелей со слоями песчаников (мощность 87—89 м). В них обнаружены планктонные фораминиферы: *Acarinina bullbrooki* (Bölli), *Globigerinatheka subconglobata* (Chailov) *Globigerina posttriloculoides* Chailov, *G. senni* (Beckman). Из нуммулитид встречены: *Nummulites striatus* (Brugiere), *N. peisolutus* (Montfort), *Operculina alpina* Douville и др. Из наннопланктона: *Discoaster strictus* Stradner, *D. deflandrei* Bramlette et Riedel, *Rhabdospaera gladius* Locker. Обнажающаяся часть зоны *Acarinina bullbrooki* соответствует верхам зоны *Nummulites laevigatus*, а по наннопланкtonу верхней части зоны *Discoaster subledoensis* и началу зоны *Nannotetina fulgens*.

Зона *Acarinina rotundimarginata* выражена в двух различных по составу фациях. Нижняя из них состоит из туфоконгломератов, гравеллитов и песчаников с прослоями глинистых песчаников мощностью 180 м. В них встречаются из фораминифер: *Acarinina rotundimarginata* Subbotina, *Globigerina frontosa* Subbotina и др., среди наннопланктона: *Nannotetina fulgens* (Stradner), *Discoaster cruciformis* Martini и др.

Вышележащая пачка состоит из темно-серых, почти черных глин и аргиллитов со слоями песчаников и туфопесчаников и залегает над туфоконгломератом по тектоническому нарушению.

В глинистых слоях пачки содержатся обильные планктонные фораминиферы: *Acarinina rotundimarginata* Subbotina, *Globigerina aff. rohri* Bölli, *Globorotalia centralis* Cushman et Bermudez, нуммулитиды: *Nummulites perforatus* Montfort, *N. striatus* (Brugiere) *N. chavannesi de la Harpe*, *N. incrassatus de la Harpe*, наннопланктон: *Discoaster molengraffi* Tan Sin Hok, *Helicopontosphaera seminulum* (Bramlette et Sullivan) и др.

Из-за задернованности и наличия зоны тектонического дробления на этом участке проследить последовательность всех пачек зоны *Acarinina rotundimarginata* не удается. Разрез продолжен на южном склоне высоты 1614 м, на 0,5 км северо-восточнее сел. Парадаш, где в основании разреза выступают аргиллиты и глины упомянутой зоны. Мощность верхней пачки принимается условно 150 м.

По нуммулитам описываемая пачка охватывает зону *Nummulites acutus*, а по наннопланкtonу значительную часть зоны *Nannotetina fulgens*.

Зона *Truncorotaloides rohri* по стратиграфическому положению может соответствовать зоне *Globigerina turkmenica* по схеме Д. М. Халилова [11]. Литологически представлена пачкой серых, желтовато-серых песчанистых глин и песчаников со слоями рыхлого конгломерата; встречается обильная нуммулитовая фауна, мелкие фораминиферы и наннопланктон (мощность 22,5): *Nummulites perforatus* Montfort, *N. bargieri* Bouss, *N. incrassatus de la Harpe*, *N. chavannesi de la Harpe*, *Operculina alpina* Douville; *Truncorotaloides rohri* Brönniman et Bermudez, *Acarinina rugosaculeata* Subbotina, *Globigerina incretaea* Chailov, *Gl. praebulloides* Bow; *Coccolithus eopelagicus* (Bramlette et Riedel), *Reticulofenestra umbilica* Levin.

Смена комплекса нуммулитид позволила выделить зону *Nummulites brongniarti* —. По наннопланктону она охватывает зону *Reticulofenestra umbilica*.

Вышележащая пачка составляет верхнюю часть эоценового разреза в окрестностях сел. Парадаш и представлена желтовато-серыми и зеленовато-серыми разнозернистыми песчаниками с богатой мелкой нуммулитовой фауной; встречаются слои рыхлого ожелезненного конгломерата. Из нуммулитид определены: *Nummulites incrassatus de la Harpe*, *N. striatus* (Brugiere), *N. paradaschensis* Mamedov, *N. rectus* Сигту, *N. chavannesi de la Harpe*, *N. budensis* Hantken, *N. fabianii* Prover, *N. pulchellus* Hantken, *N. prestwichianus* Jones, *N. concinnus* Jorgeva и др.

Среди мелких фораминифер большим развитием пользуются представители роталии: *Rotalia similis* Chailov, *R. subocticamerata* Chailov, *R. aff. cubensis* Chailov, *Heterolepa illandagensis* Chailov, *Cibicides shurutensis* Chailov и др.

Описываемая пачка нами впервые относится к зоне *Nummulites fabianii* верхнего эоцена.

Выше размытой поверхности эоцена залегает туфоконгломерат с крупными гальками и валунами, состоящими из изверженных пород. Эти андезито-базальтовые конгломераты Ш. А. Азизбеков [3] относит к плиоцену.

Таким образом, изучение эоценовых отложений в окрестностях сел. Парадаш позволило установить стратиграфический объем «Парадашской свиты» и «Осадочной толщи» в пределах зон (снизу вверх): *Acarinina rotundimarginata*—*Nummulites acutus*—*Nannotetina fulgens*; *Truncorotaloides rohri*—*Nummulites brongniarti*—*Reticulofenestra umbilica* и *Nummulites fabianii*.

При этом нижняя зона охватывает также «Туфоконгломератовую толщу» Ш. А. Азизбекова.

Нельзя считать обоснованным выделение «Парадашского яруса», так как в окрестностях сел. Парадаш отсутствует последовательный разрез, начиная от подошвы до кровли «яруса». Полное представление о последовательности разреза можно восстановить по различным участкам в виде сборного разреза. Наличие тектонических нарушений, частичной задернованности внутри зоны *Acarinina rotundimarginata* не позволяет определить точную мощность, что противоречит выбору стратотипического разреза.

Разрезы, предложенные М. А. Багмановым в качестве пастратотипов «Парадашского яруса» — Джульфинское ущелье, окрестности селений Бияв и Гюннут оказались непригодными, поскольку они содержат фауну нижней половины среднего эоцена.

Тот комплекс слоев, который относится к «ярусу», стратиграфически охватывает верхнюю часть среднего и нижнюю часть верхнего эоцена по Средиземноморской шкале. Комплекс нуммулитид, приводимый для яруса, охватывает часть зоны *Nummulites acutus*, полностью зону *Nummulites brongniarti* и часть зоны *Nummulites fabianii*.

Приведенные комплексы ископаемых эоцена окрестностей сел. Парадаш прослеживаются также в ряде разрезов Нахичеванской АССР и сопоставляются с комплексами различных регионов Кавказа.

1. Абих Г. В. Зап. Кавказ. отделения Русского геогр. общ-ва, тт. VII—VIII, 1873, стр. 210. 2. Абих Г. В. Зап. Кавказского отдел. Русского геогр. общ-ва, т. XXIII, 1902, стр. 1—68. 3. Азизбеков Ш. А. Геология Нах. АССР. Госгеотехиздат, 1961, стр. 1500. 4. Ализаде К. А. Мамедов Т. А. «Изв. АН Азерб. ССР, серия геол-геогр. наук», № 3, 1959, 17—21. 5. Багманов М. А. Уч. зап. АГУ, серия геол-геогр., № 4—5, 178—186, Баку, 1969. 6. Мамедов Т. А. «ДАН Азерб. ССР», т. XVI, № 10, 963—968, 1960. 7. Мамедов Т. А. Нуммулитиды и орбитоиды эоценовых отложений Азербайджана и их стратиграфическое значение. Автoref. докт. дисс, 1—47. Баку, 1967. 8. Паффенгольц К. Н. Геологический очерк Нахичеванской АССР. Изд-во АзФАН СССР, вып. XXVIII, 1—139. Баку, 1940. 9. Паффенгольц К. Н. Геология Армении, 200, М., 1948. 10. Флоренский А. А., Устинев Е. К. Петрофикация и полезные ископаемые центральной части Нах. АССР, 1—90. Изд. АН СССР, 1935. 11. Халилов Д. М. Микрофауна и стратиграфия палеогеновых отложений Азербайджана, ч. II, с. 1—286. Изд-во АН Азерб. ССР. Баку, 1967. 12. Халилов Д. М. Образ жизни и закономерности расселения современной и ископаемой микрофлоры, 138—141. Наука, М., 1975. 13. Воннет Р. Mem. Soc. Geol. Fr., t. XXV, p. 54, р. 1—263.

Институт геологии

Поступило 2. VII 1981

Х. Элиулла, Ш. Э. Бабаев, Р. О. Гошгарлы, С. А. Шыхлински

ПАРАДАШ (НАХ.МССР) КЭСИЛИШИННИН СТРАТИГРАФИК БӨЛКҮСҮ

Нахчыван МССР әразисинде Еоцен чөкүнтуләринин фораминифер, нуммулитләр вә наннопланктон галыгларының өјрәнилмәси әсасында «Парадаш лај дәстәсинин» вә «Чекмә гатын» стратиграфик һәчми мүэjjәнләшdirилмиш вә зона белкүсү верилмишdir.

Kh. Aliyulla, Sh. A. Babayev, R. O. Koshkarli, S. A. Shikhlinsky

PARTITION OF CUT PARADASH (NAKHICHEVAN ASSR)

Foraminifera, nummulitid and nannoplankton were studied from Eocene sediments of Nakhichevan ASSR. As a result the stratigraphic volume of "Paradashskaya series" and "Sedimentary sequence" is determined and their zonation is proposed.

Э. Р. МЕХТИ-ЗАДЕ, Д. Н. НАГИЕВА, У. К. АЛЕКПЕРОВ

ЦИТОГЕНЕТИЧЕСКАЯ АКТИВНОСТЬ АУКСИНА

(Представлено академиком АН Азербайджанской ССР
И. К. Абдуллаевым)

Применение биологически активных соединений для стабилизации темпов мутирования — одно из актуальных направлений в проблеме защиты генетического аппарата от повреждающего воздействия факторов окружающей среды [1]. Воспроизведение генетической информации осуществляется в процессе деления клеток. Поэтому сохранение ее уникальности во многом определяется условиями, в которых протекает деление клеток.

В настоящее время накоплен большой фактический материал, свидетельствующий о важной роли фитогормонов в управлении регуляторными механизмами клетки на разных этапах ее деления и роста [4—6, 8, 9].

Среди фитогормонов первым был открыт ауксин. Описанию его физиологических эффектов посвящено значительное число работ. По ряду вопросов исследователями высказывается единое мнение [4, 5]. Иначе обстоит дело с исследованиями, посвященными изучению модифицирующего эффекта фитогормонов, в частности ауксина, на генетическую активность физико-химических мутагенных факторов. Имеющиеся сведения противоречивы [2, 3, 7, 10, 11]. В связи с этим нам представлялось интересным изучить влияние индолилуксусной кислоты (ИУК) на спонтанный и индуцированный радиацией мутационный процессы с целью выявления ее антимутагенной активности.

Объектом исследования служили семена лука-батуна. Облучение в дозе 10 грэй проведено на установке РХУНД (мощность 62 рад/сек). Концентрации растворов ИУК, использованных для проращивания семян, равны 5×10^{-3} , 5×10^{-2} , 5×10^{-1} , 1 и 5 мг/л. Фиксацию, окрашивание корешков и учет структурных перестроек хромосом на временных давленных препаратах проводили стандартными методами. Рассчитывали коэффициенты эффективности действия ИУК на спонтанный и индуцированный мутационные процессы. Статистическая обработка цифрового материала проведена общепринятыми методами.

На рис. 1. представлены данные о влиянии ауксина на частоту спонтанных мутаций хромосом. Как видно из приведенных данных, при обработке ауксином во всех исследованных концентрациях имеет место значительное снижение уровня мутабильности. Достоверность разницы между контрольным и опытными вариантами составляет соответственно 7,2; 5,6; 7,3, что превышает 0,1% уровня значимости по критерию

Стьюдента. Коэффициенты антимутагенной эффективности для вариантов с ИУК 5×10^{-3} ; 5×10^{-2} ; 5×10^{-1} мг/л равны соответственно 0,71; 0,60; 0,74. При этом не обнаружено определенной концентрационной

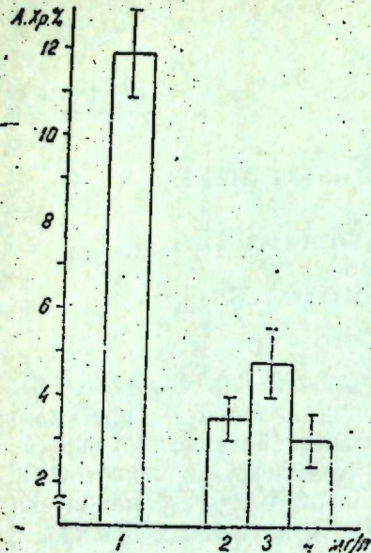


Рис. 1. Изменение спонтанного уровня мутаций хромосом в клетках апикальной меристемы корешков лука-батуна при обработке ИУК: 1— H_2O ; 2—ИУК- $5 \cdot 10^{-3}$ мг/л; 3—ИУК- $5 \cdot 10^{-2}$ мг/л; 4—ИУК- $5 \cdot 10^{-1}$ мг/л.

зависимости в снижении спонтанного уровня мутаций под влиянием обработки ИУК.

Гамма-облучение семян вызывает существенное возрастание частоты структурных перестроек хромосом в клетках апикальной меристемы корешков ($td=3,1$ и превышает 1% уровня значимости по критерию Стьюдента).

Обработка облученных семян ауксином в концентрации 5×10^{-1} , 1 и 5 мг/л приводит к значительному снижению индуцированного уров-

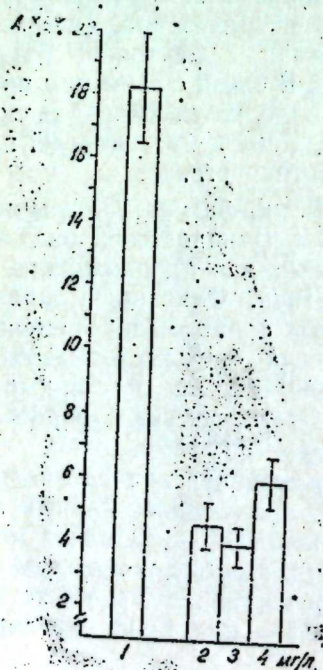


Рис. 2. Изменение индуцированного уровня мутаций хромосом в клетках апикальной меристемы корешков лука-батуна при обработке ИУК: 1— H_2O ; 2—ИУК- $5 \cdot 10^{-1}$; 3—ИУК-1; 4—ИУК-5 мг/л.

ня мутабильности ($td=7,2$; 7,6; 6,6 высокодостоверно). Коэффициенты антимутагенной эффективности для указанных вариантов составляют соответственно 0,75; 0,78; 0,69 (рис. 2). Однако концентрационной зависимости модифицирующего эффекта ИУК не наблюдается.

Таким образом, влияние ауксина на спонтанный и индуцированный мутационные процессы проявляется в значительном снижении частоты структурных перестроек хромосом, что свидетельствует об антимутагенной активности данного фитогормона.

Литература

1. Алекперов У. К. Антимутагены и проблемы защиты генетического аппарата. Изд-во «Элм». Баку, 1979.
2. Ааратяни Л. А. «Цитология и генетика», т. 4, № 1, с. 30—35, 1970.
3. Ааратяни Л. А. «Генетика», т. 9, № 11, с. 175—176, 1973.
4. Гамбург К. З. Фитогормоны клетки. Изд-во «Наука», М., 1970.
5. Гамбург К. З. Биохимия ауксина и его действие на клетки растений. Изд-во «Наука». СО. Новосибирск, 1976.
6. Жакоб Ф., Моно Ж. Регуляторные механизмы клетки. Изд-во «Мир», М., 1964.
7. Попа Н. Е., Атраментова Л. А., Шахbazov В. Г. «Цитология и генетика», т. 10, № 4, с. 302—305, 1976.
8. Регуляторы роста растений. Изд-во «Колос», М., 1979.
9. Рост растений и природные регуляторы. Изд-во «Наука», М., 1977.
10. Славенас И. Ю., Юргелайтие К.-и. В. «Радиобиология», т. 13, № 3, с. 445—447, 1973.
11. Юргелайтие К.-и. В., Славенас И. Ю., Немцева Л. С. «Генетика», т. 9, № 2, с. 29—34, 1973.

Поступило 8. VI 1981

Институт ботаники

Е. Р. Меңдизадә, Ч. Н. Нагыјева, У. К. Элэкберов

АУКСИННИН СИТОКЕНЕТИК ФӘЛЛÝҒЫ

Мәгәләдә ауксиннин соғанын меристем һүчәрәләрнәдә тәбии ۋە радиасија нәтиҗәсіндә эмәлә қәлмиш мутасија дәрәчәсінә тә'сиринин өјрәнилмәсіндән бәhc едилir.

Мә'лум олмушdur ки, ауксиннә ишләнмиш варианtlar (5×10^{-3} — 5 мг/а) тәбии ۋە радиасија нәтиҗәсіндә эмәлә қәлмиш мутасија дәрәчәсі контрола нисбәтән уйғын ола-раг 2,5—2,9 ۋە 3,2—4,5 дәфә ашағы дүшүр.

Е. R. Mehti-zade, D. N. Nagieva, U. K. Alekperov

THE CYTOGENETIC ACTIVITY OF AUXIN

The cytogenetic activity of auxin was studied, its antimutagenic activity was carried out.

Ф. А. АХМЕД-ЗАДЕ, И. А. ГУСЕИНОВА

СРАВНИТЕЛЬНО МОРФОЛОГО-ЭМБРИОЛОГИЧЕСКОЕ РАЗВИТИЕ ЖЕНСКОГО ГАМЕТОФИТА НЕКОТОРЫХ ПРЕДСТАВИТЕЛЕЙ РОДА *TEUCRIUM* L.(Представлено академиком АН Азербайджанской ССР
В. И. Ульянищевым)

Нами были проведены исследования для выявления морфолого-эмбриологического развития женского гаметофита видов *Teucrium orientale* L. и *Teucrium polium* L., являющихся наиболее широко распространенными и полиморфными, поскольку в отечественной литературе отсутствуют сведения об упомянутом вопросе.

1. *Teucrium orientale* L. — полукустарничек 10—50 (60) см высоты, с прямыми или извилистыми стеблями, опущенными укороченными, изредка удлиненными или полукурчавыми волосками. Листья широкояйцевидные, трижды перисто рассеченные на узколинейные доли, сверху коротко опущенные, снизу лишь по жилкам, иногда с обеих сторон густо курчаво опущенные. Соцветие метельчатое или метельчато-щитовидное, цветоносы 1—3-х цветковые. Чашечка 3—5 мм дл., колокольчатая, опущенная короткими и длинными волосками с оттопыренными ланцетными или треугольными зубцами, равными трубке или короче ее. Венчик 1—1,5 (1,7) см дл., в 3—4 раза длиннее чашечки, синий, нижняя лопасть его удлиненная, вогнутая, снизу коротко опущенная, две пары верхних лопастей яйцевидные или ланцетные, острые. Тычинки до 1,7 см длины, в нижней части курчавые, далеко выставленные. Орешки голые, морщинистые, покрыты мелкими зернистыми железками.

2. *Teucrium polium* L. — полукустарничек с восходящими или извилистыми стеблями, 5—40 см высоты, густо войлочно опущенными, седоватыми или снежно-белыми, на верхушке щитковидно ветвистыми.

Листья линейные, по краю неглубоко городчато-зубчатые, сидячие, с обеих сторон более густо опущенные, чем стебли, длиннее или короче междуузлий. Соцветие на концах стеблей густое, головчатое, шаровидное, яйцевидное, 1—2 см в диаметре, прицветные листья равны или короче цветков, 3—5 мм дл., линейные, линейно-лопатчатые, с отвернутыми краями, густово войлочно опущенные. Цветки 4—8 мм дл., беловатые, чашечка трубчато-колокольчатая, густо белово войлочная, с короткими треугольными зубцами, венчик чуть длиннее, чашечка спаужи войлочно мохнатая. Тычинки едва выставляются из чашечки.

Цитоэмбриологическое исследование женской сферы *Teucrium orientale* L. и *Teucrium polium* L. показало, что макроспорогенез, строение семяпочки и зародышевых мешков являются родовыми эмбриологическими признаками. По развитию и формированию женского гаметофита

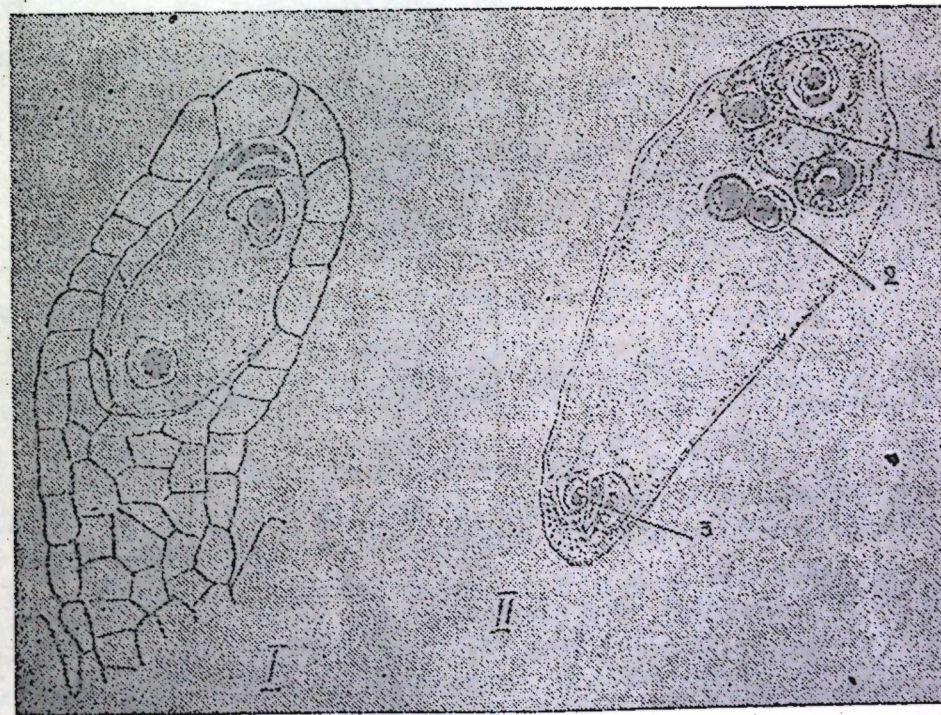
изученные виды однотипные, различия обнаружены лишь в сроках развития макроспорогенеза и гаметогенеза.

Завязь верхняя, грушевидной формы, четырехгнездная, с одной обратной семяпочкой в каждом гнезде. Столбик короткий, расщепленный вдвое зеленоватым рыльцем. У этих видов существует нектарник, который расположен в нижней части завязи в виде диска, он способен выделять нектар. Семяпочки закладываются в виде небольшого бугорка, на плаценте быстро растут, изгибаются и вскоре принимают анатропное положение.

Семяпочки у изученных нами видов однопокровные, тenuinucellate.

В верхней части нуцеллуса молодой семяпочки закладывается субэпидермальная клетка, которая, не отделяя кроющую клетку, непосредственно становится материнской клеткой мегаспор.

Мегаспорогенез у изученных видов протекает по типу *Scilla*. Ядро материнской клетки проходит все стадии мейоза, в результате образуется тетрада мегаспор, из которых нижняя увеличивается в размерах и превращается в материнскую клетку зародышевого мешка, последний восьмиядерный, *Polygonum* типа.



Двухядерный (I) и восьмиядерный (II) зародышевый мешок у *Teucrium polium* L.: 1 — яйцевой аппарат; 2 — полярные ядра; 3 — антиподы

Морфологически зародышевый мешок удлиненный, окаймлен интегументальным тапетумом. Яйцеклетка располагается под синергидами.

Полярные ядра сливаются до оплодотворения. Антиподы очень слабо развиты, быстро дегенерируют (рисунок). Оплодотворение пара-

гамного типа, чем выявляется примитивность этих видов, служащая одним из признаков специализации. При оплодотворении один из спермииев сливается с ядром яйцеклетки, другой — с центральным ядром зародышевого мешка.

После оплодотворения обычно первым делится первичное ядро эндосперма, а затем приступает к делению зигота. Ко времени первого деления зигота имеет форму длинной вакуолизированной трубы с ядром в апикальном конце. Зародыш у этих видов развивается по типу *Cruciferaceae*. Эндосperm клеточный, в большей или меньшей степени развит эндоспермальный гаусторий.

Из всего изложенного следует отметить, что проведенные морфологические, а также эмбриологические исследования еще раз подтверждают систематическое положение рода *Teucrium* L. в семействе губоцветных.

Литература

1. Флора СССР, т. 20, с. 39—69. Изд. АН СССР. М.—Л., 1954.2. Billings F. H. The nutrition of the embryo sack and embryo in certain Labiateae. Kansas, Univ. Sci. Bull., 1909, 37—83. 3. Jaitly Suresh Chandra, Guignard Jean-Louis, Mestre Yean-Charles. Embryogenie des labées. Development de l'embryon chez Le Mentha aquatica. L. Bull. Soc. bot. Franca, 115, № 7—8, 1968, 1969, 369—373.

Институт ботаники

Поступило 16. VI. 1981

Ф. Э. Эмадзадэ, Н. Э. Гусейнова

МЭРЈЭМНОХУДУ ЧИНСИНИН БӘ'ЗИ НӨВЛӘРИНИН ДИШИ ГАМЕТОФИТЛӘРИНИН МОРФОЛОЖИ-ЕМБРИОЛОЖИ ХҮСУСИЙЛӘРІ

Мэрјэмнохуду чинсииин бә'зи нөвләри узәриндә апарылмыш морфологи-ембриологии тәдгигат иәтичесинде мүәјжән олуимушдур ки, бу нөвләрин ембриология хүсусијәтләре ејни типлидир.

Жумуртальы тенүинүсөлжат вә бир өрткүлдүр. Диши археспоријасы ялныз бирдир вә һүчејәрә кисәсиин эмәлә кәлмәссиңдәч билаваскәнә шиширак едир. Диши гаметофитин иикишафы *Scilla* типлидир. Һүчејәрә кисәсі 8 һүчејәрәли олуб *Polygonum* типдә иикишаф едир. Сиперкилләрин мигдары 2-дир. Антиподларын сајы үчдүр. Мәркәз һүчејәрә 2 гүтб һүчејәрәләринин бирләшмәссиңдән эмәлә кәлиб. Мајалайма нормал кедир. Ендосperm һүчејәрә типлидир.

F. A. Ahmed-zade, N. A. Guseinova

THE COMPARATIVE MORPHO-EMBRYOLOGICAL DEVELOPMENT OF FEMALE GAMETOPHYTE OF SOME REPRESENTATIVES OF *TEUCRIUM* L. GENUS

The morphological and embryological observations of the *Teucrium orientale* L., *Teucrium polium* L. species show the similarity of these species by their embryological characteristics. The seedbuds of two species are tenuinucellous monochlamydous, megasporogenesis goes by the *Scilla* type, the embryonal sac is eight-nuclear and is developed by *Polygonum* type. The embryo is developed by *Cruciferaceae* type. The endosperm is cellular, the endospermal sucker is developed to a certain degree.

АЗЭРБАЙЧАН ССР ЕЛМЛӘР АКАДЕМИЯСЫНЫН МӘРҮЗӘЛӘРИ

ДОКЛАДЫ АКАДЕМИИ ИАУК АЗЕРБАЙДЖАНСКОЙ ССР

ТОМ XL ЧИЛД

№ 2

1984

БОТАНИКА

УДК — 581.526.53.

А. И. МАИЛОВ, В. В. АТАМОВ

КОРМОВАЯ ЦЕННОСТЬ И ЕМКОСТЬ ТИПОВ ПАСТБИЩ АЗЕРБАЙДЖАНА

(Представлено академиком АН Азербайджанской ССР Дж. А. Алиевым)

В целях обеспечения растущей потребности населения в продуктах животноводства в Продовольственной программе СССР, которая была принята на майском (1982 г.) Пленуме ЦК КПСС, предусматривается до 1990 г. увеличение продуктов животноводства.

В последние годы ЦК КП Азербайджана уделяет большое внимание этому вопросу. На мартовском (1982 г.) пленуме были отмечены успехи и недостатки в развитии животноводства и намечены пути дальнейшего его развития. Для решения этого столь важного вопроса необходимо создание прочной кормовой базы.

Азербайджанская ССР — одна из основных животноводческих республик страны. Здесь в основном нашли развитие такие отрасли как овцеводство и крупный рогатый скот, которые содержатся главным образом на подножном корме естественных травостоях лугов и пастбищ. Пересеченный рельеф республики создал условия для развития отгонного животноводства.

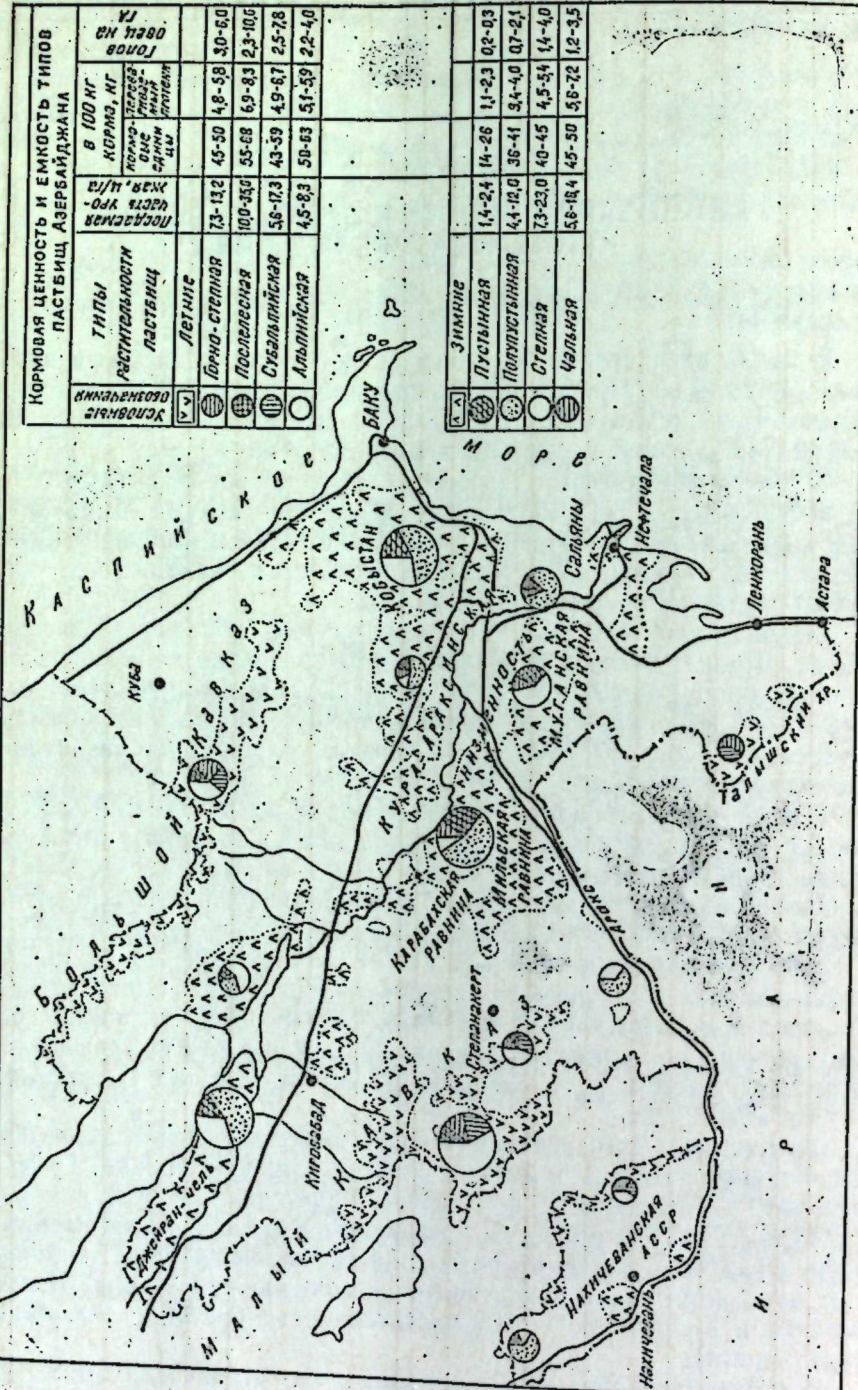
Общая площадь пастбищ и сенокосов по республике составляет около 2 млн. га, из которых 1,5 млн га (75%) являются зимними, а 0,5 млн га (25%) — летними.

Следует отметить, что из-за нерационального использования пастбищ их продуктивность, особенно зимних, сильно снизилась.

Для проведения различных видов мероприятий по рациональному использованию и увеличению продуктивности пастбищ республики необходимо в данный период выяснить, какова продуктивность, количество кормовых единиц и перевариваемого протеина на 1 га травостоя, а также емкость пастбищ, т. е. количество голов овец на 1 га по каждому типу растительности.

Собранные нами двадцатипятилетние данные геоботанического обследования зимних и летних пастбищ Азербайджана, результаты массовых зоотехнических анализов доминирующих кормовых растений и надземной массы травостоя ассоциаций различных формаций типов растительности, а также паспортизация кормовых угодий Азербайджана дают основания впервые составить настоящую карту-схему о кормовой ценности и емкости по типам растительности пастбищ Азербайджана (карта-схема).

В результате обработки собранных геоботанических материалов и картирования растительности кормовых угодий различных регионов Азербайджана в карте-схеме для каждого массива пастбищ указаны соотношения площадей определенных типов растительности друг к другу.



Карта-схема.

Доминантами и содоминантами травостоев на зимних пастбищах Азербайджана являются в ассоциациях типа растительности пустыни — представители семейства маревых: виды солянок, сведы, лебеды, сарсан, поташник, соляноколосник, петросимония и др. В полупустынной растительности в основном полынь душистая образует ассоциации со злаковыми эфемерами, а также с видами солянок. В предгорной зоне, где встречаются ассоциации степного типа растительности, в большинстве случаев доминируют такие многолетние злаки, как ковыли, бородач, типчак, пырей, костры, житняки и др., к которым часто примешиваются полынь душистая и разнотравные растения. В ассоциациях чального типа растительности доминируют луговые и лугово-болотные растения — свинорой, тростник, прибрежница, бескильница, осоки, верблюдка, солодка, кермек, касатики и др.

На летних пастбищах доминантами и содоминантами фитоценозов горно-степной растительности являются ежа сборная, полевица, эспарцеты и др. Часто к ним примешиваются ковыли, типчак и различные растения из разнотравных. Послелесная растительность представляется лугово-степной, в ассоциациях которых доминируют злаки — тимофеевка, трясунка, овсяница, ежа сборная, мятыник, вейник, коротконожка и др., к которым примешивается типчак. В этих послелесных лугах встречаются микрогруппировки клевера, вики, чины и др. В фитоценозах субальпийской растительности доминанты и субдоминанты образуют разнотравные и злаки, такие как борщевики, лабазник, короставник, райграс, ежа сборная, вейник, овсяница, костер, ячмень, белоус и др. В альпийской растительности ассоциации образуют злаки и разнотравные растения — овсяницы, кобрезия, коелерия, костер, белоус, чебрецы, манжетки, тмин и др.

На карте-схеме дается часть травостоев по типам растительности, поедаемой скотом в результате обработки многочисленных фактических материалов из разных ботанических составов травостоев в различные периоды года. Кормовые единицы определены на основании наших массовых химических анализов поедаемой части травостоев растительных ассоциаций или по их доминирующему видам растений. Подсчет числа голов овец на 1 га произведен на основании кормовых единиц и продуктивности травостоев.

По сравнению с летними пастбищами, емкость (количество голов овец на 1 га) зимних пастбищ очень низка. Результаты наших опытов, а также опыты ученых и аспирантов Института ботаники и других учреждений республики показывают, что с проведением различных мероприятий по поверхностному и коренному улучшению, а также рациональному использованию продуктивность, т. е. емкость зимних пастбищ можно повысить в 2—3 раза.

Для повышения продуктивности пастбищ на их территориях необходимо проводить профилактические мероприятия, т. е. разравнивать кочки, заполнять ямы землей, запретить проезд автомашин через пастбища, очистить от поверхностных камней, уничтожить колючие кустарники, если при этом не произойдет эрозия почв, очистить пастбища от грубостебельных сорных, вредных и ядовитых растений, строго соблюдать периоды пастьбы по типам пастбищ.

Основными мероприятиями для повышения продуктивности зимних пастбищ является применение загонной системы пастьбы. При этом, на большей части пастбищ необходимо проводить порционный выпас

скота, оставляя часть пастбищ на отдых, а в остальной части провести различные мероприятия по улучшению почв. Для этого через каждые 5—6 лет на разреженные участки травостоев необходимо подсевать семена диких однолетних ценных кормовых растений, которые встречаются в травостоях этого же типа растительности, но из-за перегруженности пастбища они сохранились редкими экземплярами среди колючих кустарников, в каменистых и в недоступных для скота местах. На оголенных от растительности почвенных участках нужно произвести посев семян тех же дикорастущих ценных кормовых растений. На участках с засолением верхнего слоя почвы провести мелиоративные работы, а через 1—2 года между сетью дренажных каналов засевать семена засухоустойчивых и солевыносливых кормовых растений и желательно выращивать их с умеренным поливом. Через каждые 3—5 лет на пастбищные участки внести минеральные удобрения и навоз из расчета потребности почвы в удобрениях. В массивах, обеспеченных водой с умеренным поливом, создать участки пастбищ из дикорастущих ценных кормовых растений. Для преобразования фитоклимата в более умеренный на пастбищных массивах необходимо создать полосы из солевыносливых засухоустойчивых и непоедаемых скотом древесных и кустарниковых пород.

Институт ботаники

Э. И. Маýлов, В. В. Ыэтэмов

Поступило 14 VII 1982

АЗЭРБАЙЧАНЫН ОТЛАГ ТИПЛЭРИНИН ЖЕМ ДЭЈЭРЛИЛИЙН ВЭ ТУТУМУ

Азәрбајҹан отлагларынын мәһсүлдәрләрләри артырмаға көрүләчәк эмәли тәдбиrlор үчүн һазырда отлагларын јем мәһсүлдәрләрләри, дәјәрлilikини вә тутумуну билмәк лазыымдыр. Мәгәләдә илк дәфә олараг Азәрбајҹан отлагларынын биткилик типләри узрә һал-һазырда иллик орта мәһсүлдәрләрләри, јем вайиди, мәнимисәниләр про-тейнин мигдары вә нектара дүшән гојунларын сајы ведилмишилди.

A. I. Mavilov, V. V. Hatamov

THE VALUE OF FODDER GRASS AND THE CAPACITY OF TYPES OF PASTURES OF AZERBAIJAN

The schematic map on vegetation types for pastures of Azerbaijan, where here is data on above-ground parts of grass masses eaten by a cattle, their fodder units, the quantity of digested protein and the capacity of feeding, is given. The schematic map also presents dominants and condonminants, of florocenosis on types of vegetation and concrete measures on increasing the productivity of winter pastures.

**Акад. М. А. АЛИ-ЗАДЕ, д. С. ГАЛУСТЯН,
А. Д. МАМЕДОВА**

ПОКАЗАТЕЛИ ГЕТЕРОЗИСНОГО ЭФФЕКТА У ГИБРИДОВ ПЕРВОГО ПОКОЛЕНИЯ ТОМАТОВ И СОДЕРЖАНИЕ ДНК В СОМАТИЧЕСКОЙ КЛЕТКЕ

В Азербайджанском научно-исследовательском институте овощеводства ведутся работы по созданию гетерозисных гибридов томатов. Изучаются особенности проявления гетерозиса по скороспелости, темпам накопления урожая, размеру плода, количеству плодов на одном растении, общей продуктивности растений и др. В 1980 году в дополнение к упомянутым признакам у некоторых гибридов и их родителей изучалось содержание нуклеиновых кислот. Работа выполнялась Институтом генетики и селекции. С этой целью гибридные растения и их родители (таблица) выращивались в полевых условиях на опытном участке Азерб. НИИ овощеводства (на Апшероне). Уход за растениями (полив, удобрение и др.) проводился согласно существующим агротехническим нормам. Осуществлялось систематическое наблюдение за растениями: отмечались фазы развития растения, учет урожая и др. В начале плодоношения брались пробы листьев для определения нуклеиновых кислот и подсчета клеток. Всего испытывалось 8 комбинаций гибридизации. В большинстве случаев в качестве материнской формы брался сорт Стерильная 1, только в трех случаях — стерильный сорт 124 раск.

Из приведенных в таблице данных видно, что в 6 комбинациях у гибридов первого поколения томатов по продуктивности растения наблюдается гетерозисный эффект. Только в двух случаях, когда в качестве отцовской формы брался сорт Тамилла, гибриды или не отличались от своего родителя (комбинация Стерильная 1 x Тамилла), или уступали ему (комбинация 124 рак x Тамилла). Остальные гибриды в той или другой степени по общей продуктивности растения превосходили своего родителя. Наиболее резкое увеличение урожая наблюдалось у гибрида Стерильная 1 x Лунгушор. По продуктивности гибрид в 2,4 раза превышает сорт Лунгушор. По данным, характеризующим содержание ДНК в клетке, также наблюдается значительное отличие между гибридом и сортом Лунгушор. В соматической клетке этого гибрида содержится на 1,43 пг ДНК больше, чем у сорта Лунгушор. При комбинации Стерильная x Тамилла гетерозисный эффект отсутствует. Продуктивность одного гибридного растения составляла 2,15 кг, а его отцовской формы — 2,10 кг. Как показали результаты определения нуклеиновых кислот, этот гибрид и по содержанию ДНК в соматической клетке незначительно превосходит сорт Тамилла. В клетке сорта Тамилла содержится 2,64, а гибрида — 2,76 пг ДНК. Гибрид, полученный при скрещивании сортов 124 рак и

Продуктивность гибридов (F_1) томатов и их родительских форм и содержание нуклеиновых кислот в листьях

Гибриды (F_1) и их родители	Продуктивность 1-го растения, кг	РНК	ДНК	РНК	ДНК
		мг % на сухое вещество		в одной клетке, г· 10^{-12}	
Стерильная 1 West Virginia 63	— 2,16	1008,3 925,1	39,70 35,76	76,23 42,18	3,00 1,63
Стерильная 1×West Virginia 63	2,60	988,0	45,34	66,16	2,80
124 раск Тамилла	— 2,10	939,0 890,2	46,66 26,89	58,03 87,32	2,88 2,64
124 раск×Тамилла	1,76	1435,2	51,07	54,11	1,92
124 раск Волгоградский 5/95	— 1,38	939,0 1163,9	46,66 56,44	58,03 89,56	2,88 4,33
124 раск×Волгоградский 5/95	1,58	987,3	62,52	77,70	4,92
Стерильная 1 Лунгушор	— 0,80	1008,3 916,5	39,70 26,81	76,23 78,54	3,00 2,30
Стерильная 1×Лунгушор	1,92	1261,3	49,18	95,73	3,73
Стерильная 1 Ottawa 33	— 1,50	1008,3 973,4	39,70 24,78	76,23 74,60	3,00 1,90
Стерильная 1×Ottawa 33	2,31	1102,4	57,28	85,90	4,46
Стерильная 1 Mechcast 22	— 1,20	1008,3 1174,7	39,70 43,27	76,23 84,70	3,00 3,11
Стерильная 1×Mechcast 22	1,71	1096,4	39,75	94,29	3,42
Стерильная 1 Тамилла	— 2,10	1008,3 890,2	39,70 26,88	76,23 87,30	3,00 2,64
Стерильная 1×Тамилла	2,15	1065,6	48,58	60,63	2,76
124 раск Белый налив	— 1,19	939,0 891,1	46,66 31,59	58,03 51,05	2,88 1,81
124 раск×Белый налив	1,80	1051,8	42,27	67,74	2,72

Тамилла, уступает отцовской форме (сорту Тамилла) как по продуктивности одного растения, так и по количественному содержанию ДНК в клетке.

Следует обратить внимание на то, что хотя во многих случаях мы наблюдаем увеличение относительного содержания ДНК (мг/% на сухое вещество), но эти данные не могут быть использованы при прогнозировании ожидаемого гетерозисного эффекта у гибридов первого поколения. Так, продуктивность гибрида, полученного при скрещивании сорта Стерильная 1x Mechcast 22, больше, чем у сорта Mechcast 22, в то время как по относительному содержанию ДНК сорт Mechcast 22 превосходит гибрид. В другом случае (124 раск x Тамилла), когда гибрид уступал своему родителю по продуктивности и относительному содержанию ДНК, данный гибрид превосходил сорт Тамилла.

Как видно из таблицы, по содержанию РНК в растении мы не можем судить о наличии гетерозисного эффекта у гибрида. Так, в комбинации гибридизации 124 раск x Волгоградский 5/95 продуктивность гибридного растения составляет 1,58 кг, а у отцовской формы — 1,38. Но по содержанию РНК (как по относительному, так и абсолютному) гибридное растение уступает сорту Волгоградский 5/95.

Таким образом, результаты данных исследований подтвердили непосредственную связь между проявлением гетерозисного эффекта и увеличением количества ДНК в соматической клетке [1, 2, 3]. У гетерозисных гибридов томатов первого поколения в соматической клетке содержится больше ДНК, чем у их родительских форм. Содержание РНК (относительное и абсолютное), а также относительное содержание ДНК не характеризуют наличие гетерозисного эффекта у изученных гибридов.

Литература

1. Али-заде М. А., Алиев Р. Т. «Изв. АН Азерб. ССР, серия биол. наук», № 4, с. 38—40, 1973.
2. Али-заде М. А., Алиев Р. Т. ДАН «Азерб. ССР», т. XXXI, № 2, с. 94—96, 1975.
3. Али-заде М. А., Алиев Р. Т. «Изв. АН Азерб. ССР, серия биол. наук», № 1, с. 33—39, 1977.

Институт генетики и селекции

Поступило 11. VI. 1981

М. А. Элизадэ, Д. С. Галустян, А. Д. Мамедова

ПОМИДОР ҺИБРИДЛЭРИНИН БИРИНЧИ НЭСЛИНДЭ ҮТЕРОЗИС ЕФФЕКТЛИЈИ ВЭ СОМАТИК ҮЧЕРЭЛЭРДЭ ДНТ-НИН МИГДАРЫ

Мэгалэдэ өврэнүүлэн помидор һибридлэриний үчьеэрэлэрдэ олан ДНТ-ний мигдары илэ үтерозис еффектлији арасында әлагэ олдуу мүэйжэн едилмийшдир.

M. A. Ali-Zade, D. S. Galustyan, A. D. Mamedova

INDICES OF HETEROZIS EFFECT IN HYBRIDS OF TOMATOES FIRST GENERATION AND DNA CONTENT IN SOMATIC CELL.

The connection between display of heterotic effect and increase of DNA content in somatic cell of studied tomatoes hybrids is shown.

УДК — 894, 362

Nº 2

. 1984

ЭДЭБИЙЈАТШУНАСЛЫГ

УДК — 894, 362

ИСА ЙӘБИБОВ

ЧЭЛИЛ МЭММЭДГҮЛУЗАДЭНИН ДАЊА БИР МУАСИРИ

(Азәрбајҹан ССР ЕА академики М. З. Чәфәров тәгдим етмисидир)

Көркөмли әдіб Чәлил Мәммәдгулузадә илә бирликдә Загағазија (Гори) мүэллимләр семинаријасында тәһисид алмыш, дөврүнү танынмыш зијалыларындан олмуш Мирзә Әбүлгасым Султановун һәјаты, педагогожи вә әдәби-мәдәни фәалийјәти индијәдәк лазымынча арашдырылмамышдыр. Мұхтәлиф тәдгигат әсәрләриндә јалызы онуң тәһисил иләринде кәнч Чәлиллә бирликдә чектирдији надир шәкил әкс етдирилмәкә кифајэтләсилмишdir.¹ Ч. Мәммәдгулузадәнин семинарија ѡлдашы вә әмәл досту һағында верилән мә'лumat әсасән ашағыдақылардан ибарәт олмуштур. «О, (Әбүлгасым Султанов—И. һ.) 20 ил әрзинде өзүңү тамамилә педагогожи фәалийјәтө һәср етмиш, 1907-чи чилин сонунадәк кечмиш Нахчыван гәзасынын Шаһтахты вә Баш Норашен кәндләриндә мүэллимлік етмишdir.»²

Апартылан ахтарышлар исә М. Э. Султановуң мәктәбдарлыг, театр, әдәбијатла бағыттың ишләр көрдүүнү, елми вә бәдии-публицист јарадычылыгы мәшгүл олдуғуну ашкара чыхарыр.

Мирзэ Әбулгасым Һачы Әләкбәр оғлу Султанов 1866-чы илдэ Нахчыван шәһәриндә кичик сәнәткар айләсиндә дүнjaаја қәлмишdir. О, 1882-чи илдэ Ч. Мәммәдгулузадә илә бирликдә Загафгазија (Гори) мүәллимләр семинаријасының ашағы һазырлыг синфинә дахил олмуш-дур.³ Ә. Султанов Чәлил Мәммәдгулузадәдән бир ил соңra, 1888-чи илдэ ЗМС-ни битирмиш, Ереван—Jелизаветпол губернијасы халг мәктәбләри директорлуғунун 4 август 1888-чи ил тарихли 1205 нөмрәли әмри илә Шаһтахты мәктәбинә икинчи мүәллим тә'јин олунмушдур. Сәнәдләрдән өjrәнирик ки, Әбулгасым Султанов 8 ил бу мәктәbdә чалышыб, икинчи мүәллимликдән мәктәб нәзарәтчилијинә гәдәр јүксәлмиш, ёрли зијалы-лар, о чүмләдән Ч. Мәммәдгулузадә илә әлагәни кәсмәмишdir. Шубhә-сиз, Мирзэ Чәлилин Баш Норашендә мүәллим ишләjәркәn Шаһтахты мәктәбинә дәјишилмәк барәдә рәсми телеграмла⁴ халг мәктәбләри ди-ректорлуғuna мурачиэтинин бир сәбәbi Шаһтахтының әдебин дөгулуб боja-баша чатдығы Нахчыван шәһәринә jaхынылығы идисә, икинчи мүhум сәбәb дә 1888-чи илдәn тәләбәлик илләриндә бирликдә охудуғу вә hәтta шәкил чәкдириди Әбүлгасым Султановун Гори мүәллимләр семина-ријасыны битирәрәк бура тә'јинат алмасы иди.

Кәңч Җәлилиң Шаһтахтыя дәјишилмәк тәшәббүсү баш тутмаса да, кечмиш достларын әлагәләри даңа да кенишләнишишdir. Эдигин өзүндән башга, гардаши Әләкәр Мәммәдгулузадә дә онуна мәктублашышдыр. Э. Мәммәдгулузадәнин 1894-чу илдә Шаһтахтыя көндәрдији белә мәктублардан бириндә о вахтлар Неһрәм мәктабинда чалышан Ч. Мәм-

мәдгүлүзадәнин Мәммәдаға Шаһтахты иле Нахчывандакы илк көрүшү «бөйүк бир һадисә»⁵ адландырылыштыр.

Э. Султанов халг мәктәбләри директорлыгынун 5 сентябр 1896-чы ил тарихи 2109 нөмрәли әмри илә Баш Норашен икисинифли мәктәбина нәзарәтчи тә'јин олунмуш, 15 октjabр 1908-чи ил тарихдәк тутдугу вазифәдә чалышмыш, нәһајәт, сәхнәтиң Көрә тәгаудә чыхыштыр.

Нүмүнәви халг мүэллиминә даир сәнәдләрдән айдын олур ки, М. Э. Султанов Баш Норашенде чалышаркән һәр ил мәктәби мөвсүмләрлә әлагәдар олараг назырламыш, екскурсијалар тәшкил етмиш, шакирдләри илә бирликдә шәкил чәкдирмишdir. Элдә едилен бир сијаһы⁶ XIX әсрин 80—90-чы илләриндә вахтилә Ч. Мәммәдгулузадәnin дә мүэллимлик етди Баш Норашен мәктәбиндә тәһисилн нүмүнәви шәкилдә гурулдуғуну мүәjjән едир. Миңзә Әбүлгасым Султанов тәрәфиндән јазылмыш һәмини сијаһыда 1885—1903-чү илләрдә Баш Норашен мәктәбини битирән 63 нәфәр нағында гыса мә'лumat верилмишdir. Буранан һәмин мәктәбин мә'зүлларындан Җәлил вә Ыңсеңигулу Сәфиевләри, Васак Терпогосовун Москва университетинә гәбул олуудуглары, Рәhim Казымбәјовун (1883—1958) Гори мүэллимләр семинаријасында охудуғу ашкар олур. Сијаһыдан өјрәнирик ки, мәктәби битирәнләрдән 6 нәфәри Ирәван мүэллимләр семинаријасында, 12 нәфәри Ирәван кимназијасында тәһисил алмышдыр. Андреј Волошин исә 1903-чү илдә Баш Норашендә тәһисилни баша чатдырыгдан соңра Александропол шәһәр мәктәбинә дахил олмушdur.

М. Э. Султанов јорулмаз маариф, елм вә мәдәнијјэт фәдаиләрин-дән олмушдур. Онун мәктубларындан⁷ мә’лум олур ки, Әбулгасым мү-эллим көркәмли педагог, маарифчи шаир вә ичтимай хадим Мәһәммәд Тағы Сидги вә онун оғлу мүэллим, публисист Мәммәдәли Сидги, Гори мүэллимләр семинаријасыны битирдикдән (1882) соңра мәктәбдарлыг вә актյорлугла мәшгүл олмуш Мирзә Әләкбәр Сүлејманов, рус дили мүэллими, атеист көрүшләри илә диггәти чәлб едән, Искәндәр образынын прототипләrinдән бири, тә’сирли лирик шे’рләр мүәллифи Мирзә Җәлил Шүрби, Сәттархан һәрәкатында јахындан иштирак етmiş Әләкбәр Мәммәдгулузадә вә башгалары илә даим әлагә сахламыш, бир сыра мәдәни-маариф тәдбирләринин һәјата кечирилмәснәдә фәаллыг көстәрмишdir.

Мәктубларында һәмчинин ингилабдан әvvәл тәһисиلىн пуллу олма-
сындан дөған чәтииликләрә баҳмајараг о, бәյүк етирасла «валидејилә-
ри һәр бир мәшәggәтә гатлашыб, назәниң балалары елм саһиби» етмәjә
чагырмышдыр. Чүнки бир мәктубда дејилдији кими, «елмсиз адам неj-
ван мәнзиләсіндәдір». Буна көрә дә халг мүәллими өлмән хәбәрсиз-
лиji «күлмәт вә наданлыг зәнчириниң алтында јашамаг» адландырымьыш-
дыр. О, бу зұлмәтиң пардахланмасының, вәтәниң тәрәгги етмәсінин ән
мүһум сәбәбләриндән бирини елм вә маарифә җијәләнмәкдә көрмүш,
бүтүн маарифчиләр кими мүбәризә ѡолларының аjdын көстәрә билмәсә
дә, тәһисил алмағы, маарифә җијәләнмәjи тә'хирәсалынмаз вазифә несағ
етмишdir. Мәктублардан бириндә дејилир: «Инсанын чөвһәри, гәдр вә
гијмәти елм тәһисил етмәсидir. Һәрқанда мүсәлман милләти саир милләт-
ләр кими елми вачиб билиб охусајды, бу күn чүрбәчүр бәлалар башына
кәлиб, вадеji-зұлмәтдә доланмазды, аб-хак вә мүгәдәс Вәтән әлдән
кетмәzди. Нә дејим, нә јазым, гоj галсын. Аңчаг сузнак аh чәкмәкдән
башга өзкә бир әлач әлдән кәлмир. Ләнәт кәлсии о аталара ки, елм,

фэни вэ сэнэтдэй кэнара дүшүб, бэ'зи бимэ'на сөзлэрэ инаныб, эз өвлад-
ларынын нэггүйнда зүлм седиблэр. Яан, гэлбим, яан. Шэ'лэ чэк...»⁸*

Бу ваҳтадек тәдгигата чөлб едилмәмиш намә'лум бир дәфтәр⁹ Эбулгасым Султановун јүксәк елми-иәзәри сәвијјәси, мутәрәгги әдәби көрүшләри һагда кениш мә'лумат верир. 11 сәнифәдән ибарәт олан «Әдәбијатшүнаслыг дәфтәри»ндә поэзија дүзкүн олараг лирик, епик вә драматик олмагла үч јерә айрылыш вә онлардан һәр бириниң хүсусијјәтләри мүәյҗәнләшдирилмиш, жанрлары иәзәри чәһәтдән тәһлил олунмушдур. Э. Султановун јығчам мұләнизәләри вә аjdын елми гәнаэтләри нәнинки өз дөврүнүн, һәтта чох һалларда мұасир иәзәри фикрин тәләбләринә дә уйғын кәлир. Онун көрүшләриндә мәшhур рус тәнгидчи-си В. Г. Белинскиин тә'сири ашқар һисс олунур. Мүәллиф лирик поэзијаның предметини мүәjjәнләшdirәркән Белински илә ejni мөвгедән чыхыш едәрек языр: «Лирик поэзијаның предмети шаирин өзүнүн дахили аләминдән, онун фикир, дүшүнчә вә арзуларындан ибарәтдир. Она көрә дә лирик поэзија субъективдир. О, һәр шејдән әvvәл, бизи шаирин шәхсијәти илә таныш едир».¹⁰ «Әдәбијатшүнаслыг дәфтәри»ндә лирикаја пүмунә үчүн М. J. Лермонтовун «Дуа ет» ше'ри мисал кәтирилир, бурада шаирин тәбии қәдәр вә дүшүнчәләринин тәрәннүм олундуғу сөjlәнилмишдир.

«Эдэбијатшүнаслыг дэфтэр»ндээ епик поэзијанын хүсусијјэтлэри дэдэгиг тэжин олунмушдур. «Епик поэзија објективдир. Онда шаарин шэхсијэти экс олунмур. Епик поэзијада нэјат тип адландырылан образларла экс етдирилир»,¹¹ — дејэн мүэллиф эдэбијатын бу нөвүүнүн төхлилииндэ Н. В. Гоголун, А. С. Пушкинин, И. А. Крыловун јарадычылыгына бачарыгла истинад етмиш, нэтта А. С. Пушкинин «Полтава» эсэринийн жанр хүсусијјэтлэрийн, идеја-бэдии кејфијјэтлэрийн, сурэтлэр алэмчинин мүкэммэл елми төхлилини вермишдир.

М. Э. Султанов Азэрбајҹан әдәбијатыны да өјрәнмәк, тәрчүмә вә тәблиг етмәје бөյүк мәраг көстәрмишdir. О, мәшүүр Молла Нәсрәддин ләтифәләрини рус дилинә тәрчүмә етмиш вә мәктәбләрдә истифадә олуни-маг мәгсәдилә нәшр етдиրмәк учун Гафгaz Тәһисил даирәсинә қөндәр-мишdir. 6 март 1891-чи ил тарихдә Гафгaz Тәһисил даирәсинин 1444 нөмрәли әмри илә она бу вакиб ишина көре тәжисини-

* 25 феврал. «Нури-чешмим...» сөзләри илә башлајан мәктубун эсли Д. Султановада дыры. Мәктубуң язылдығы ил көстөрүлмәмишdir. Мәзмұнундан тәхминен 1910-чу иләндеги етмәк олар.

лисист жазылар да вардыр ки, гызы Диљбәр ханым Султанова онларын атасы тәрәфиндән жазылдығыны сөјләжи्र. Бу бәдни-публисист нүмүнәләр һәиггәтән Әбүлгасым мүәллимин мәктубларындакы маарифчи фикирләри вә үмүмән онун мүтәрәгги көрушләри илә сәсләшиր. 12 феврал 1912-чи илдә жазылмыш «Иранда гајда-ганун јохдур» адлы тәхминән 3 (үч) мүәллиф вәрәги һәчминдә олан публисист-фәлсәфи эсәрдә шаһлыг гурулушу, монархија режими кәсекин тәнгид олуимуш, Иранын бутүн Шәрг өлкәләри, гоншу дөвләтләрлә мугајисәдә тәһилили верилмиш, кәләчек инициафы үчүн мүәjjән истигамәтләр төвсијә олуимушдур. Бунлар исә М. Э. Султановун фарс дилинә мүкәммәл јијәләндүйини, Шәрг өлкәләриниң тарихинә, мәдәнијәтина, һәмчинин дә Авропа социал-фәлсәфи фикринин наилијјәтләrinә дәрингендән бәләд олдуыну нумајыш етдирир.

Мирзэ Әбүлгасым Султанов Нахчываның мәдәни һәјатында да жа-
хындан иштирак етмишdir. Бу нүмүнәvi халг зијалысы Нахчыванда
ојнанылан тамашаларда фәал иштиракы илә сечилмишdir. Рзагулу
Нәчәфов «Чәлил Мәммәдгулузадә вә Азәрбајҹан сәһиәси» мәгаләсindә¹²
Нахчыванда Мирзэ Чәлил вә Сидгинин әнатәсindә чәмләнән һөвәскар
актјор дәстәсindә М. Э. Султановун да адыны чәкмиш, оңун М. Ф. Ахун-
довун драм әсәрләrinин тамашаја гојулмасында фәаллыг көстәрдијин-
дән бәйс етмиш, һәтта Әбүлгасым мүэллним «Мүсҗо Жордан» комеди-
јасында Күлчөhrә ролуну апардығыны да дәгиг хатырламышдыр.

Бундан башта Эли Хәлилов да «Нахчыван театрның тарихы» китабында бу шәһәрдә илк «театр ојунлары чыхармыш» 22 нәфәр һәвәс-кағ зиялышының ичәрисинде онун адыны да гејд етмишdir.¹³

1911—1913-чү иллэрдэ Э. Султанов көркәмли бәстәкар Зүлфүгар Йаңыбайевун дирижорлуғу илә Нахчыванда тамаша жағоулан «Элли јашында чаван» эсәриндә Ашбаз Гулу ролунда ојнамышдыр. Эдәби иу-мунәләр мүнтәхабатында һәмни операның бүтөв мәтни илә бирликтә «Лејли вә Мәчиүн» операсындан да бә'зи парчалар јазыя алынышдыр. Диңгез бәйеке ханым Султанова Эбүлгасым мүәллимин һәмни опера «Мәчиүн» атасы ролунда ојнадығыны инди дә хатырлајыр.

Көрүндуу кими, 20 ил мүэллимлик етмиш Э. Султановун елм вә маариф, әдәбијат вә театр сәнәсиндәки хидмәтләри мүһум әһәмийјетә маликдир. 1916-чы илдә вәфат етмиш Эбүлгасым мүэллимин һәјаты вә педагоги фәалийјетинин, елми-бәдии вә публицист јарадычылығының һәртәрәфли шәкилдә өјрәнилмәси Чөллил Мәммәдгулузадәниң ады илә бағлы олан мәдәни һәрәкатын мараглы, намә'лум гатларының ашкара чыхарылмасына имкан јарада биләр.

Эдэбијат

1. Бах: Мәммәдов Г. Молла Нәсрәддин (салынам). Бакы, 1966, сөн. 17.
Шариф А. Рождение Моллы Насреддина. Баку, 1968, стр. 73. 2. Шариф А. История
одного снимка. Газ. «Молодежь Азербайджана», 9 февраль 1966, №16, 8285. 3. Список
учеников ЗУС на 1882—1883 уч. год ИГИА Груз. ССР, ф. 422, сд. хр. 1606. 4. Баш
Норашен икисинифли мәктәбинин мүэллими Ч. Маммәдгулузаддин Шаһтахты мәктәбинә
дојишилмәк нәггында телеграмма. Нахчыван МССР Дөвләт архиви, ф. 314, сак. ван. 80,
5. Новрузов. Ш. Эддин илк мүшәрриклик мәктәби. Бах: Чөләл Мәммәдгулузад (мә-
галәләр вә хатираләләр) Бакы, 1967, сөн. 250. 6. Султанов Э. 1885—1903-чу илләрдә
Баш Норашен икисинифли мәктәбина дахил олан вә битирىләрин сијајнысы. Сијајныны
если Э. Султановун назырда Нахчыван шәһәринде јашајан гызы Диљбер Султановада-
дыры. 7. Э. Султановун мәктублары (1908—1916-чы илләр). Если Д. Султановада, сурә-
ти биздәdir. 8. Э. Султановун 25 февраль 1910-чу ил тариххи мәктубу. 9. Султанов
А. Тетрадь по словесности. Нахчыван МССР Дөвләт Тарих Музейи, КП-2320. 10. Йенә

орада, с. 4; 11. Женэ орада, с. 6—7. 12. Мәммәдгулузадә Ч. (мәгаләләр вә хатираләр), Бакы, 1967, с. 84. 13. Хәлилов Э. Нахчыван театрынын тарихи. Бакы, 1964, с. 14.

Акад. І. Мәммәдәлиев адына
Нахчыван ДПИ

Иса Габибов

ЕЩЕ ОДНОМ СОВРЕМЕННИКЕ ДЖАЛИЛА МАМЕДГУЛИЗАДЕ

Впервые в азербайджанском литературоведении в статье освещается научно-теоретическая и художественно-публицистическая деятельность одного из современников Джалила Мамедкулизаде — Мирзы Абульгасума Султанова (1866—1916), учившегося в Закавказской (Горийской) учительской семинарии вместе с будущим великим писателем в 1882—1888 гг.

Автор дал подробную информацию о «Хрестоматии» М. А. Султанова, неизвестной до сих пор широким читательским массам и исследователям, «Литературоведческих тетрадях», а также литературно-культурной и педагогической деятельности современника Мирзы Джалиля.

Isa Habibov

ABOUT JALIL MAMEDGULUZADE'S CONTEMPORARY

In this article for the first time the life and creative activity of one of schoolmasters of Jalil Mamedguluzade in Gori teacher seminary Abul Gasim Sultanov are studied.

Алынмышыбыр
15 III-1982-чи ил

АЗЭРБАЙЧАН ССР ЕЛМЛӘР АКАДЕМИЯСЫНЫН МӘРҮЗӘЛӘРИ
ДОКЛАДЫ АКАДЕМИИ НАУК АЗЕРБАЙДЖАНСКОЙ ССР

ТОМ XL ЧИЛД

№ 2

1984

УДК 415

ЯЗЫКОЗНАНИЕ

Г. В. КАГРАМАНОВА, З. С. ЗЕЙНАЛОВА

СЕМАНТИКО-СИНТАКСИЧЕСКАЯ ВАЛЕНТНОСТЬ АЗЕРБАЙДЖАНСКОГО ГЛАГОЛА «КӘТИРМӘК»

(Представлено академиком АН Азербайджанской ССР М. Ш. Ширалиевым)

Слова в нашей речи употребляются не изолированно, а вступают в определенные связи, подчиненные определенным закономерностям данной языковой системы, которые в настоящее время в лингвистике объединяются под общим понятием «валентность». Системный подход к исследованию явлений языка и признание того факта, что валентность находится в точке пересечения грамматики и лексикологии, синтаксиса и семантики, связь ее с рядом актуальных проблем современного языкознания обусловливают интерес к проблеме валентности. В целом понятие валентности в советском языкознании трактуется довольно широко, как потенциальная способность единиц языка сочетаться с другими единицами.

Данная работа посвящена исследованию семантико-синтаксической валентности азербайджанского глагола «кәтирмәк», выражающего действие «перемещение предмета в пространстве при динамическом воздействии на него».

Если семантическая валентность подразумевает потенциальную сочетаемость слова с другими словами, словосочетаниями на основе их обобщенного лексического и функционально-семантического значений, то синтаксическая валентность выступает как потенциальная способность слова вступать в синтаксические связи с другими словами на синтагматической оси.

Основными методами анализа семантико-синтаксической валентности глагола «кәтирмәк» являются дистрибутивный, трансформационный, компонентный и контекстологический анализы.

Методом компонентного анализа в смысловой структуре азербайджанского глагола «кәтирмәк» выявлены 9 ЛСВ, а именно: «принести, привозить что-либо, кому-либо», приводит кого-либо, куда-либо, «сообщать о чем-либо», «вызывать, влечь за собой что-либо», «принести плоды, урожай», «приводить пример», «принести доход», «приводить, доводить кого-либо до какого-либо состояния», «приводить кого-либо, куда-либо, по причине чего-либо. В ходе дистрибутивного анализа для глагола «кәтирмәк» выявлены 3 модели синтаксической валентности: $N_1 - (N_3) - N_2 - V$; $N_1 - N_2 - Adv/N_1 - V$; $N_1 - N_2 - N_4 - V$.

Семантико-синтаксическая валентность выступает как совокупность квантиративной, конфигурационной, реляционной и селекционной валентностей. Квантиративная валентность определяет число актантов в окружении глагола. Конфигурационная — регулирует формальные средства выражения синтаксических отношений актантов. Вы-

явлением синтаксических функций актантов устанавливается реляционная валентность. Селекционная валентность глагола подразумевает способность последнего избирательно сочетаться с другими словами определенного семантического класса. Причем, число и характер актантов закреплены в позиционном плане глагола — носителя валентности.

Модель $N_1 - (N_3) - N_2 - V$ является наиболее частотной моделью синтаксической валентности глагола «кәтиrmәk», в которой реализуются как прямые, так и переносные значения данного глагола. В рамках данной модели глагол «кәтиrmәk» выступает трехвалентным глаголом с обязательным субъектом и объектом действия и факультативным адресатом. Обязательность или факультативность актантов проверяется пробой на элиминацию. Лексическое наполнение окружений данного глагола самое различное в зависимости от того, какой лексико-семантический вариант его реализуется.

Азербайджанский глагол «кәтиrmәk» в данной модели реализует прежде всего свое основное номинативное значение «принести, привезти что-либо кому-либо». Например: Пакизә (бизә) чај кәтиrdi. Позиция N_1 в данной модели заполняется существительным одушевленным со значением «лица/не лица» или его местоименным эквивалентом. Лексическое наполнение позиции N_2 — самое широкое, любое одушевленное существительное вещественного характера, тогда как позиция N_3 заполняется только существительным одушевленным.

В данной модели глагол «кәтиrmәk» реализует свои и номинативно-производные значения. Так, при реализации ЛСВ «сообщать что-л.», позиция N_1 заполняется существительным одушевленным со значением «лица», позиция N_2 — существительным абстрактным с семантикой отвлеченного предмета, такие как хәбәр, мә'лumat. Например: Гоншу арвадлары (Иsmәtә) шад хәбәр кәтиrdilәr.

Позиция N_2 заполняется существительным абстрактным, например, мисал, дәлил, при реализации ЛСВ «приводить что-либо в качестве примера». Например: Гәмид (мәnә) бир мисал да кәтиrdi. При реализации ЛСВ «вызывать, влечь за собой» позиции N_1 и N_2 замещаются существительными абстрактными, обозначающими отвлеченные понятия, характеризующие явления и состояния природы. Например: Јел өзу илә јагму~~r~~ кәтиrdi.

Позиция N_2 в данной модели может заполняться также существительным абстрактным, обозначающим умственное, эмоциональное, психическое состояние. Позиция N_1 при этом заполняется любым абстрактным существительным. Например: Muһariзә (она) јуху кәтиrdi. ЛСВ «принести доход, прибыль», реализуясь в данной модели, требует заполнение позиции N_2 только существительным абстрактным, обозначающим денежные отношения, тогда как заполнение позиции N_1 самое широкое — любое одушевленное/неодушевленное и абстрактное существительное. Например: Бу иш (мәnә) јашы газач кәтиrdi. Позиции N_1 и N_2 замещаются существительными неодушевленными с семантикой «растительный мир» при реализации ЛСВ «принести плоды, урожай». Например: Ағач чохлу бар кәтиrib.

Модель $N_1 - N_2 - Adv/N_4 - V$ представляет собой адвербиальное расширение модели $N_1 - (N_3) - N_2 - V$. В данной модели глагол «кәтиrmәk» является трехвалентным с обязательным субъектом, объектом и обсто-

ятельственным определителем. Причем, семантика глагола-носителя валентности не только предопределяет обязательное наличие элемента позиции Adv. в своем окружении, но и характер его лексического наполнения, а именно, локальный характер.

Наиболее частотным ЛСВ, употребляющимся в этой модели, является значение «приводить, привозить кого-либо, куда-либо». При этом позиция N_1 замещается существительным одушевленным с семантикой лица / не лица, а также существительным неодушевленным, обозначающим «вид транспорта». Позиция N_2 заполняется только существительным одушевленным с семантикой лица / не лица, позиция Adv. существительным неодушевленным с локальным значением, реже наречием места. Например: Брилҗант бачы мәni фермаја кәtiрди. При замещении позиции N_1 существительным абстрактным глагол «кәтиrmәk» также реализует ЛСВ «приводить кого-либо куда-либо». Однако в данном случае значение это десемантизировано, так как объект перемещается в пространстве по причине каких-либо обстоятельств, а не при динамическом воздействии на него. Например: Эмәjә бағлылыг, торпаға мәhәббәт Мәммәдрозаны совхоза кәtiрди. В модели $N_1 - N_2 - N_4 - V$ глагол «кәтиrmәk» также выступает трехвалентным объектным глаголом, открывающим две синтаксические позиции для замещения прямым и косвенным дополнением. В данной модели он реализует ЛСВ «приводить, доводить кого-либо до какого-либо состояния», требуя заполнения позиций N_1 и N_2 существительными одушевленными или абстрактными, позиция N_4 замещается только существительным абстрактным. Например: Мә'насыз шикаjэтләr Ламинәни тәнкә кәtiрди.

В ходе развития языка многие сочетания азербайджанского глагола «кәтиrmәk» с существительными абстрактными превратились в устойчивые фразеологические сочетания, например: јола кәтиrmәk, дәhшәtә кәтиrmәk. Таким образом, наш анализ показал, что азербайджанский глагол «кәтиrmәk» является трехвалентным глаголом во всех своих значениях

$V_3 - N_1 - (N_3) - N_2 - V$

принести, привезти что-либо
куда-либо сообщать что-либо, привозить известия вызывать, влечь за собой что-либо приносить доход, прибыль приносить урожай, плоды.
приводить пример.

$V_3 - N_1 - N_2 - Adv/N_4 - V -$

приводить, привозить кого-либо
куда-либо приводить кого-либо, куда-либо по причине-либо.

$V_3 - N_1 - N_2 - N_4 - V -$

приводить, доводить кого-либо до какого-либо состояния

Институт языкоznания
и.м. Насими

Поступило 28. IX. 1983

Г. В. Гәһрәманова, З. С. Зејналова

АЗӘРБАЙЧАН ДИЛИНДӘКИ «КӘТИРМӘК» ФЕ'ЛИНИН СЕМАНТИК-СИНТАКСИК ВАЛЕНТЛИК ӘЛАМӘТЛӘРИ

Мәгәләдә Азәрбайчам дилиндә «кәтиրмәк» фе'линин семантик-синтаксик валентини ашкар едир. Анализдә бу фе'лин 3 синтаксик валентлик тәркиби аյдынлаштырылышы дыр. «Кәтиրмәк» фе'линин валентлик анализи көстәрир ки, о бүтүн лексик-семантик мәннәларында 3 валентлидир.

G. V. Kagramanova, Z. S. Zeinalova

SEMANTIC-SYNTACTICAL VALENCY OF THE VERB "KÄТИРМӘК" IN THE AZERBAIJANIAN LANGUAGE

In the article the semantic-syntactical valency of the Azerbaijani verb „кәтиրмәк“ is studied. 3 syntactical patterns were revealed: N₁—(N₃)—N₂—V, N₁—N₂—Adv./N₄—V and N₁—N₂—N₄—V.

The analysis showed that the verb „кәтиրмәк“, is trivalent in all its lexicosemantic meanings.

МҮНДӘРИЧАТ

Ријазијјат

К. Ж. Леонов, З. Э. Һүсәјнов. Бир синиф квазихетти һиперболик тәңликләр
учын гарышыг мәсәләнин глобал һәлли 3
М. А. Садыгов. Диференциал дахијолманын минимуму учун бир сыра зәрури вә
кафи шәртләр. 6

Т. А. Шәрифов. Бир синиф гејри-хәтти учунчү тәртиб хүсуси тәрәмәли диференциал тәңликләр учун соңлу областда гојулмуш бирелчүлү сәрһед мәсәләсинин үмүмийләшмиш һәллини тәдгиги 10

Ә. Р. Мәһәммәдов, Һ. М. Нәбиев. Максимумлу диференциал тәңликләр учун орталаштырма принципи 17

Ярымкечиричиләр физикасы

Ч. Э. Һүсәјнов, И. К. Қоримов, Р. Г. Вәлиев, Р. З. Садыгов, М. Э. Альчанов. CdIn₂S₄, бирләшмасинин истилек вә еластик хассосләрни 21

М. И. Элијев, Ә. З. Даиров, И. Г. Оганова. Индиум антимонидинин спитаксиал тәбәғәләринде енина Нерист—Еттингенгаузен эффекти 25

А. В. Горшков, Ф. А. Зантов, Ф. К. Исаев, Г. М. Шалапина, С. Б. Шакин, И. С. Асатурва. Cd_{0.2} Hg_{0.8}Te ярымкечиричисинде аксентор ашгардарынын диффузиясы 29

Нефт буругларынын механикасы

Ф. Һ. Вәлиев. Фаза кечиди кинетикасынын экспериментал тәдгиги 34

Ұзын кимја

Һәбіб Рәһман, Тухи, С. Ф. Гараев, Ш. Ә. Һүсәјнов, М. М. Мевсүмзада ә, 1-п-бромфенил-3-бутил-1-ол вә онун тәрәмәләре 38

Кеокимја

П. С. Гаврилук, Ә. А. Мәғриби, А. М. Ағакишиев. Гызылбулаг мисжатағы физициләктеги халкопиритин селен вә теллурлуғу (Кичик Гафаз) 42

Нефт-кимја

С. Ч. Мәңдијев, Һ. М. Элимәрданов, М. М. Дәмирров. Метилсклопентанынын мис-алуминиум катализатору үзәринде деңидрокенләшмә реаксијасынын тәдгиги 47

Нефт кеолокијасы

Е. Ә. Ағамирзәјева, Т. А. Һүсәјнова, Һ. Х. Рәhimova. Сијәзән—Нарда-рай саһеси нефтләrinин оксидләшмә—бәрпа потенциалы вә индрокен көстәричиси 52

Палеонтологија вә стратиграфија

Х. Элијулла, Ш. Ә. Бабаев, Р. О. Гошгарлы, С. А. Шыхлинский. Парадаш (Нах. МССР) кәсилишин стратиграфик белкүсү 55

Кинетика

Е. Р. Мәңдизадә, Ч. Н. Нагыјева, У. К. Әләкберов. Ауксинин ситокенетик фәаллығы 59

Ботаника

Ф. Э. Эймадзада, Н. Э. Йүссеинова. Мэржемиохуду чинсинин бэ'зи иөвлөрийн диний гаметофитлэрийн морфологи-эмбриологи хүсүсийтлэри	62
Э. И. Майлов, В. В. Іэтэмов. Азэрбајчаны отлаг түплэрийн жем дэжэрлийн вэ туутму	65

Битки физиолохијасы

М. А. Элизадэ, Д. С. Галустян, А. Д. Мамедов. Помидор һибридлэрийн биринчи иёслиндэ нетерозис эффектлийн вэ соматик һүчээрэлэр ДНТ-ний мигдэры	69
--	----

Эдэбијјатшүнаслыг

Иса Һәбібов, Чәліл Мәммәдузәдәниң даһа бир мүасири	72
--	----

Дилчилек

Г. В. Гәһрәманова, З. С. Зејналов. Азэрбајчан дилиндэки «кәтирмәк» феноменин семантик-синтаксик валентлик элемэтлэри	77
--	----

СОДЕРЖАНИЕ

Математика

К. Я. Леонов, З. А. Гусейнов. Разрешимость в целом первой начально-краевой задачи для одного класса квазилинейных гиперболических уравнений

М. А. Садыков. О некоторых необходимых и достаточных условиях минимума для дифференциальных включений

Т. А. Шарифов. Исследование обобщенного решения одномерной краевой задачи в конечной области для одного класса дифференциальных уравнений в частных производных третьего порядка с нелинейной операторной правой частью

А. Р. Магомедов, Г. М. Набиев. Принцип усреднения для дифференциальных уравнений с максимумами

Физика полупроводников

Д. А. Гусейнов, чл.-корр. И. Г. Керимов, Р. К. Велиев, Р. З. Садыков, М. А. Алджанов. Тепловые и упругие свойства CdIn₂S₄

Акад. М. И. Алиев, А. З. Даиров, И. Г. Оганова. Поперечный эффект Нериста-Эттинггаузена в эпитаксиальных пленках антимонида индия

А. В. Горшков, Ф. А. Заитов, Ф. К. Исаев, Г. М. Шаляпина, С. Б. Шапгин, И. С. Асатурова. Диффузия акцепторных примесей Cd_{0,2}Hg_{0,8}Te

Нефтепромысловая механика

Ф. Г. Велиев. Экспериментальное исследование кинетики фазового перехода

Органическая химия

Хабиб Рахман Тухи, С. Ф. Карабев, Ш. О. Гусейнов, чл.-корр. М. М. Мовсумзаде. I-п-бромфенил-3-бутил-I-ол и его производные

Геохимия

П. С. Гаврилюк, А. А. Магриби, А. М. Агакишиев. О селеноподобии теллуроносности халькопирита в медных рудах Кызылбулагского месторождения (Малый Кавказ)

Нефтехимия

Акад. С. Д. Мехтиев, Х. М. Алимарданов, М. М. Дамиров. Окислительное дегидрирование метилцикlopентана в присутствии алюмомедного катализатора

Геология нефти

Э. А. Агамирзоева, Т. А. Гусейнова, Г. Х. Рагимова. Окислительно-восстановительный потенциал и водородный показатель нефти площади Сиазань — Нардаран

Палеонтология и стратиграфия

Х. Алиулла, Ш. А. Бабаев, Р. О. Кошкарлы, С. А. Шихлинский. Расчленение разреза Парадаш (Нах. АССР)

Генетика

Э. Р. Мехти-заде, Д. Н. Нагиева, У. К. Алекперов. Цитогенетическая активность ауксина

3
6
10
17

21
25
29

34
38

42

47

52

55

59

83

Ботаника

Ф. А. Ахмед-заде, Н. А. Гусейнова. Сравнительно-морфолого-эмбриологическое развитие женского гаметофита некоторых представителей рода Тескиум I	62
А. И. Майлар, В. В. Атамов. Кормовая ценность и емкость типов пастбищ Азербайджана	65

Физиология растений

Акад. М. А. Ализаде, Д. С. Галустян, А. Д. Мамедова. Показатели гетерозисного эффекта у гибридов первого поколения томатов и содержание ДНК в соматической клетке	69
---	----

Литературоведение

И. Габибов. Еще об одном современнике Джалила Мамедкулизаде	72
---	----

Языкоизучение

Г. В. Каграманова, З. С. Зейналова. Семантико-синтаксическая валентность азербайджанского глагола «кэтирмэк»	77
--	----

9. Текст статьи печатается на белой бумаге через два интервала на одной стороне листа стандартного размера, с полями с левой стороны (не более 28 строк на одной странице по 58—60 знаков в строке). В тексте нельзя делать рукописные вставки и вклейки.

Статьи, напечатанные на портативной машинке, не принимаются.

10. Текст статьи должен быть изложен кратко, тщательно отредактирован и подписан авторами в печать. В математических статьях желательно избегать доказательств теорем, лемм и т. п. При использовании в тексте сокращенных названий (кроме общепринятых) необходимо давать их расшифровку.

11. Математические и химические формулы и символы в тексте должны быть вписаны четко. Следует избегать громоздких обозначений, применивая, например, дробные показатели степени вместо радикалов, а также *expr*. Занумерованные формулы обязательно выключаются в красную строку, номер формулы ставится у правого края страницы. Желательно нумеровать лишь те формулы, на которые имеются ссылки. Подстрочные и надстрочные индексы и степени следует отмечать карандашом, дугами сверху и снизу:

K^n , Γ_n

Греческие буквы нужно обводить (в кружок) красным карандашом. Буквы готического шрифта и рукописные в рукописях не использовать, векторные величины — подчеркивать черным, буквы латинского рукописного шрифта следует отметить на полях (например, H рукоп.).

Во избежание ошибок следует четко обозначать прописные (заглавные) и строчные буквы латинского алфавита, имеющие сходное начертание (Cc ; Kk ; Pp ; Oo ; Ss ; Uu ; Vv ; и т. д.), буквы $I(i)$ и $J(j)$ букву I и римскую единицу I , а также арабскую цифру I и римскую I' (вертикальная черта), I и штрих в индексах, I (латинское эль) и e . Прописные буквы подчеркивают карандашом двумя черточками снизу (C), а строчные — сверху (c).

Следует избегать знаков типа ~ (волна), \odot , \otimes , \otimes ; $\square \mid \circ$, \diamond , \vee \wedge

(крышки) над и под буквами, а также знаков:

\hbar \times $\underline{\epsilon}$, $\phi\phi$, ϕ , ϵ ,

Латинские названия вписываются на машинке.

Слова «теорема», «лемма», «следствие», «определение», «замечание» и т. п. следует подчеркивать штриховой чертой, а текст утверждений типа теорем — полустойкой чертой (исключая математические символы).

При выборе единиц измерения рекомендуется придерживаться международной системы единиц СИ.

12. При описании методики исследования следует ограничиваться оригинальной ее частью. При элементном анализе приводить только усредненные данные.

13. Необходимо тщательно проверить написание местных географических названий.

14. Цитированная литература проводится общим списком на отдельной странице: ссылки в тексте даются порядковым номером в круглых скобках над строкой (например, 1). Список литературы оформляется следующим образом:

для книг: инициалы и фамилии авторов, полное название книги, место и год издания;

для журнальных статей: инициалы и фамилии авторов, название журнала, номер тома, номер выпуска, страница и год издания.

Ссылки на неопубликованные работы не допускаются.

15. Все статьи должны иметь резюме на английском языке, кроме того статьи написанные на русском и азербайджанском языках должны иметь резюме на азербайджанском и на русском соответственно.

Публикация статьи в «Докладах» не препятствует напечатанию расширенного ее варианта в другом периодическом издании.

Сдано в набор 06. 03. 84. Подписано к печати 22. 03. 84. ФГ 00651. Формат бумаги 70×100^{1/16}. Бумага типографская № 1. Гарнитура шрифта литературная. Печать высокая. Печ. лист 6,82. Уч. изд. лист 5,39. Тираж 605. Заказ 382. Цена 70 коп.

Издательство „Элм“.

370143 Баку-113, проспект Нариманова, 31, Академгородок, Главное здание Типография „Красный Восток“ Государственного комитета Азербайджанской ССР по делам издательств, полиграфии и книжной торговли. Баку, ул. Ази Асланова, 80